

**TUGAS AKHIR - TF181801**

# **PENGEMBANGAN INTEGRASI SISTEM PENGAMBILAN KEPUTUSAN BERBASIS DATA AIS UNTUK PEMODELAN PELANGGARAN *TRANSSHIPMENT* PADA KAPAL MENGGUNAKAN FUZZY TIPE 2**

**NORISA NURFADILA**

NRP 02311840000027

Dosen Pembimbing

**Dr. Ir. Syamsul Arifin, M.T.**

NIP 19630907 198903 1 004

**Dr. Ir. A. A. Masroeri, M.Eng.**

NIP. 19580807 198403 1 004

**Program Studi S1 Teknik Fisika**

Departemen Teknik Fisika

Fakultas Teknologi Industri dan Rekayasa Sistem

Institut Teknologi Sepuluh Nopember

Surabaya

2022





**TUGAS AKHIR - TF 181801**

**PENGEMBANGAN INTEGRASI SISTEM PENGAMBILAN  
KEPUTUSAN BERBASIS DATA AIS UNTUK PEMODELAN  
PELANGGARAN *TRANSSHIPMENT* PADA KAPAL  
MENGGUNAKAN FUZZY TIPE 2**

**NORISA NURFADILA**

**NRP 02311840000027**

Dosen Pembimbing

**Dr. Ir. Syamsul Arifin, M.T.**

NIP 19630907 198903 1 004

**Dr. Ir. A.A. Masroeri, M.Eng.**

NIP 19580807 198403 1 004

**Program Studi S1 Teknik Fisika**

Departemen Teknik Fisika

Fakultas Teknologi Industri Dan Rekayasa Sistem

Institut Teknologi Sepuluh Nopember

Surabaya

2022

*Halaman ini sengaja dikosongkan*



**FINAL PROJECT - TF 181801**

***DEVELOPMENT OF AN INTEGRATED SYSTEM OF AIS  
DATA-BASED DECISIONS FOR SHIP TRANSSHIPMENT  
MODELING USING FUZZY TYPE 2***

**NORISA NURFADILA**

**NRP 02311840000027**

**Advisor**

**Dr. Ir. Syamsul Arifin, M.T.**

**NIP 19630907 198903 1 004**

**Dr. Ir. A.A. Masroeri, M.Eng.**

**NIP 19580807 198403 1 004**

**Study Program Bachelor Degree of Engineering Physics**

Department of Engineering Physics

Faculty of Industrial Technology and System Engineering

Institut Teknologi Sepuluh Nopember

Surabaya

2022

*Halaman ini sengaja dikosongkan*

## **PERNYATAAN BEBAS PLAGIASI**

Saya yang bertanda tangan di bawah ini.

Nama : Norisa Nurfadila  
NRP : 02311840000027  
Departemen / Prodi : Teknik Fisika / S1 Teknik Fisika  
Fakultas : Fakultas Teknologi Industri & Rekayasa Sistem (FT-IRS)  
Perguruan Tinggi : Institut Teknologi Sepuluh Nopember

Dengan ini menyatakan bahwa Tugas Akhir dengan judul **PENGEMBANGAN INTEGRASI SISTEM PENGAMBILAN KEPUTUSAN BERBASIS DATA AIS UNTUK PEMODELAN PELANGGARAN TRANSSHIPMENT PADA KAPAL MENGGUNAKAN FUZZY TIPE 2** adalah benar karya saya sendiri dan bukan plagiat dari karya orang lain. Apabila di kemudian hari terbukti terdapat plagiat pada Tugas Akhir ini, maka saya bersedia menerima sanksi sesuai ketentuan yang berlaku.

Demikian surat pernyataan ini saya buat dengan sebenarnya-benarnya.

Surabaya, 15 Mei 2022

Yang membuat pernyataan,

Norisa Nurfadila

NRP. 02311840000027

*Halaman ini sengaja dikosongkan*

**LEMBAR PENGESAHAN**  
**TUGAS AKHIR**

**PENGEMBANGAN INTEGRASI SISTEM PENGAMBILAN KEPUTUSAN  
BERBASIS DATA AIS UNTUK PEMODELAN PELANGGARAN  
TRANSSHIPMENT PADA KAPAL MENGGUNAKAN FUZZY TIPE 2**

**Oleh:**

**Norisa Nurfadila  
NRP. 02311840000027**

**Surabaya,**

**Menyetujui,  
Pembimbing I**

**Menyetujui,  
Pembimbing II**

**Dr. Ir. Syamsul Arifin, M.T.  
NIP. 19630907 198903 1 004**

**Dr. Ir. A. A. Masroeri, M.Eng.  
NIP. 19580807 198403 1 004**

**Mengetahui,  
Kepala Departemen  
Teknik Fisika FT-IRS, ITS**

**Dr. Suyanto, S.T., M.T.  
NIP. 19711113 199512 1 002**

*Halaman ini sengaja dikosongkan*

## **LEMBAR PENGESAHAN**

**PENGEMBANGAN INTEGRASI SISTEM PENGAMBILAN KEPUTUSAN  
BERBASIS DATA AIS UNTUK PEMODELAN PELANGGARAN  
TRANSSHIPMENT PADA KAPAL MENGGUNAKAN FUZZY TIPE 2  
TUGAS AKHIR**

Diajukan Untuk Memenuhi Salah Satu Syarat

Memperoleh Gelar Sarjana Teknik

pada

Program Studi S-1 Departemen Teknik Fisika

Fakultas Teknologi Industri & Rekayasa Sistem (FT-IRS)

Institut Teknologi Sepuluh Nopember

Oleh:

**NORISA NURFADILA**

**NRP. 02311840000027**

Disetujui oleh Tim Penguji Tugas Akhir:

1. Dr. Ir. Syamsul Arifin, M.T. .... (Pembimbing I)
2. Dr. Ir. A. A. Masroeri, M.Eng. .... (Pembimbing II)
3. Prof. Dr. Ir. Aulia Siti Aisjah, M.T. .... (Ketua Penguji)
4. Dr. Suyanto, S.T., M.T. .... (Penguji I)

**SURABAYA**

**2022**

*Halaman ini sengaja dikosongkan*

**PENGEMBANGAN INTEGRASI SISTEM PENGAMBILAN  
KEPUTUSAN BERBASIS DATA AIS UNTUK PEMODELAN  
PELANGGARAN *TRANSSHIPMENT* PADA KAPAL  
MENGGUNAKAN FUZZY TIPE 2**

**Nama** : Norisa Nurfadila  
**NRP** : 02311840000027  
**Departemen** : Teknik Fisika FTIRS - ITS  
**Dosen Pembimbing** : Dr. Ir. Syamsul Arifin, M.T.  
Dr. Ir. A. A. Masroeri, M.Eng.

**ABSTRAK**

Indonesia memiliki luas perairan laut 5,8 juta km dengan potensi sumber daya ikan laut sebesar 7,3 juta ton per tahun. Tanpa pengelolaan dan pengawasan yang baik, sektor perikanan di Indonesia rentan terjadi pelanggaran. Diperlukan adanya peningkatan sistem pengamanan di seluruh perairan Indonesia dari pelanggaran hukum penangkapan sumber daya laut seperti IUU *transshipment* yang merupakan kegiatan pemindahan tangkapan ikan dari satu kapal ke kapal lain di tengah laut, sehingga transaksi tersebut tidak tercatat dalam laporan KKP, maka terjadilah kerugian devisa negara. Beberapa kasus IUU *transshipment* terdapat kapal yang mematikan data AIS-nya agar tidak terdeteksi oleh VTS. Dalam rangka mengidentifikasi tindak kecurangan tersebut, maka penelitian dirancang dengan terdiri dari sub-sistem identifikasi *losses* data AIS dengan tingkat akurasi 100%, sub-sistem prediktor *losses* data AIS menggunakan RNN dengan tingkat akurasi 97.3%, dan sub-sistem identifikasi *transshipment* menggunakan fuzzy tipe 2 dengan tingkat akurasi 100%. Sebagai bentuk pengembangan sistem, penelitian ini terdapat *input* baru berupa lama waktu berlayarnya kapal serta sub-sistem prediktor yang seluruhnya menggunakan RNN, didapati sistem dapat bekerja dengan optimal serta dapat memprediksi *losses* data AIS hingga 4 jam.

**Kata Kunci:** AIS, Fuzzy Tipe 2, IUU *Transshipment*, *Losses* data, dan RNN

*Halaman ini sengaja dikosongkan*

***DEVELOPMENT OF AN INTEGRATED SYSTEM OF AIS DATA-BASED DECISIONS FOR SHIP TRANSSHIPMENT MODELING  
USING FUZZY TYPE 2***

*Name* : Norisa Nurfadila  
*NRP* : 02311840000027  
*Department* : Engineering Physics FTIRS - ITS  
*Supervisors* : Dr. Ir. Syamsul Arifin. M.T.  
Dr. Ir. A. A. Masroeri, M.Eng.

***ABSTRACT***

*Indonesia has a 5.8 million km seas area with the potential marine fish resources estimated at 7.3 million tons per year. Without good management and supervision, this sector is vulnerable to violations. It is necessary to improve the security system in Indonesia's sea. There are cases of IUU transshipment, as ships that turn off their AIS data are then automatically not detected by the VTS. This study was designed to identify it using the AIS data losses sub-system with an accuracy result of 100%, the AIS data predictor sub-system using RNN with an accuracy of 97,3%, and the identification sub-system using fuzzy type 2 with an accuracy of 100%. As a research development, this study has new input in the form of sailing time for ships and predictor sub-systems that all use RNN. It was found the system can work optimally and predict AIS data losses for up to 4 hours.*

***Keywords:*** *AIS, Data losses, Fuzzy Type 2, IUU Transshipment, and RNN*

*Halaman ini sengaja dikosongkan*

## KATA PENGANTAR

Puji syukur penulis panjatkan kehadiran Allah SWT atas segala rahmat dan karunia-Nya sehingga penulis dapat menyelesaikan Tugas Akhir serta pembuatan laporan yang berjudul "Pengembangan Integrasi Sistem Pengambilan Keputusan Berbasis Data AIS untuk Pemodelan Pelanggaran Transshipment Pada Kapal Menggunakan Fuzzy Tipe 2". Penulis menyadari bahwa dalam proses penelitian ini tidak terlepas dari bantuan dan bimbingan dari berbagai pihak. Pada kesempatan ini penulis menyampaikan terima kasih yang sebesar-besarnya kepada:

1. Allah SWT yang telah memberikan rahmat dan hidayah-Nya sehingga penulis dapat menyelesaikan penelitian Tugas Akhir dan Laporan Tugas Akhir ini.
2. Dr. Suyanto, S.T., M.T. selaku Kepala Departemen Teknik Fisika yang telah memfasilitasi penelitian ini.
3. Keluarga, terutama kedua orang tua dan kakek serta nenek yang selalu memberikan dukungan, doa, dan semangat kepada penulis.
4. Dr. Ir. Syamsul Arifin. M.T. selaku Dosen pembimbing 1 serta Prof. Dr. Ir. Aulia Siti Aisjah, M.T., dan Dr. Ir. A.A. Masroeri, M.Eng. selaku dosen pembimbing 2 yang telah banyak membantu, memberikan ilmu, saran, masukan serta bimbingannya dalam penyusunan laporan ini,
5. Prof. Dr. Ir. Aulia Siti Aisjah, M.T. dan Dr. Suyanto, S.T., M.T selaku dosen penguji pada sidang penulis yang telah memberikan banyak masukan dan perbaikan dalam penyusunan laporan ini.
6. Ahmad Zaeni, M.M., M.Mar.E. selaku Kepala Seksi Penunjang Keselamatan dan Penyidikan Kantor Kesyahbandaran Utama Tanjung Perak Surabaya dan Mochammad Noer Fajri yang sangat membantu penulis dalam mendapatkan data *raw* AIS.
7. Prof. Dr. Ketut Buda Artana, S.T., M.Sc. dan Dr. Eng. Dhimas Widhi Handani, S.T., M.Sc. dari *Marine Reliability and Safety Laboratory* Departemen Teknik Sistem Perkapalan ITS yang telah membantu penulis dalam mendapatkan data *raw* AIS dari AIS ITS.
8. Keluarga besar Pondok Pesantren Pelajar dan Mahasiswa Subulussalam serta sahabat tercinta khususnya Aulia Tri, Zalfa Humaira, Deby, Adel, Vira, Chayara,

Auni, dan Yusrin yang selalu memberikan semangat dan selalu menemani dalam proses penggerjaan penelitian ini.

9. Rekan satu topik bimbingan, Putri Nurfiana, Farah Feba, Maidatul K, Hanifah R, dan Brillianti R, yang selalu memberikan semangat dan membantu dalam melakukan penelitian.

Serta pihak-pihak lain yang tidak dapat disebutkan satu-persatu. Penulis sangat menyadari bahwa dalam laporan Tugas Akhir ini masih terdapat kekurangan. Kritik dan saran yang membangun sangat dibutuhkan dalam menyempurnakan laporan Tugas Akhir ini. Semoga laporan tugas akhir ini dapat dipergunakan dengan sebaik-baiknya.

Surabaya, 15 Mei 2022

Penulis

## DAFTAR ISI

|  |       |
|--|-------|
| HALAMAN JUDUL .....  | i     |
| PERNYATAAN BEBAS PLAGIASI .....  | v     |
| LEMBAR PENGESAHAN .....  | vii   |
| LEMBAR PENGESAHAN .....  | ix    |
| ABSTRAK.....   | xi    |
| <i>ABSTRACT.....</i>   | xiii  |
| KATA PENGANTAR .....   | xv    |
| DAFTAR ISI.....  | xvii  |
| DAFTAR GAMBAR.....   | xxi   |
| DAFTAR TABEL.....  | xxiii |
| BAB I PENDAHULUAN.....   | 1     |
| 1.1    Latar Belakang.....   | 1     |
| 1.2    Rumusan Masalah.....  | 3     |
| 1.3    Tujuan .....  | 3     |
| 1.4    Batasan Masalah .....   | 4     |
| 1.5    Sistematika Laporan .....   | 4     |
| BAB II TINJAUAN PUSTAKA DAN DASAR TEORI .....  | 5     |
| 2.1    Review Penelitian Sebelumnya .....  | 5     |
| 2.2    Dasar Teori .....   | 6     |
| 2.2.1 <i>Illegal, Unreported and Unregulated (IUU) Fishing dan Transshipment</i> ..... | 6     |
| 2.2.2 <i>Automatic Identification System (AIS)</i> .....                               | 7     |
| 2.2.3 <i>International Regulation for Preventing Collisions at Sea (COLREGs)</i> ..... | 11    |
| 2.2.4 <i>Fuzzy Logic</i> Tipe 2 .....  | 12    |
| a.        Operasi Logika Fuzzy .....   | 13    |
| b.        Operasi Membership Fuzzy .....   | 13    |
| c.        Fuzzifikasi.....   | 13    |

|      |  |           |
|------|--|-----------|
| d.   | Defuzzifikasi .....  | 13        |
| e.   | <i>Reducer</i> .....   | 13        |
| f.   | Aturan If-Then Fuzzy.....  | 14        |
| g.   | Sistem Fuzzy Inferensi.....  | 14        |
|      | <b>2.2.5 Recurrent Neural Network (RNN).....</b>   | <b>14</b> |
|      | <b>2.2.6 Root Mean Square Error (RMSE).....</b>  | <b>17</b> |
|      | <b>BAB III METODOLOGI PENELITIAN .....</b>   | <b>19</b> |
| 3.1  | Diagram Alir Penelitian .....  | 19        |
| 3.2  | Studi Literatur dan Identifikasi Masalah .....   | 19        |
| 3.3  | Pengumpulan Data .....   | 20        |
| 3.4  | Pemodelan Sistem identifikasi IUU <i>Transshipment</i> .....   | 30        |
| 3.5  | Pemodelan Sub-sistem Identifikasi 1 untuk <i>Losses Data AIS</i> .....   | 30        |
| 3.6  | Pemodelan Sub-sistem Prediktor dengan Metode RNN.....  | 31        |
| 3.7  | Pemodelan Sub-sistem Identifikasi 2 dengan Metode Logika Fuzzy Tipe 2.....   | 35        |
| 3.8  | Uji Korelasi Data .....  | 40        |
| 3.9  | Analisis dan Validasi Data.....  | 40        |
| 3.10 | Penyusunan Laporan.....  | 42        |
|      | <b>BAB IV HASIL DAN PEMBAHASAN .....</b>   | <b>43</b> |
| 4.1  | Hasil Simulasi Sub-sistem Identifikasi <i>Losses Data</i> untuk Prediksi Jumlah Waktu Data AIS yang Hilang.....  | 43        |
| 4.2  | Hasil Simulasi Sub-sistem Prediktor RNN .....  | 43        |
| 4.3  | Hasil Simulasi Sub-sistem Identifikasi <i>Transshipment</i> dengan Menggunakan Fuzzy Tipe 2 .....  | 49        |
| 4.4  | Validasi Sub-sistem Identifikasi <i>Transshipment</i> Fuzzy Tipe 2 dengan <i>Raw Data AIS</i> dari AIS ITS <i>Marine Reliability and Safety Laboratory</i> ..... | 53        |
| 4.5  | Analisis Akurasi Seluruh Sistem .....  | 57        |
|      | <b>BAB V KESIMPULAN DAN SARAN.....</b>   | <b>61</b> |
| 5.1  | Kesimpulan .....   | 61        |

|                       |      |
|-----------------------|------|
| 5.2 Saran .....       | 62   |
| DAFTAR PUSTAKA .....  | 63   |
| LAMPIRAN.....         | xxv  |
| BIODATA PENULIS ..... | lxxi |

*Halaman ini sengaja dikosongkan*

## DAFTAR GAMBAR

|  |    |
|--|----|
| <b>Gambar 2.1</b> Cara Kerja Sistem AIS (S. K. Singh & F. Heymann, 2020) .....   | 8  |
| <b>Gambar 2.2</b> Pola Situasi Manuver Anti-Tabrakan Pertemuan Kapal Menurut COLREGs:<br>(a) <i>Head-on</i> ; (b) <i>Crossing</i> ( <i>own USV sebagai stand-on vessel</i> ); (c) <i>Crossing</i><br>( <i>own USV sebagai kapal yang memberi jalan</i> ); (d) <i>Overtaking</i> ; (e) <i>Overtaken</i><br>(Zhou et al., 2020)..... | 11 |
| <b>Gambar 2.3</b> Struktur Logika Fuzzy Tipe 2 (N. N. Karnik & J. M. Mendel, 1998) .....   | 12 |
| <b>Gambar 2.4</b> Loop 1 Sel RNN (Olah, 2015).....   | 14 |
| <b>Gambar 2.5</b> Pengulangan Data pada RNN (Olah, 2015) .....   | 15 |
| <b>Gambar 2.6</b> Modul Berulang <i>Basic RNN</i> yang Berisi 1 Lapisan (Olah, 2015) .....   | 15 |
| <b>Gambar 2.7</b> Modul Berulang LSTM dengan 4 Lapisan yang Saling Berinteraksi (Olah,<br>2015).....   | 16 |
| <b>Gambar 2.8</b> Arti Simbol-simbol yang Terdapat pada Gambar 2.7 .....   | 16 |
| <b>Gambar 2.9</b> Pengulangan Module pada LSTM (Kumar et al., 2018) .....  | 16 |
| <b>Gambar 3.1</b> Diagram Alir Penelitian.....   | 19 |
| <b>Gambar 3.2</b> Trayektori Kapal 3 dan Kapal 4 Skenario 1.1a Terduga Melakukan<br><i>Transshipment</i> di Perairan Banggai-Halmahera .....   | 24 |
| <b>Gambar 3.3</b> Trayektori Kapal 1 dan Kapal 2 Skenario 1.2a Terduga Melakukan<br><i>Transshipment</i> di Perairan Banggai-Halmahera .....   | 27 |
| <b>Gambar 3.4</b> Trayektori Kapal 1 dan Kapal 2 Skenario 1b Tidak Melakukan <i>Transshipment</i><br>di Perairan Banggai .....   | 30 |
| <b>Gambar 3.5</b> Diagram Blok Sistem Identifikasi IUU <i>Transshipment</i> Secara Keseluruhan   | 30 |
| <b>Gambar 3.6</b> Sub-sistem Identifikasi 1 untuk Memprediksi <i>Losses</i> Data pada Data AIS ...   | 31 |
| <b>Gambar 3.7</b> Diagram Blok Sub-sistem Prediktor dengan Menggunakan Metode RNN....  | 31 |
| <b>Gambar 3.8</b> Rancang Model RNN .....  | 32 |
| <b>Gambar 3.9</b> Arsitektur RNN dengan LSTM <i>layer</i> berjumlah 15 <i>layer</i> .....  | 33 |
| <b>Gambar 3.10</b> Arsitektur RNN dengan LSTM <i>layer</i> berjumlah 20 <i>layer</i> .....   | 33 |
| <b>Gambar 3.11</b> Arsitektur RNN dengan LSTM <i>layer</i> berjumlah 25 <i>layer</i> .....   | 33 |
| <b>Gambar 3.12</b> Diagram Alir Rancang Model RNN.....   | 35 |
| <b>Gambar 3.13</b> Diagram Blok Sub-sistem Identifikasi 2 untuk Identifikasi IUU<br><i>Transshipment</i> dengan Menggunakan Logika Fuzzy Tipe 2 .....  | 35 |
| <b>Gambar 3.14</b> Arsitektur Fuzzy Tipe 2 untuk Sub-sistem Identifikasi IUU <i>Transshipment</i>  | 36 |

|  |    |
|--|----|
| <b>Gambar 3.15</b> Membership Fuzzy Selisih Jarak .....  | 37 |
| <b>Gambar 3.16</b> Membership Fuzzy Selisih Heading .....  | 37 |
| <b>Gambar 3.17</b> Membership Fuzzy Selisih Kecepatan.....   | 38 |
| <b>Gambar 3.18</b> Membership Fuzzy Selisih Waktu.....   | 38 |
| <b>Gambar 3.19</b> Membership Fuzzy Output .....   | 39 |
| <b>Gambar 4.1</b> Hasil Prediksi Trayektori pada Data AIS yang Hilang untuk <i>Losses Data1</i> ..   | 45 |
| <b>Gambar 4.2</b> Hasil Prediksi Trayektori pada Data AIS yang Hilang untuk <i>Losses Data2</i> ..   | 45 |
| <b>Gambar 4.3</b> Trayektori Skenario 1.1a untuk 2 Kapal Terduga Melakukan <i>Transshipment</i> di Perairan Banggai-Halmahera.....   | 49 |
| <b>Gambar 4.4</b> Titik Temu Terdekat dari 2 Kapal Skenario 1.1a .....   | 50 |
| <b>Gambar 4.5</b> Hasil Simulasi Sub-sistem Identifikasi <i>Transshipment</i> pada Skenario 1.1a ..  | 50 |
| <b>Gambar 4.6</b> Trayektori Skenario 1.2a untuk 2 Kapal Terduga Melakukan <i>Transshipment</i> di Perairan Banggai-Halmahera.....   | 51 |
| <b>Gambar 4.7</b> Titik Temu Terdekat dari 2 Kapal Skenario 1.2a .....   | 51 |
| <b>Gambar 4.8</b> Hasil Simulasi Sub-sistem Identifikasi <i>Transshipment</i> Skenario 1.2a.....   | 51 |
| <b>Gambar 4.9</b> Trayektori 2 Kapal Skenario 1b Tidak Melakukan <i>Transshipment</i> di Perairan Banggai.....   | 52 |
| <b>Gambar 4.10</b> Titik Temu Terdekat dari 2 Kapal Skenario 1b.....   | 52 |
| <b>Gambar 4.11</b> Hasil Simulasi Sub-sistem Identifikasi <i>Transshipment</i> Skenario 1b.....  | 53 |
| <b>Gambar 4.12</b> Trayektori Kapal Bernomor MMSI 440197000 untuk Skenario 2.1b.....   | 54 |
| <b>Gambar 4.13</b> Trayektori Kapal Bernomor MMSI 525003396 untuk Skenario 2.1b.....   | 54 |
| <b>Gambar 4.14</b> Trayektori Raw Data AIS Skenario 2.1b Trayektori Berwarna Biru adalah Kapal Bernomor MMSI 440197000 dan Trayektori Berwarna Orange adalah Kapal Bernomor MMSI 525003396 .....       | 54 |
| <b>Gambar 4. 15</b> Trayektori Kapal Bernomor MMSI 525003337 untuk Skenario 2.2b.....  | 55 |
| <b>Gambar 4.16</b> Trayektori Kapal Bernomor MMSI 525008119 untuk Skenario 2.2b.....   | 55 |
| <b>Gambar 4.17</b> Trayektori raw data AIS Skenario 2.2b dengan Trayektori Berwarna Biru adalah Kapal Bernomor MMSI 525003337 dan Trayektori Berwarna Orange adalah Kapal Bernomor MMSI 525008119..... | 55 |
| <b>Gambar 4.18</b> Hasil Identifikasi <i>Transshipment</i> pada Raw Data AIS Skenario 2.1b.....  | 56 |
| <b>Gambar 4.19</b> Hasil Identifikasi <i>Transshipment</i> pada Raw Data AIS Skenario 2.2b.....  | 57 |

## DAFTAR TABEL

|   |    |
|---|----|
| <b>Tabel 2.1</b> Jenis Informasi yang Didapat Dari Data AIS (Aisjah et al., 2011).....  | 10 |
| <b>Tabel 2.2</b> Perbedaan, Kelebihan, dan Kekurangan VMS dan AIS (Direktorat Jendral Perhubungan Laut, 2019; Pernika, n.d.)..... | 10 |
| <b>Tabel 3.1</b> Sebutan untuk Setiap Data Skenario dari Data AIS Hasil Pembangkitan .....  | 20 |
| <b>Tabel 3.2</b> Data Kapal 1 Skenario 1.1a.....  | 21 |
| <b>Tabel 3.3</b> Data Kapal 2 Skenario 1.1a.....  | 22 |
| <b>Tabel 3.4</b> Titik Temu 2 Kapal Skenario 1.1a Terduga Melakukan <i>Transshipment</i> di Perairan Banggai-Halmahera.....       | 24 |
| <b>Tabel 3.5</b> Data Kapal 1 Skenario 1.2a.....  | 25 |
| <b>Tabel 3.6</b> Data Kapal 2 Skenario 1.2a.....  | 26 |
| <b>Tabel 3.7</b> Titik Temu 2 Kapal Skenario 1.2a Terduga Melakukan <i>Transshipment</i> di Perairan Banggai-Halmahera.....       | 27 |
| <b>Tabel 3.8</b> Data Kapal 1 Skenario 1b .....   | 27 |
| <b>Tabel 3.9</b> Data Kapal 2 Skenario 1b .....   | 28 |
| <b>Tabel 3.10</b> Titik Temu 2 Kapal Skenario 1b Tidak Melakukan <i>Transshipment</i> di Perairan Banggai.....                    | 29 |
| <b>Tabel 3.11</b> Keterangan Notasi <i>Input</i> Sub-sistem Prediktor dan Sub-sistem Identifikasi IUU <i>Transshipment</i> .....  | 32 |
| <b>Tabel 3.12</b> Variasi pada Model RNN.....   | 34 |
| <b>Tabel 3.13</b> Variabel Input <i>Membership Fuzzy</i> .....  | 36 |
| <b>Tabel 3.14</b> Variabel Output <i>Membership Fuzzy</i> .....   | 39 |
| <b>Tabel 3.15</b> <i>Rules</i> dari <i>Membership Fuzzy</i> .....   | 39 |
| <b>Tabel 3.16</b> Raw Data AIS Kapal Bernomor MMSI 525003337 .....  | 41 |
| <b>Tabel 3.17</b> Raw Data AIS Kapal Bernomor MMSI 525008119 .....  | 41 |
| <b>Tabel 3.18</b> Keterangan Nama dari Data Skenario Kapal yang Digunakan pada Penelitian   | 42 |
| <b>Tabel 4.1</b> Hasil Prediksi Jumlah Waktu Data AIS yang Hilang .....   | 43 |
| <b>Tabel 4.2</b> Hasil RMSE Sub-sistem Prediktor RNN untuk Posisi Titik <i>Latitude</i> dan <i>Longitude</i> .....                | 44 |
| <b>Tabel 4.3</b> Hasil RMSE Sub-sistem Prediktor RNN untuk Kecepatan .....  | 46 |
| <b>Tabel 4.4</b> Hasil RMSE Sub-sistem Prediktor RNN untuk <i>Heading</i> .....   | 48 |
| <b>Tabel 4.5</b> Hasil Olah Data Raw Data AIS untuk Skenario 2.1b .....   | 56 |
| <b>Tabel 4.6</b> Hasil Olah Data Raw Data AIS untuk Skenario 2.2b .....   | 56 |

|  |    |
|--|----|
| <b>Tabel 4.7</b> Akurasi Sub-sistem <i>Losses</i> Data AIS .....                 | 57 |
| <b>Tabel 4.8</b> Hasil RMSE Terendah untuk Masing-masing Variabel Uji Coba ..... | 58 |
| <b>Tabel 4.9</b> Akurasi Sub-sistem Prediktor.....                               | 58 |
| <b>Tabel 4.10</b> Akurasi Sub-sistem Identifikasi <i>Transshipment</i> .....     | 59 |

# BAB I

## PENDAHULUAN

### 1.1 Latar Belakang

Insiden penangkapan ikan secara “*Illegal, Unreported, and Unregulated Fishing*” dan *Transshipment*” (IUU-F) di seluruh dunia telah menyebabkan kerusakan lingkungan dan ekonomi yang serius yang melibatkan perubahan drastis dalam ekosistem, selain kerugian finansial yang disebabkan oleh menipisnya sumber daya alam. Istilah “*illegal*” mengacu pada pelanggaran peraturan penangkapan ikan atau melakukan kegiatan penangkapan ikan secara tidak sah di bawah yurisdiksi wilayah laut tertentu. Dalam konteks ini, “*unreported*” menunjukkan adanya hasil tangkapan yang tidak dilaporkan kepada pihak berwenang terkait, sedangkan “*unregulated*” menggambarkan kegiatan penangkapan ikan di wilayah yang tidak dapat diterapkan tindakan untuk mengendalikan hasil tangkapan. Departemen Perikanan dan Perairan/*Fisheries and Aquatic Department* (FAD) dari Organisasi Pangan dan Pertanian PBB/*United Nation’s Food and Agriculture Organization* (FAO) mengeluarkan laporan yang mengindikasikan bahwa kerugian tahunan akibat penangkapan IUU-F mencapai \$25 Miliar (Food and Agriculture Organization of the United Nations, 2016). Hal ini memberikan dampak negatif pada masa depan keanekaragaman hayati ekosistem laut dan Produk Nasional Bruto/*Gross National Product* (GNP) domestik. *Maritime Domain Awareness* (MDA) berkaitan dengan kesadaran situasional yang relevan dengan kegiatan yang memiliki dampak langsung atau tidak langsung pada sisi operasional, organisasi, ekonomi, dan keselamatan domain maritim (Sánchez, 2020). Aset di MDA mendukung berbagai misi, seperti pemantauan, penilaian risiko, dan manajemen. Maka mekanisme intersepsi yang kuat semakin dibutuhkan untuk mendeteksi dan mengejar insiden penangkapan ikan ilegal yang tak henti-hentinya di wilayah laut (Abouheaf, 2021).

Indonesia merupakan negara kepulauan terbesar di dunia dengan 17.504 pulau dan luas laut 5,8 juta km<sup>2</sup> (terdiri dari luas laut teritorial 0,3 juta km<sup>2</sup>, luas perairan kepulauan 2,95 juta km<sup>2</sup>, dan luas Zona Ekonomi Eksklusif Indonesia (ZEEI) 2,55 juta km<sup>2</sup>. dengan luas perairan Indonesia tersebut, Indonesia memiliki sumber daya ikan laut yang diperkirakan sebesar 7,3 juta ton per tahun yang tersebar di perairan wilayah Indonesia (KKP, 2005). Pada tahun 2019, nilai ekspor hasil perikanan Indonesia mencapai Rp 73.681.883.000 dimana nilai tersebut naik 10.1% dari hasil ekspor tahun 2018. Hasil laut seperti tuna, gurita, rajungan, cumi-cumi, rumput laut, serta udang merupakan komoditas yang paling dicari. Banyak dan beragamnya hasil produksi perikanan di Indonesia perlu

dipertahankan dan dijaga. Tanpa pengawasan dan pengelolaan yang baik, perikanan di Indonesia rentan terjadi pelanggaran (Pratama, 2020). Kasus ilegal *fishing* atau *transshipment* dapat berdampak pada Pendapatan Negara Bukan Pajak (PNBP) yang tidak mencapai target dan cenderung stagnan. Total target PNBP perikanan yang ditetapkan dalam APBN 2005 – 2013 tidak pernah melebihi 300 miliar dan hanya mencapai 150 miliar sejak tahun 2009 (KKP, 2015). Kasus pencurian ikan atau yang dikenal pula dengan ilegal *fishing* kerap terjadi di wilayah perairan Indonesia dan kerugian yang diakibatkan dapat mencapai 300 triliun per tahun. Pemberantasan ilegal *fishing* adalah salah satu upaya penyelamatan Sumber Daya Ikan (SDI).

Modus IUU *fishing* dan *transshipment* yang kerap terjadi di wilayah perairan Indonesia antara lain menyalahi area penangkapan, jenis alat tangkap yang dilarang, tidak melaporkan hasil tangkapan yang sesuai dengan keadaan sebenarnya atau pemalsuan hasil tangkapan, dan hasil tangkapan ikan yang langsung dibawa ke kapal negara lain (BPK, 2016). Selain itu juga seringkali terjadi adanya kapal tangkap asing yang lolos masuk ke wilayah perairan Indonesia tanpa terdeteksi patroli keamanan laut. Seperti dilansir oleh Kompas.com pada tanggal 17 Agustus 2021 terdapat enam kapal China yang masuk ke wilayah perairan Natuna Utara. Selain kapal tangkap, bahkan salah satu dari kapal tersebut adalah kapal perang China. Kehadiran kapal dari luar negeri secara ilegal ini membuat para nelayan lokal Indonesia takut untuk melaut (Ramadhan & Diamanty, 2021).

Indonesia memerlukan adanya peningkatan sistem pengamanan di seluruh wilayah perairan agar terbebas dari tindakan merugikan. Beberapa teknologi yang biasa digunakan untuk pemantauan IUU *fishing* dan *transshipment* adalah AIS (*Automatic Identification System*), VTS (*Vessel Traffic Services*), dan Radar. Pemantauan saat ini terhadap aktivitas IUU *fishing* dan *transshipment* di Indonesia dilakukan melalui VTS di Kantor Pusat Kementerian Kelautan Jakarta atau dari pelabuhan-pelabuhan terdekat. Informasi ini didapat berdasarkan data AIS dan radar long range camera yang mampu memantau hingga 40- 60 kilometer, serta kamera pemantau (CCTV) sejauh 4 kilometer (Masroeri et al., 2021). AIS merupakan sistem terbaru untuk pengumpulan data trayektori kapal yang mampu menyediakan informasi kapal dan mengirimkannya dari kapal ke kapal, maupun dari kapal ke darat melalui stasiun penerima menggunakan gelombang radio VHF secara otomatis.

Pada tahun 2019, Menteri Perhubungan mengesahkan kebijakan peraturan PM 7 Tahun 2019 mengenai kewajiban pemasangan AIS pada setiap kapal yang beroperasi di perairan Indonesia. Hal ini membuat pelacakan trayektori kapal dapat diakses dengan mudah melalui VTS. Pemanfaatan dari dari AIS sudah dilakukan oleh beberapa peneliti sebelumnya

untuk memprediksi adanya IUU *fishing* dan *transshipment* menggunakan berbagai metode seperti JST, Fuzzy Tipe 1, dan 2. Terdapat beberapa penelitian yang juga berhasil melakukan pembangkitan data AIS untuk kegiatan-kegiatan abnormal yang sengaja dilakukan awak kapal saat berlayar seperti penghilangan jejak dengan mematikan AIS dan merubah jalur berlayar secara mendadak.

Berdasarkan latar belakang yang telah diuraikan diatas penelitian ini dilakukan untuk membuat pengembangan dari sistem identifikasi serta pengambilan keputusan berbasis data AIS untuk memprediksi kegiatan ilegal *transshipment* bagi kapal yang diduga melakukan praktik-praktik ilegal di wilayah perairan Indonesia. Pengembangan pada penelitian ini terletak pada penambahan variabel *input* berupa waktu lamanya kapal berlayar. Terdapat tiga sub-sistem yaitu sub-sistem *losses* data menggunakan *if-else statement*, sub-sistem prediksi menggunakan metode *Recurrent Neural Network* (RNN), dan sub-sistem identifikasi menggunakan metode Fuzzy Tipe 2. Data-data dari kegiatan abnormal seperti dimatikannya sistem AIS yang dilakukan awak kapal diharapkan dapat dideteksi oleh sub-sistem prediksi dengan metode RNN dan diobservasi kebenarannya.

## 1.2 Rumusan Masalah

Berdasarkan latar belakang diatas, maka rumusan masalah pada penelitian ini adalah sebagai berikut:

- a) Bagaimana rancangan arsitektur RNN untuk mengakomodasi *losses* data AIS dalam waktu *long time* untuk sistem pengambilan keputusan IUU *transshipment*?
- b) Parameter apa saja yang mendukung model pengambilan keputusan IUU *transshipment* berbasis data AIS dengan Fuzzy Tipe 2?

## 1.3 Tujuan

Berdasarkan rumusan masalah diatas, maka tujuan dari dilakukannya penelitian ini adalah sebagai berikut:

- a) Merancang arsitektur RNN untuk mengakomodasi *losses* data AIS dalam waktu *long time* untuk sistem pengambilan keputusan IUU *transshipment*.
- b) Menentukan parameter yang mendukung model pengambilan keputusan IUU *transshipment* berbasis data AIS dengan Fuzzy Tipe 2.

#### 1.4 Batasan Masalah

Adapun batasan masalah yang digunakan dalam pengerojaan tugas akhir ini adalah sebagai berikut:

- a) Seluruh data kapal yang digunakan diasumsikan sudah terpasang sistem *Automatic Identification System* (AIS).
- b) Variabel yang digunakan sebagai input dalam sistem pengambilan keputusan merupakan data yang diperoleh dari AIS.
- c) Data *raw AIS* yang digunakan didapat dari AIS ITS *Marine Reliability and Safety Laboratory*, Teknik Sistem Perkapalan ITS.
- d) Pembangkitan data AIS dibuat dengan menggunakan *Google Earth*, dan situs *marinetraffic.com*.
- e) Data AIS yang digunakan adalah data AIS tipe b.
- f) Tidak ada pengolahan data AIS yang berada diluar *outlier* sistem RNN.
- g) Sistem pengambilan keputusan menggunakan Fuzzy tipe 2.
- h) Sistem predictor menggunakan *Recurrent Neural Network*.
- i) Simulasi dilakukan dengan menggunakan software *Python*.

#### 1.5 Sistematika Laporan

Sistematika penulisan laporan tugas akhir ini terdiri dari lima bab yakni pendahuluan, tinjauan pustaka dan dasar teori, metodologi penelitian, hasil dan pembahasan, serta kesimpulan dan saran. Bab I Pendahuluan berisi latar belakang, rumusan masalah, tujuan, lingkup kajian, dan sistematika laporan. Bab II Tinjauan Pustaka dan Dasar Teori membahas mengenai teori-teori yang berkaitan dengan penelitian yang akan dilakukan meliputi Identifikasi IUU transhipment berbasis data AIS, prediksi *losses* data, *Automatic Identification System* (AIS), sistem logika fuzzy tipe 2, *Recurrent Neural Network* (RNN) dan IUU Transhipment. Bab III Metodologi Penelitian berisi diagram alir yang menjelaskan tahapan-tahapan yang dilakukan dalam penelitian ini. Bab IV Hasil dan Pembahasan berisi tentang data hasil penelitian dari perancangan sub-sistem prediktor dan sub-sistem identifikasi IUU Transhipment. Bab V Kesimpulan dan Saran berisi kesimpulan tentang tugas akhir ini serta saran sebagai penunjang maupun pengembangan tugas akhir selanjutnya.

## **BAB II**

### **TINJAUAN PUSTAKA DAN DASAR TEORI**

#### **2.1 Review Penelitian Sebelumnya**

Penelitian sebelumnya dengan menggunakan metode VMS (*Vessel Monitoring System*) adalah Marza Ihsan Marzuki pada tahun 2017 dengan judul “*VMS Data Analyses and Modeling for The Monitoring and Surveillance of Indonesian Fisheries*” memiliki hasil keakuratan sebesar 97% (Marzuki, et al, 2017). Penelitian Marzuki menggunakan data VMS karena pada tahun 2017 data trayektori kapal masih menggunakan sistem VMS, sedangkan data AIS mulai wajib digunakan di Indonesia pada tahun 2019.

Penelitian yang berbasis data AIS dengan menggunakan metode logika fuzzy sebagai sistem pengambilan keputusan, untuk penelitian tentang IUU *Fishing* dilakukan oleh Fransisko dan Muhammad Dany, sedangkan penelitian tentang IUU *transshipment* dilakukan oleh Nidzar Alif dan Krisandi. Fransisko melakukan penelitian menggunakan logika fuzzy tipe Mamdani karena tipe ini sesuai dengan sistem yang dirancang yaitu masukan dan keluaran numerik dengan akurasi keluaran sistem teridentifikasi melakukan IUU *Fishing* sebesar 79.5837%. (Fransisko, 2016). Penelitian tentang IUU *Fishing* dikembangkan oleh Muhammad Dani menggunakan logika fuzzy dimana akurasi keluaran sistem teridentifikasi melakukan IUU *Fishing* sebesar 98,342%. (Dani, 2017).

Nidzar Alif melakukan penelitian menggunakan dua logika fuzzy metode *selection* dan *final decision*, dengan masukan data sebanyak 9 *rules* untuk logika fuzzy *selection* dan 81 *rules* untuk logika fuzzy *final decision*, kemudian didapati akurasi keluaran sistem teridentifikasi melakukan IUU *transshipment* sebesar 78,8% untuk sistem logika fuzzy *selection* dan 82,6% untuk sistem logika fuzzy *final decision* (Alif, 2016). Penelitian tentang IUU *transshipment* dikembangkan kembali oleh Krisandi menggunakan logika fuzzy yang sama dengan (Alif, 2016). Terdapat perbedaan pada jumlah rules yaitu 9 *rules* untuk logika fuzzy *selection* dan 48 *rules* untuk logika fuzzy *final decision* serta didapatkan akurasi keluaran sistem teridentifikasi melakukan IUU *transshipment* sebesar 83,075% untuk sistem logika fuzzy *selection* dan 83,1% untuk sistem logika fuzzy *final decision* (Situmorang, 2017).

Penelitian mengenai IUU *fishing* dan *transshipment* dengan sistem prediktor menggunakan *neural network* serta sistem identifikasi menggunakan Fuzzy tipe 2 dilakukan oleh Muhammad Mukhlis Jamali dan Muhammad Arif Samudya. Mukhlis melakukan

penelitian mengenai IUU *fishing* dan *transshipment* dengan sistem prediktor menggunakan *neural network* ANN dan RNN dengan sistem identifikasi menggunakan Fuzzy tipe 2 dan menghasilkan *neural networks* dengan akurasi keluaran sistem sebesar 99,64% (Jamali, 2020). Namun prediktor yang telah dirancang pada penelitian ini hanya mampu untuk memprediksi 10 data yang hilang. Kemudian penelitian dilanjutkan oleh Arif yaitu penelitian mengenai IUU *transshipment* dengan sistem prediktor *neural network* RNN dan sistem identifikasi Fuzzy tipe 2 serta menghasilkan prediksi posisi dengan rata-rata MAPE 0,1%, namun MAPE untuk prediksi kecepatan sebesar 14,9%, dimana menurut (Lewis, 1982) nilai ini masih belum termasuk dalam kategori sangat baik. Sistem identifikasi IUU *transshipment* milik Arif dengan menggunakan metode logika fuzzy tipe 2 menghasilkan akurasi 99,9949%.

## 2.2 Dasar Teori

### 2.2.1 *Illegal, Unreported and Unregulated (IUU) Fishing dan Transshipment*

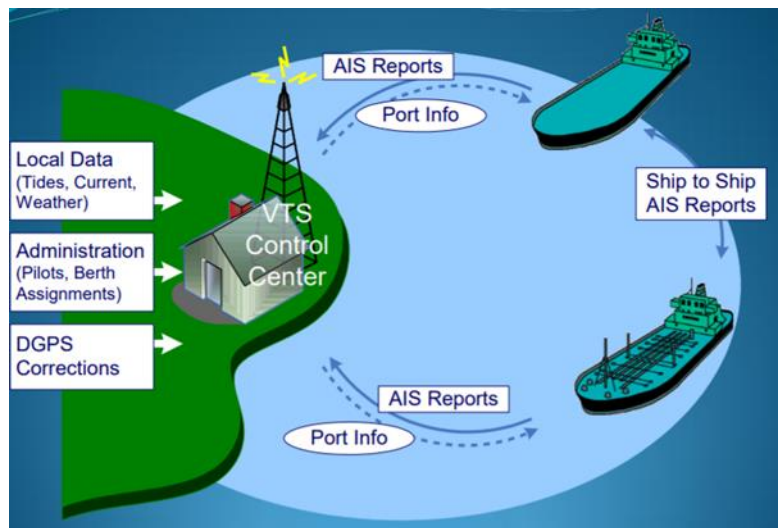
*Illegal, Unreported and Unregulated Fishing and Transshipment* atau yang lebih dikenal dengan IUU *Fishing* dan *Transshipment* adalah istilah luas yang mencakup penangkapan ikan dan kegiatan terkait penangkapan ikan yang melanggar hukum nasional, regional, dan internasional. *Unreported* merupakan kegiatan pelaporan yang tidak benar atau informasi yang kurang dilaporkan tentang kegiatan penangkapan ikan dan tangkapan. Hal ini mencakup penangkapan ikan dengan kapal yang bukan berasal dari negara pemilik perairan, penangkapan ikan di *Regional Fisheries Management Organizations* (RFMOs) oleh kapal yang non-pihak, dan kegiatan penangkapan ikan yang tidak diatur oleh negara dan tidak mudah diawasi dan dipertanggungjawabkan (Food and Agriculture Organization of the United Nations, 2016).

Suatu kegiatan dianggap ilegal *fishing* dan *transshipment* apabila dilakukan oleh suatu negara atau negara asing di perairan dibawah pemerintahan suatu negara tanpa izin atau bertentangan dengan peraturan perundang-undangan; diangkut oleh kapal-kapal yang mengibarkan bendera negara-negara yang merupakan pihak-pihak yang pada organisasi pengelolaan perikanan regional, tetapi pelanggaran pengelolaan dan pengelolaan yang diadopsi oleh organisasi-organisasi ini dan berlaku untuk ketentuan-ketentuan terkait dari hukum internasional yang berlaku; atau termasuk hukum nasional atau kewajiban internasional, yang dilakukan oleh negara-negara yang bekerja sama dengan organisasi pengelolaan perikanan regional yang relevan (Widjaja, et al., 2020). *Unreported fishing* dan *transshipment* yang tidak dilaporkan mengacu pada kegiatan yang belum dilaporkan atau

salah dilaporkan kepada otoritas nasional terkait yang melanggar hukum dan peraturan nasional; atau dilakukan di wilayah tanggung jawab organisasi perikanan regional yang berwenang yang belum dilaporkan atau salah dilaporkan, yang bertentangan dengan prosedur pelaporan organisasi tersebut (Widjaja, et al., 2020). Sedangkan penangkapan ikan dianggap *unregulated* apabila penangkapan ikan dalam lingkup wilayah organisasi pengelolaan perikanan regional yang kompeten, oleh kapal tanpa kewarganegaraan atau oleh kapal yang mengibarkan bendera negara yang bukan milik organisasi tersebut, atau oleh perusahaan perikanan dengan cara tertentu yang bertentangan dengan tindakan konservasi dan pengelolaan organisasi; atau di daerah atau populasi ikan di mana tidak ada tindakan konservasi atau pengelolaan dan di mana kegiatan penangkapan ikan tersebut dilakukan dengan cara yang tidak sesuai dengan tanggung jawab negara untuk konservasi sumber daya laut yang hidup menurut hukum internasional (Widjaja, et al., 2020).

### **2.2.2 Automatic Identification System (AIS)**

Saat ini sebagian besar kapal kecuali kapal non-penumpang yang sangat kecil (dengan berat kurang dari 300 gross ton), dilengkapi dengan transponder AIS oleh Organisasi Maritim Internasional (IMO) dan mengikuti konvensi *Safety of Life at Sea* (SOLAS) 2002, dalam rangka untuk menjamin keamanan dan keselamatan navigasi laut (Lloyd's, 2005). AIS (*Automatic Identification System*) adalah sebuah sistem yang mampu menyediakan informasi kapal dan mengirimkannya dari kapal ke kapal, maupun dari kapal ke darat melalui stasiun penerima menggunakan gelombang radio VHF (*Very High Frequency*) secara otomatis. Transponder AIS terutama yang menggunakan dua panjang gelombang khusus dalam pita frekuensi sangat tinggi (VHF) untuk mengirimkan data AIS adalah 161.975MHz dan 162.025MHz. Seperti pada Gambar 2.1, sistem AIS digunakan pada VTS (*Vessel Traffic System*) sebagai *port traffic management* yang berfungsi mengontrol kapal keluar dan masuk pelabuhan. Sistem AIS juga mampu mendeteksi kapal dalam jumlah yang banyak dan mampu menyediakan informasi pelayaran. AIS digunakan untuk menukar data secara elektronik termasuk identifikasi posisi, kegiatan atau keadaan kapal, dan kecepatan suatu kapal dengan kapal terdekat lainnya serta stasiun VTS melalui gelombang radio. Data yang ditransmisikan AIS diterima oleh antena GNSS. Baik terestrial, serta link satelit, telah digunakan untuk transmisi AIS. Perhatikan bahwa lautan terestrial dibatasi oleh kelengkungan Bumi, kira-kira 40 mil laut, dalam kondisi propagasi normal (S. K. Singh & F. Heymann, 2020).



**Gambar 2.1** Cara Kerja Sistem AIS (S. K. Singh & F. Heymann, 2020)

Transponder Kelas A untuk kapal penangkap ikan berukuran paling rendah GT35 menyediakan tiga jenis informasi yaitu informasi tetap atau statis, informasi dinamis, dan informasi terkait perjalanan. Informasi tetap, atau statis, yang dimasukkan kedalam AIS pada saat pemasangan dan hanya perlu diubah jika kapal berganti nama atau mengalami konversi besar dari satu jenis kapal ke jenis kapal lainnya, diantaranya (Big Ocean Data, 2021):

- a. *MMSI (Maritime Mobile Service Identity)*
- b. *Call sign and name of vessel*
- c. *IMO Number*
- d. *Length and beam*
- e. *Type of ship*
- f. *Location of position-fixing antenna*

Informasi dinamis, selain dari informasi status navigasi, diperbarui secara otomatis dari sensor kapal yang terhubung ke AIS, diantaranya (Big Ocean Data, 2021):

- a. *Ship's position with accuracy indication and integrity status*
- b. *Position Time stamp in UTC*
- c. *Course over ground (COG)*
- d. *Speed over ground (SOG)*

- e. *Heading*
- f. *Navigational status (e.g underway by engines, at anchor, engaged in fishing etc)*
- g. *Rate of turn (ROT)*

Informasi terkait perjalanan, yang mungkin perlu dimasukkan dan diperbarui secara manual, diantaranya (Big Ocean Data, 2021):

- a. *Ship's draught*
- b. *Hazardous cargo (type) (e.g. DG (Dangerous goods), HS (Harmful substances) or MP (Marine pollutants)*
- c. *Destination and ETA*
- d. *Route plan (waypoint) (at the discretion of the master)*

Sedangkan transponder Kelas B untuk kapal penangkap ikan dengan ukuran paling rendah GT60 hanya mengirimkan informasi statis setiap enam menit, diantaranya (Big Ocean Data, 2021):

- a. *MMSI (Maritime Mobile Service Identity)*
- b. *Call sign and name of vessel*
- c. *Length and beam*
- d. *Type of vessel*

Data AIS dapat digunakan untuk pertukaran data secara elektronik yang meliputi identifikasi, posisi, aktivitas atau kondisi kapal, dan kecepatan dengan kapal lain yang berdekatan dengan stasiun VTS. Data yang dipancarkan oleh sistem AIS terbagi menjadi tiga, yaitu data statis, data dinamis, dan data perjalanan. Data statis adalah data kapal yang tidak berubah-ubah seperti nomor registrasi kapal yang diatur pada saat pemasangan perangkat AIS pada kapal. Sementara data dinamis adalah data kapal yang sifatnya berubah-ubah setiap waktu seperti posisi kapal. Data perjalanan kapal adalah data yang memuat rincian muatan kapal, dan rencana pelayaran kapal. Secara lebih jelas jenis informasi dari AIS dapat dilihat pada Tabel 2.1.

**Tabel 2.1** Jenis Informasi yang Didapat Dari Data AIS (Aisjah et al., 2011)

| Data AIS  |   |   |
|---|---|---|
| Data Statis   | Data Dinamis  | Data Perjalanan   |
| 1. Nomor IMO<br>2. Call sign dan nama kapal<br>3. Dimensi kapal<br>4. Tipe kapal<br>5. Lokasi antena pemancar | 1. Posisi kapal dengan indikasi keakuratan dan status integritas<br>2. Waktu dalam UTC<br>3. Arah kapal<br>4. Kecepatan kapal<br>5. Heading<br>6. Status navigasional sudut putar | 1. Surat kapal<br>2. Kargo berbahaya<br>3. Tujuan dan estimasi waktu tiba (sesuai dengan perkiraan perwira kapal) |

Pendataan trayektori kapal selain menggunakan AIS juga dapat menggunakan VMS. VMS merupakan teknologi trayektori kapal yang sudah digunakan dan dikembangkan sebelum adanya teknologi AIS. Perbedaan, kelebihan, serta kekurangan VMS dan AIS yang dilansir pada *pernika.com* dan didukung oleh pendapat Direktur Kenavigasian, Basar Antonius usai Rakor Sektor Satgas 115 di Yogyakarta pada 13 Agustus 2022 dapat dilihat pada Tabel 2.2 (Direktorat Jendral Perhubungan Laut, 2019; Pernika, n.d.).

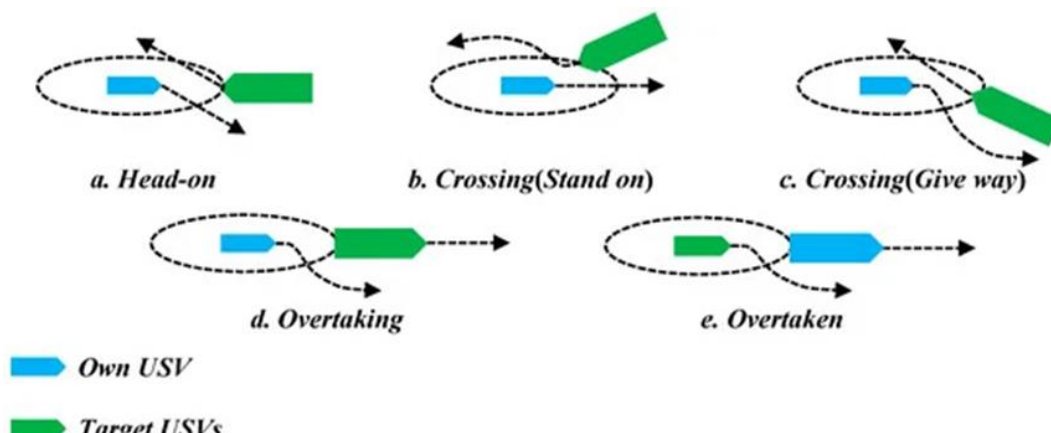
**Tabel 2.2** Perbedaan, Kelebihan, dan Kekurangan VMS dan AIS (Direktorat Jendral Perhubungan Laut, 2019; Pernika, n.d.)

| AIS ( <i>Automatic Identification System</i> )   | VMS ( <i>Vessel Monitoring System</i> )   |
|--|---|
| Mengawasi atau memantau kapal-kapal agar terhindar dari tabrakan/ kecelakaan di perairan/laut.   | Pengawasan terhadap kapal penangkap ikan serta pengangkutan ikan.   |
| Menggunakan frekuensi VHF antara 156 MHz – 162 MHz sesuai standar IMO.   | Pengoperasianya menggunakan satelit untuk mendeteksi posisi kapal.  |
| Kapten/crew kapal yang kapalnya terpasang perangkat AIS dapat memonitor maupun termonitor oleh kapal-kapal di sekitarnya yang juga memasang perangkat AIS. | Kapten/crew kapal yang kapalnya terpasang perangkat VMS tidak dapat memonitor maupun termonitor oleh kapal-kapal di sekitarnya meskipun kapal tersebut terpasang VMS. |

| AIS ( <i>Automatic Identification System</i> )                           | VMS ( <i>Vessel Monitoring System</i> )  |
|--|--|
| Tidak ada biaya bulanan dikarenakan menggunakan gelombang VHF.           | Ada biaya bulanan karena menggunakan satelit dan besar biaya bulanannya sangat mahal.  |
| Terdeteksi langsung oleh VTS ( <i>Vessel Traffic Service</i> ) terdekat. | Tidak terdeteksi VTS karena tidak menggunakan gelombang radio VHF. Cara kerja VMS yaitu memancarkan sinyal berisi data-data kapal ke satelit yang diolah di processing center lalu diteruskan ke Pusat Pemantauan Kapal Perikanan. |

### 2.2.3 *International Regulation for Preventing Collisions at Sea (COLREGs)*

Layaknya berkendara di daratan dengan banyak pedoman dan peraturan safety driving, dalam dunia pelayaran juga terdapat beberapa pedoman yang harus dipenuhi agar terhindar dari kejadian-kejadian yang tidak diinginkan seperti tabrakan. *International Maritime Organization* (IMO) mengeluarkan peraturan *International Regulations for Preventing Collisions at Sea* (COLREGs) pada tahun 1972 yang mengatur mengenai perangkat keamanan dan tindakan dasar yang harus dipenuhi oleh sebuah kapal agar dapat terhindar dari tabrakan antar kapal di tengah laut. Berdasarkan teknik manuver yang dibahas dalam COLREGs pada section II mengenai *conduct of vessel in sight of one another* pada rule 12 hingga 15, terdapat tiga jenis teknik manuver dalam menghindari tabrakan antar kapal yaitu *head on*, *overtake*, dan *crossing* (Cockroft & Lameijer, 2011). Dalam praktik pelanggaran IUU transshipment biasanya terdapat pola-pola pergerakan kapal seperti pada Gambar 2.2 yang dapat dideteksi.



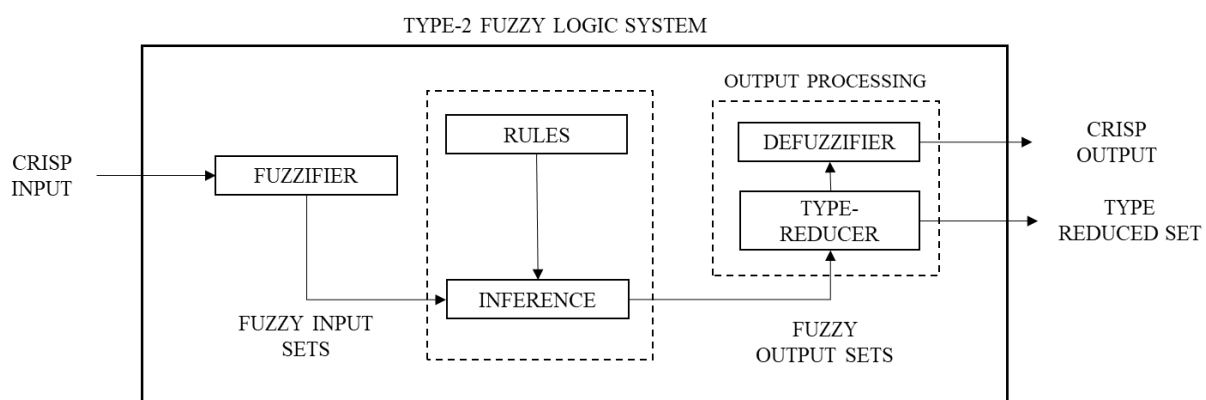
Gambar 2.2 Pola Situasi Manuver Anti-Tabrakan Pertemuan Kapal Menurut COLREGs:

- (a) *Head-on*; (b) *Crossing* (own USV sebagai *stand-on vessel*); (c) *Crossing* (own USV sebagai kapal yang memberi jalan); (d) *Overtaking*; (e) *Overtaken* (Zhou et al., 2020).

Pada situasi seperti pada Gambar 2.2, jalur diprioritaskan kepada kapal yang dikemudikan (*own vessel*), sementara kapal yang akan melintas (*target vessel*) harus menunggu. Pola manuver anti tabrakan pada Gambar 2.2 dapat digunakan sebagai pola untuk meninjau kapal yang sedang melakukan IUU *transshipment* karena sangatlah kecil kemungkinan adanya 2 kapal yang berjalan beriringan di tengah laut dalam waktu yang cukup lama (Aisjah et al., 2017).

#### 2.2.4 Fuzzy Logic Tipe 2

Logika fuzzy merupakan perluasan dari logika Boolean oleh Lot Zadeh pada tahun 1965 berdasarkan teori matematika himpunan fuzzy, yang merupakan generalisasi dari teori himpunan klasik. Dengan memperkenalkan gagasan derajat dalam verifikasi suatu kondisi, sehingga memungkinkan suatu kondisi berada dalam keadaan selain benar atau salah, logika fuzzy memberikan fleksibilitas yang sangat berharga untuk penalaran, yang memungkinkan untuk memperhitungkan ketidakakuratan dan ketidakpastian (Dernoncourt, 2014). Operator manusia dapat membuat kapal mengikuti jalur yang direncanakan secara langsung dengan mengendalikan kemudi, seperti ketika kesalahan lintas jalur positif; operator akan mengendalikan kemudi tergantung pada jarak dari garis lurus sehingga membuat kapal menuju ke arah penurunan kesalahan lintas jalur. Informasi heuristik ini dapat diadopsi ke dalam desain kendali autopilot fuzzy. Kontrol fuzzy menyediakan metodologi formal untuk merepresentasikan, memanipulasi, dan mengimplementasikan pengetahuan heuristik manusia tentang bagaimana mengontrol suatu sistem (Cheng, et al., 2016). Struktur fuzzy tipe 2 dapat dilihat pada Gambar 2.3.



**Gambar 2.3** Struktur Logika Fuzzy Tipe 2 (N. N. Karnik & J. M. Mendel, 1998)

Logika fuzzy tipe 2 memiliki daerah terbatas yang memuat ketidakpastian derajat keanggotaan primer dari fungsi keanggotaan tipe 2 yang disebut sebagai *footprint of*

*uncertainty* (FOU). Dua buah fungsi keanggotaan yang membatasi FOU yang merupakan fungsi keanggotaan interval tipe 2 yaitu *upper membership function* (UMF) dan *lower membership function* (LMF). Operasi irisan pada logika fuzzy tipe 2 disebut sebagai operasi *meet* dan jika operasi bersinggungan disebut sebagai operasi *join*. Selain itu, pembeda dari logika fuzzy tipe 2 dengan tipe 1 yaitu adanya *type reducer* sebelum himpunan di defuzzifikasi.

a. Operasi Logika Fuzzy

Terdapat banyak operasi logika fuzzy. Himpunan operasi yang sama dapat dilakukan pada himpunan fuzzy dengan sedikit modifikasi. Operasi ini memungkinkan untuk membuat perubahan pada pemodelan. Proses ini berguna saat membuat pengaplikasian.

b. Operasi Membership Fuzzy

Fungsi keanggotaan merupakan memetakan nilai variabel input pada semesta pembicaraan tertentu ke dalam bilangan real dalam rentang nilai [0,1] dan dapat bersifat simetris atau asimetris. Jenis fungsi keanggotaan yang paling umum digunakan dalam aplikasi fuzzy adalah segitiga, trapesium, dan gaussian (Amaitik, 2020).

c. Fuzzifikasi

Fuzzifikasi adalah proses konversi data dari variabel input ke format fuzzy untuk memastikan ketidakpastian yang diperlukan dalam variabel input. Fuzzifikasi untuk menentukan himpunan fuzzy yang mewakili semua derajat keanggotaan nilai-nilai linguistik yang sesuai dengan data variabel input. Input pada proses fuzzifikasi dapat berupa nilai crisp atau fuzzy, tetapi output selalu berupa himpunan fuzzy. Fuzzifikasi dalam hal nilai input fuzzy hampir sama dalam prosesnya dengan nilai input crisp. Perbedaannya adalah bahwa mungkin memperoleh lebih dari satu nilai keanggotaan dari nilai-nilai linguistik. Dalam hal ini, nilai keanggotaan yang lebih besar dipilih untuk mewakili nilai kebahasaannya (Amaitik, 2020).

d. Defuzzifikasi

Defuzzifikasi adalah proses mengubah nilai output fuzzy menjadi nilai crisp tunggal yang diperlukan dalam banyak aplikasi dunia nyata. Di antara metode defuzzifikasi yang umum digunakan adalah: metode *Weighted Average*, metode *Centroid*, dan metode *Mean-Max* (Amaitik, 2020).

e. Reducer

*Type-Reducer* merupakan bagian pembeda antara fuzzy tipe 2 dan fuzzy tipe 1. Ada beberapa cara *type reducer*, diantaranya adalah *centroid*, *height*, dan *center of set*. *Reducer* atau reduksi merupakan bagian pada fuzzy tipe 2 yang bertugas mengubah himpunan dari

logika fuzzy tipe 2 menjadi himpunan logika fuzzy tipe 1. Sebelum mendapatkan hasil akhir berupa nilai *crisp*, ada dua tahapan yang dilewati yaitu *type-reduction* (tipe reduksi) yang merupakan langkah pertama pengolahan *output* dengan menghitung *centroid* dari nilai interval fuzzy tipe 2 dan defuzzifikasi untuk memperoleh nilai *output* (*crisp*) (J. M. Mendel et al., 2006; Humaira, 2014).

f. Aturan If-Then Fuzzy

Aturan Fuzzy If-Then banyak digunakan dalam sistem fuzzy karena bentuk linguistik dari pernyataan kondisional sangat sesuai dengan pemikiran dan pendapat manusia tentang masalah tersebut. Bagian pertama dari aturan (yaitu bagian IF) disebut antecedent atau kondisi, sedangkan bagian kedua (yaitu bagian THEN) disebut bagian konsekuensi atau kesimpulan dari aturan fuzzy (Amaitik, 2020).

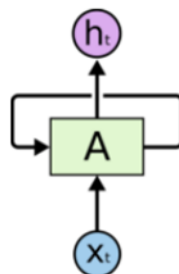
$$IF x \text{ is } A \text{ THEN } y \text{ is } B \quad (2.1)$$

g. Sistem Fuzzy Inferensi

Sistem inferensi fuzzy (disebut sistem penalaran berbasis aturan fuzzy) adalah kumpulan fungsi keanggotaan fuzzy, aturan fuzzy *If-Then* dan operator logika fuzzy (atau linguistik) untuk melakukan penalaran yang diperlukan. Pada sistem ini memetakan data variabel input, baik fuzzy atau crisp, ke ruang output berdasarkan prosedur yang terdiri dari: fuzzifikasi variabel input, evaluasi aturan fuzzy (inferensi fuzzy), agregasi aturan fuzzy menjadi output fuzzy tunggal dan defuzzifikasi dari keluaran fuzzy (Amaitik, 2020).

### 2.2.5 Recurrent Neural Network (RNN)

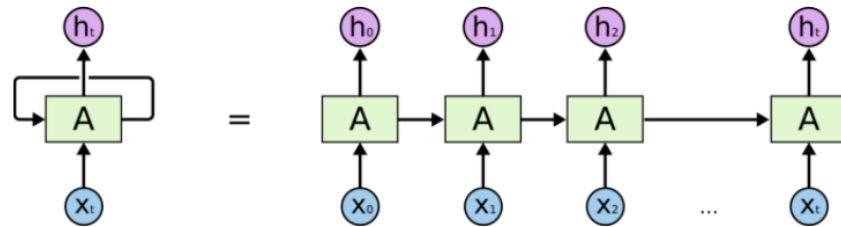
*Deep learning* dapat didefinisikan sebagai jenis khusus jaringan saraf yang terdiri dari banyak lapisan. Jaringan ini lebih baik daripada jaringan saraf konvensional dalam mempertahankan informasi dari peristiwa sebelumnya. *Recurrent Neural Network* (RNN) adalah salah satu mesin yang memiliki kombinasi jaringan dalam lingkaran.



Gambar 2.4 Loop 1 Sel RNN (Olah, 2015)

Seperti pada Gambar 2.4 dan Gambar 2.5, jaringan dalam lingkaran RNN memungkinkan informasi untuk bertahan. Setiap jaringan dalam loop mengambil input dan

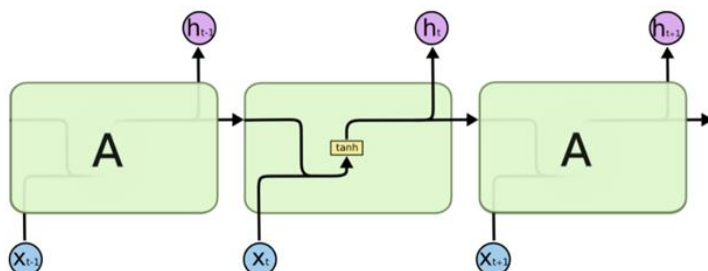
informasi dari jaringan sebelumnya, melakukan operasi yang ditentukan dan menghasilkan output bersama dengan meneruskan informasi ke jaringan berikutnya.



**Gambar 2.5** Pengulangan Data pada RNN (Olah, 2015)

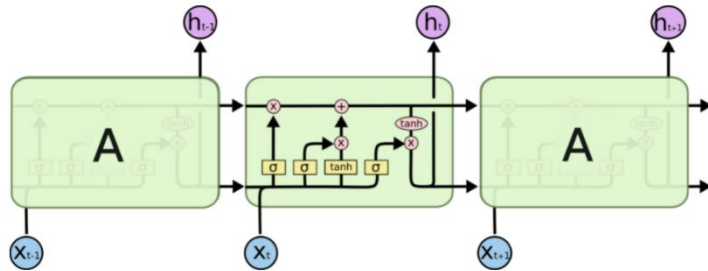
Beberapa aplikasi hanya memerlukan informasi terbaru sementara yang lain mungkin meminta lebih banyak informasi dari peristiwa sebelumnya. Pada jaringan saraf berulang sering kali terdapat gap antara informasi yang dibutuhkan sebelumnya dengan informasi yang diperlukan sekarang dan biasanya gap ini akan semakin berkembang sehingga mempengaruhi hasil dari pengolahan data. Jaringan *Long-Short Term Memory* (LSTM) yang merupakan bentuk khusus dari RNN mampu mempelajari skenario seperti itu dengan baik. Jaringan ini secara tepat dirancang untuk menghindari masalah ketergantungan jangka panjang dari jaringan berulang (Kumar et al., 2018).

LSTM baik dalam mengingat informasi untuk waktu yang lama. Karena lebih banyak informasi sebelumnya dapat mempengaruhi keakuratan model. Semua jaringan saraf berulang memiliki bentuk rantai modul berulang jaringan saraf. Dalam dasar RNN, modul berulang ini akan memiliki struktur yang sangat sederhana, seperti lapisan tanh tunggal seperti pada Gambar 2.6.

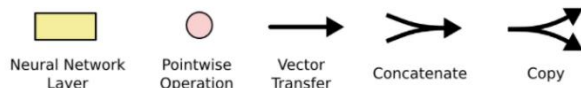


**Gambar 2.6** Modul Berulang Basic RNN yang Berisi 1 Lapisan (Olah, 2015)

Modul LSTM khas yang disebut modul berulang memiliki empat lapisan jaringan saraf yang berinteraksi dengan cara yang unik seperti pada Gambar 2.7.

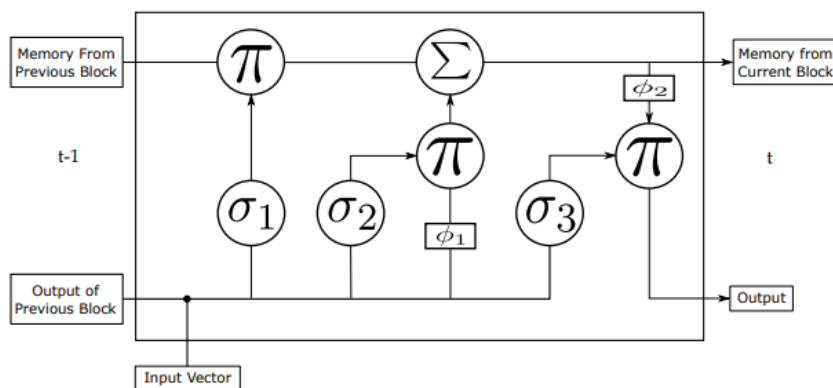


**Gambar 2.7** Modul Berulang LSTM dengan 4 Lapisan yang Saling Berinteraksi (Olah, 2015)



**Gambar 2.8** Arti Simbol-simbol yang Terdapat pada Gambar 2.7

Pada Gambar 2.7, setiap garis membawa seluruh vektor, dari output satu node ke input lainnya. Lingkaran merah muda mewakili operasi titik, seperti penambahan vektor, sedangkan kotak kuning adalah lapisan jaringan saraf yang dipelajari. Penggabungan garis menunjukkan penggabungan, sedangkan percabangan garis menunjukkan adanya penyalinan konten dan salinannya dikirim ke lokasi yang berbeda untuk dipelajari lebih lanjut (Olah, 2015).



**Gambar 2.9** Pengulangan Module pada LSTM (Kumar et al., 2018)

Menurut penjelasan LSTM oleh Jitendra Kumar, et al., (2017) dengan melihat pada Gambar 2.9, modul memiliki tiga fungsi aktivasi gerbang yakni  $\sigma_1$ ,  $\sigma_2$ , dan  $\sigma_3$  serta dua fungsi aktivasi keluaran  $\phi_1$  dan  $\phi_2$  seperti yang digambarkan pada Gambar 2.9. Simbol  $\pi$  dan  $\Sigma$  masing-masing mewakili perkalian dan penambahan elemen. Operasi penggabungan

diwakili oleh simbol ( $\bullet$ ) *bullet*. Komponen dasar LSTM adalah status sel, garis yang berjalan dari memori dari blok sebelumnya ( $S_{t-1}$ ) ke memori dari blok saat ini ( $S_t$ ). Hal ini memungkinkan informasi mengalir lurus ke bawah. Jaringan dapat memutuskan jumlah informasi sebelumnya mengalir. Hal tersebut dikendalikan melalui lapisan pertama ( $\sigma 1$ ). Operasi yang dilakukan oleh lapisan ini diberikan dalam persamaan (2.2).

$$cf_t = \sigma 1(W_{cf} \cdot [O_{t-1}, x_t] + b_{cf}) \quad (2.2)$$

$$I_t = \sigma 2(W_I \cdot [O_{t-1}, x_t] + b_I) \quad (2.3)$$

$$\tilde{S}_t = \tanh(W_s \cdot [O_{t-1}, x_t] + b_s) \quad (2.4)$$

$$S_t = cf_t \times S_{t-1} + I_t \times \tilde{S}_{t-1} \quad (2.5)$$

Informasi baru yang akan disimpan dalam keadaan sel dihitung menggunakan dua lapisan jaringan. Lapisan sigmoid ( $\sigma 2$ ) yang memutuskan nilai untuk diperbarui ( $I_t$ ) pada persamaan (2.3) dan lapisan tanh  $\phi 1$  yang mengembangkan vektor nilai kandidat baru ( $\tilde{S}_t$ ) seperti yang ditunjukkan pada persamaan (2.4). Kombinasi keduanya akan ditambahkan pada suatu bagian. Sehingga status sel diperbarui dengan persamaan (2.5) (Kumar et al., 2018).

### 2.2.6 Root Mean Square Error (RMSE)

Root mean square error atau yang lebih dikenal sebagai RMSE telah banyak digunakan sebagai metrik statistik standar dalam mengukur kinerja model dalam banyak studi. RMSE menggambarkan kinerja jangka pendek model dengan meninjau perbedaan aktual antara nilai estimasi dan nilai terukur. Semakin kecil nilai RMSE, semakin baik kinerja model tersebut (Anggara et al., 2021). Kelemahan dari perhitungan RMSE adalah jika terdapat perbedaan nilai *error* yang cukup besar pada nilai input suatu data maka dapat mengakibatkan peningkatan RMSE yang signifikan. Perhitungan RMSE dapat dilakukan dengan menggunakan persamaan (2.6).

$$RMSE = \sqrt{\frac{1}{n} \sum_{i=1}^n (\hat{Z}(x_i) - Z(x_i))^2} \quad (2.6)$$

dengan :

$\hat{Z}(x_i)$  : Nilai prediksi

$Z(x_i)$  : Nilai observasi

$n$  : Jumlah data

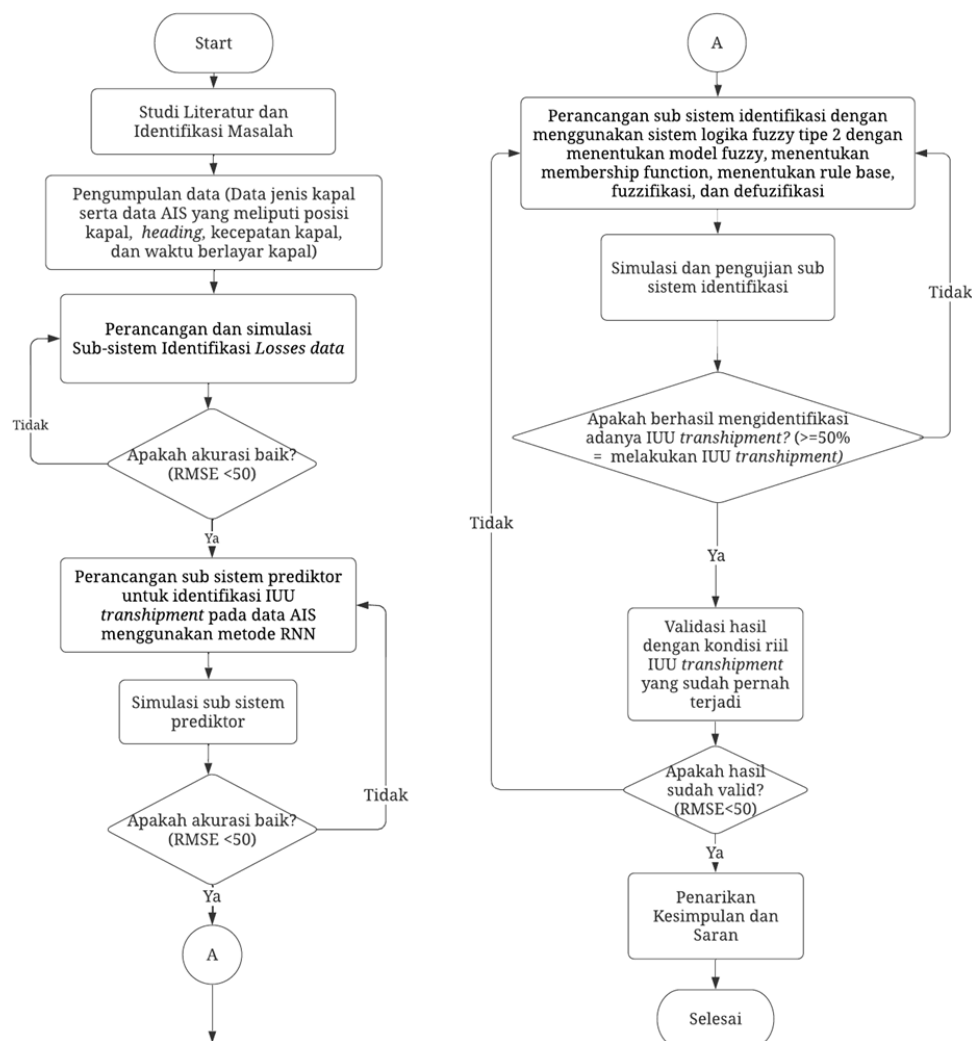
*Halaman ini sengaja dikosongkan*

## BAB III

### METODOLOGI PENELITIAN

#### 3.1 Diagram Alir Penelitian

Bab ini berisi mengenai tahapan-tahapan dalam penggerjaan tugas akhir, yaitu studi literatur dan identifikasi masalah, pengumpulan data, uji korelasi data, pemodelan sistem untuk logika fuzzy, analisis dan validasi data, serta penyusunan laporan seperti ditunjukkan dengan lebih detail pada diagram alir Gambar 3.1.



**Gambar 3.1** Diagram Alir Penelitian

#### 3.2 Studi Literatur dan Identifikasi Masalah

Studi literatur dilakukan untuk memahami mengenai *illegal, unreported, and unregulated fishing and transshipment* serta trayektori kapal sebagai objek utama penelitian.

Selain itu, perlu dipelajari juga mengenai tipe logika fuzzy yang akan digunakan pada penelitian sebagai metode penyelesaiannya. Studi literatur dilakukan melalui jurnal dan penelitian yang pernah dilakukan sebelumnya, video-video yang berkaitan, serta buku penunjang.

### 3.3 Pengumpulan Data

Terdapat beberapa data *Automatic Identification System* (AIS) dari kapal yang dibutuhkan pada penelitian ini. Data yang digunakan untuk menyeleksi kapal adalah data AIS berupa nomor kapal, posisi, dan heading, dan kecepatan kapal, serta data validasi untuk kriteria IUU *transshipment*. Data pada penelitian ini didapati dengan membangkitkan data menggunakan *marinetraffic.com* dan *google earth* di daerah perairan Banggai dan Halmahera, serta data *raw AIS* yang diperoleh dari AIS ITS milik *Marine Reliability and Safety Laboratory* Sistem Perkapalan ITS di daerah perairan Surabaya dengan tanpa adanya proses *filtering* data pada data yang diperoleh dan digunakan dalam penelitian. Pembangkitan data dilakukan untuk memperoleh 6 data trayektori kapal yang meliputi 2 kasus kapal terduga melakukan *transshipment* terdiri dari 4 data kapal yang terletak di perairan Banggai-Halmahera serta 1 kasus data kapal tidak melakukan *transshipment* terdiri dari 2 data kapal yang terletak di perairan Banggai. Dalam memperoleh jarak antara dua titik pada dua kapal berbeda digunakan persamaan Haversine (L. Ganesh & P, 2015; Winarno et al., n.d.; Y. Dian Harja & R. Sarno, 2018) berikut.

$$\alpha = 2r \sin^2\left(\frac{\Delta\varphi}{2}\right) + \cos\varphi_1 \times \cos\varphi_2 \times \sin^2\left(\frac{\Delta\lambda}{2}\right) \quad (3.1)$$

Dengan:

$\alpha$  : jarak,

$r$  : jari-jari bumi (6367 km),

$\varphi$  : latitude, dan

$\lambda$  : longitude

Adapun hasil pembangkitan data AIS pada *marinetraffic.com* dan *Google earth* beserta keterangan nama dari setiap *case* pembangkitan data dapat dilihat pada Tabel 3.1.

**Tabel 3.1** Sebutan untuk Setiap Data Skenario dari Data AIS Hasil Pembangkitan

| No | Sebutan untuk Setiap Data Skenario | Keterangan Data           | Letak Kapal                | Skenario                               |
|----|------------------------------------|---------------------------|----------------------------|--|
| 1  | Skenario 1.1a                      | Data <i>case</i> Banggai1 | Perairan Banggai-Halmahera | Terduga melakukan <i>transshipment</i> |

| No | Sebutan untuk Setiap Data Skenario | Keterangan Data                                   | Letak Kapal                | Skenario                               |
|----|------------------------------------|---|----------------------------|--|
| 2  | Skenario 1.2a                      | Data <i>case</i> Banggai2                         | Perairan Banggai-Halmahera | Terduga melakukan <i>transshipment</i> |
| 3  | Skenario 1b                        | Data <i>case</i> Banggai <i>Non-transshipment</i> | Perairan Banggai           | Tidak melakukan <i>transshipment</i>   |

Dimana huruf a menunjukkan skenario kapal terduga melakukan *transshipment* dan huruf b menunjukkan kapal dengan skenario tidak melakukan *transshipment*. Data skenario 1.1a dapat dilihat pada Tabel 3.2 hingga Tabel 3.4.

**Tabel 3.2** Data Kapal 1 Skenario 1.1a

| Total Jarak (Km) | Heading (°) | Latitude (°) | Longitude (°) | Kecepatan (m/s) | Jarak 2 titik (m) | Waktu |
|------------------|-------------|--------------|---------------|-----------------|-------------------|-------|
| 216.9588         | 54          | 0.663206     | 126.4539      | 18.7714         | 112.3950          | 14:05 |
| 217.0836         | 54          | 0.664442     | 126.4556      | 0.6738          | 109.8709          | 14:10 |
| 217.2084         | 54          | 0.665634     | 126.4573      | 0.6738          | 107.3872          | 14:15 |
| 217.3332         | 54          | 0.666848     | 126.459       | 0.6738          | 104.9465          | 14:20 |
| 217.4580         | 54          | 0.668062     | 126.4607      | 0.6738          | 102.5516          | 14:25 |
| 217.5828         | 54          | 0.669276     | 126.4624      | 0.6738          | 100.2055          | 14:30 |
| 217.7076         | 54          | 0.67049      | 126.4641      | 0.6738          | 97.9115           | 14:35 |
| 217.8324         | 54          | 0.671704     | 126.4658      | 0.6738          | 95.6729           | 14:40 |
| 217.9572         | 54          | 0.672918     | 126.4675      | 0.6738          | 93.4934           | 14:45 |
| 218.0820         | 54          | 0.674132     | 126.4692      | 0.6738          | 91.3771           | 14:50 |
| 218.2068         | 54          | 0.675346     | 126.4709      | 0.6738          | 89.3280           | 14:55 |
| 218.3316         | 54          | 0.67656      | 126.4726      | 0.6738          | 87.3505           | 15:00 |
| 218.4564         | 54          | 0.677773     | 126.4743      | 0.6738          | 85.4494           | 15:05 |
| 218.5812         | 54          | 0.678987     | 126.476       | 0.6738          | 83.6295           | 15:10 |
| 218.7060         | 54          | 0.680201     | 126.4777      | 0.6738          | 81.8958           | 15:15 |
| 218.8308         | 54          | 0.681415     | 126.4794      | 0.6738          | 80.2536           | 15:20 |
| 218.9556         | 54          | 0.682629     | 126.4811      | 0.6738          | 78.7083           | 15:25 |
| 219.0804         | 54          | 0.683843     | 126.4827      | 0.6738          | 77.2652           | 15:30 |
| 219.2052         | 54          | 0.685057     | 126.4844      | 0.6738          | 75.9299           | 15:35 |
| 219.3300         | 54          | 0.686271     | 126.4861      | 0.6738          | 74.7078           | 15:40 |
| 219.4548         | 54          | 0.687485     | 126.4878      | 0.6738          | 73.6041           | 15:45 |
| 219.5795         | 54          | 0.688699     | 126.4895      | 0.6738          | 72.6238           | 15:50 |
| 219.7043         | 54          | 0.689913     | 126.4912      | 0.6738          | 71.7716           | 15:55 |
| 219.8291         | 54          | 0.691127     | 126.4929      | 0.6738          | 71.0517           | 16:00 |
| 219.9539         | 54          | 0.692341     | 126.4946      | 0.6738          | 70.4678           | 16:05 |
| 220.0787         | 54          | 0.693555     | 126.4963      | 0.6738          | 70.0227           | 16:10 |
| 220.2035         | 54          | 0.694769     | 126.498       | 0.6738          | 69.7189           | 16:15 |
| 220.3283         | 54          | 0.695983     | 126.4997      | 0.6738          | 69.5577           | 16:20 |

| Total Jarak (Km) | Heading (°) | Latitude (°) | Longitude (°) | Kecepatan (m/s) | Jarak 2 titik (m) | Waktu |
|------------------|-------------|--------------|---------------|-----------------|-------------------|-------|
| 220.3415         | 54          | 0.704        | 126.493       | 0.0709          | 13.5166           | 16:25 |
| 220.3546         | 54          | 0.704128     | 126.4932      | 0.0709          | 13.4729           | 16:30 |
| 220.3677         | 54          | 0.704256     | 126.4934      | 0.0709          | 13.4292           | 16:35 |
| 220.3809         | 54          | 0.704383     | 126.4935      | 0.0709          | 13.3857           | 16:40 |
| 220.3940         | 54          | 0.704511     | 126.4937      | 0.0709          | 13.3423           | 16:45 |
| 220.4071         | 54          | 0.704639     | 126.4939      | 0.0709          | 13.2990           | 16:50 |
| 220.4203         | 54          | 0.704767     | 126.4941      | 0.0709          | 13.2558           | 16:55 |
| 220.4334         | 54          | 0.704895     | 126.4943      | 0.0709          | 13.2127           | 17:00 |
| 220.4466         | 54          | 0.705022     | 126.4944      | 0.0709          | 13.1697           | 17:05 |
| 220.4597         | 54          | 0.70515      | 126.4946      | 0.0709          | 13.1268           | 17:10 |
| 220.4728         | 54          | 0.705278     | 126.4948      | 0.0709          | 13.0841           | 17:15 |
| 220.4860         | 54          | 0.705406     | 126.495       | 0.0709          | 13.0414           | 17:20 |
| 220.4991         | 54          | 0.705533     | 126.4951      | 0.0709          | 12.9989           | 17:25 |
| 220.5122         | 54          | 0.705661     | 126.4953      | 0.0709          | 6577.1579         | 17:30 |
| 220.5254         | 54          | 0.705789     | 126.4955      | 0.0709          | 6578.3180         | 17:35 |
| 220.5385         | 54          | 0.705917     | 126.4957      | 0.0709          | 6579.4780         | 17:40 |
| 220.5516         | 54          | 0.706045     | 126.4959      | 0.0709          | 6580.6379         | 17:45 |
| 220.5648         | 54          | 0.706172     | 126.496       | 0.0709          | 6581.7977         | 17:50 |
| 220.5779         | 54          | 0.698411     | 126.5031      | 0.6738          | 69.6647           | 17:55 |
| 220.7027         | 54          | 0.699625     | 126.5048      | 0.6738          | 69.9313           | 18:00 |
| 220.8275         | 54          | 0.700839     | 126.5065      | 0.6738          | 70.3377           | 18:05 |
| ...              | ...         | ...          | ...           | ...             | ...               | ...   |
| 240.0462         | 54          | 0.88779      | 126.7679      | 0.6738          | 462.6430          | 06:55 |
| 240.171          | 54          | 0.889        | 126.7696      | 0.6738          | 465.2602          | 07:00 |
| 240.2957         | 54          | 0.89022      | 126.7713      | 0.6738          | 467.8744          | 07:05 |
| 240.4205         | 54          | 0.89143      | 126.7730      | 0.6738          | 470.4856          | 07:10 |
| 240.5453         | 54          | 0.89265      | 126.7747      | 0.6738          | 473.0939          | 07:15 |
| 240.6701         | 54          | 0.89386      | 126.7764      | 0.6738          | 475.6992          | 07:20 |
| 240.7949         | 54          | 0.89507      | 126.7781      | 0.6738          | 478.3015          | 07:25 |
| 240.9197         | 54          | 0.89629      | 126.7798      | 0.6738          | 480.9008          | 07:30 |
| 241.0445         | 54          | 0.8975       | 126.7815      | 0.6738          | 483.4971          | 07:35 |
| 241.1693         | 54          | 0.89872      | 126.7832      | 0.6738          | 486.0904          | 07:40 |
| 241.2941         | 54          | 0.89993      | 126.7849      | 18.7714         | 8264.4537         | 07:45 |

**Tabel 3.3** Data Kapal 2 Skenario 1.1a

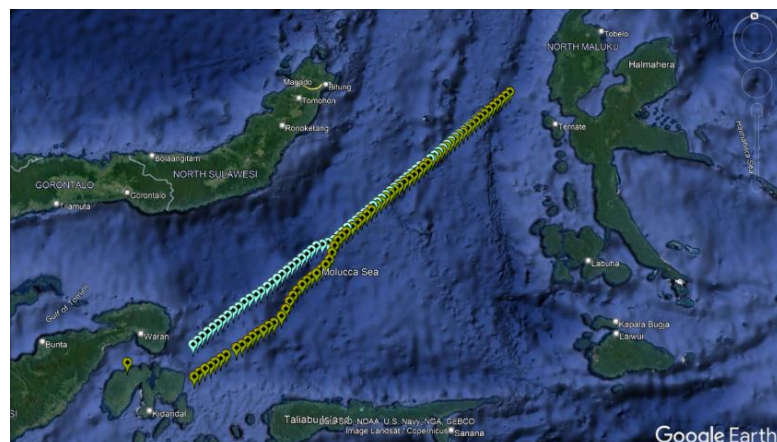
| Total Jarak (Km) | Heading (°) | Latitude (°) | Longitude (°) | Kecepatan (m/s) | Waktu |
|------------------|-------------|--------------|---------------|-----------------|-------|
| 204.7714         | 55          | 0.68067      | 126.457       | 17.9343         | 14:10 |
| 204.8612         | 55          | 0.68154      | 126.458       | 0.48471         | 14:15 |
| 204.951          | 55          | 0.6824       | 126.46        | 0.48471         | 14:20 |

| Total Jarak<br>(Km) | Heading (°) | Latitude (°) | Longitude (°) | Kecepatan<br>(m/s) | Waktu |
|---------------------|-------------|--------------|---------------|--------------------|-------|
| 205.0407            | 55          | 0.68326      | 126.461       | 0.48471            | 14:25 |
| 205.1305            | 55          | 0.68413      | 126.462       | 0.48471            | 14:30 |
| 205.2203            | 55          | 0.68499      | 126.463       | 0.48471            | 14:35 |
| 205.31              | 55          | 0.68586      | 126.464       | 0.48471            | 14:40 |
| 205.3998            | 55          | 0.68672      | 126.466       | 0.48471            | 14:45 |
| 205.4896            | 55          | 0.68758      | 126.467       | 0.48471            | 14:50 |
| 205.5793            | 55          | 0.68845      | 126.468       | 0.48471            | 14:55 |
| 205.6691            | 55          | 0.68931      | 126.469       | 0.48471            | 15:00 |
| 205.7589            | 55          | 0.69018      | 126.471       | 0.48471            | 15:05 |
| 205.8486            | 55          | 0.69104      | 126.472       | 0.48471            | 15:10 |
| 205.9384            | 55          | 0.6919       | 126.473       | 0.48471            | 15:15 |
| 206.0282            | 55          | 0.69277      | 126.474       | 0.48471            | 15:20 |
| 206.1118            | 55          | 0.69363      | 126.475       | 0.48471            | 15:25 |
| 206.2077            | 55          | 0.6945       | 126.477       | 0.48471            | 15:30 |
| 206.2975            | 55          | 0.69536      | 126.478       | 0.48471            | 15:35 |
| 206.3873            | 55          | 0.69623      | 126.479       | 0.48471            | 15:40 |
| 206.477             | 55          | 0.69709      | 126.48        | 0.48471            | 15:45 |
| 206.5668            | 55          | 0.69795      | 126.481       | 0.48471            | 15:50 |
| 206.6566            | 55          | 0.69882      | 126.483       | 0.48471            | 15:55 |
| 206.7463            | 55          | 0.69968      | 126.484       | 0.48471            | 16:00 |
| 206.8361            | 55          | 0.70055      | 126.485       | 0.48471            | 16:05 |
| 206.9259            | 55          | 0.70141      | 126.486       | 0.48471            | 16:10 |
| 207.0156            | 55          | 0.70227      | 126.488       | 0.48471            | 16:15 |
| 207.1054            | 55          | 0.70314      | 126.489       | 0.48471            | 16:20 |
| 207.1952            | 55          | 0.704        | 126.49        | 0.48471            | 16:25 |
| 207.209             | 55          | 0.70413      | 126.49        | 0.07457            | 16:30 |
| 207.2228            | 55          | 0.70427      | 126.49        | 0.07457            | 16:35 |
| 207.2366            | 55          | 0.7044       | 126.491       | 0.07457            | 16:40 |
| 207.2504            | 55          | 0.70453      | 126.491       | 0.07457            | 16:45 |
| 207.2642            | 55          | 0.70467      | 126.491       | 0.07457            | 16:50 |
| 207.278             | 55          | 0.7048       | 126.491       | 0.07457            | 16:55 |
| 207.2918            | 55          | 0.70493      | 126.491       | 0.07457            | 17:00 |
| 207.3057            | 55          | 0.70507      | 126.492       | 0.07457            | 17:05 |
| 207.3195            | 55          | 0.7052       | 126.492       | 0.07457            | 17:10 |
| 207.3333            | 55          | 0.70533      | 126.492       | 0.07457            | 17:15 |
| 207.3471            | 55          | 0.70546      | 126.492       | 0.07457            | 17:20 |
| 207.3609            | 55          | 0.7056       | 126.492       | 0.07457            | 17:25 |
| ...                 | ...         | ...          | ...           | ...                | ...   |
| 223.0842            | 55          | 0.85695      | 126.706       | 0.48471            | 08:05 |
| 223.1739            | 55          | 0.85781      | 126.707       | 0.48471            | 08:10 |
| 223.2637            | 55          | 0.85867      | 126.709       | 0.48471            | 08:15 |

| Total Jarak (Km) | Heading (°) | Latitude (°) | Longitude (°) | Kecepatan (m/s) | Waktu |
|------------------|-------------|--------------|---------------|-----------------|-------|
| 223.3535         | 55          | 0.85954      | 126.71        | 0.48471         | 08:20 |
| 223.4432         | 55          | 0.8604       | 126.711       | 0.48471         | 08:25 |
| 223.533          | 55          | 0.86127      | 126.712       | 0.48471         | 08:30 |
| 223.6228         | 55          | 0.86213      | 126.713       | 0.48471         | 08:35 |
| 223.7125         | 55          | 0.86299      | 126.715       | 0.48471         | 08:40 |
| 223.8023         | 55          | 0.86386      | 126.716       | 0.48471         | 08:45 |
| 223.8921         | 55          | 0.86472      | 126.717       | 0.48471         | 08:50 |
| 223.9819         | 55          | 0.86559      | 126.718       | 0.48471         | 08:55 |
| 224.0716         | 55          | 0.86645      | 126.72        | 0.48471         | 09:00 |
| 224.1614         | 55          | 0.86732      | 126.721       | 0.48471         | 09:05 |
| 224.2512         | 55          | 0.86818      | 126.722       | 0.48471         | 09:10 |
| 224.3409         | 55          | 0.86904      | 126.723       | 0.48471         | 09:15 |
| 224.4307         | 55          | 0.86991      | 126.724       | 0.48471         | 09:20 |
| 224.5205         | 55          | 0.87077      | 126.726       | 0.48471         | 09:25 |
| 224.6102         | 55          | 0.87164      | 126.727       | 0.48471         | 09:30 |
| 224.7            | 55          | 0.8725       | 126.728       | 17.9343         | 09:35 |

**Tabel 3.4** Titik Temu 2 Kapal Skenario 1.1a Terduga Melakukan *Transshipment* di Perairan Banggai-Halmahera

| Skenario 1.1a | Heading (°) | Latitude (°) | Longitude (°) | Kecepatan (m/s) | Waktu  |
|---------------|-------------|--------------|---------------|-----------------|--------|
| Kapal 1       | 54          | 0.704        | 126.493       | 0.0709          | 60 min |
| Kapal 2       | 55          | 0.704002     | 126.49        | 0.4847          |        |
| Selisih       | 1           | 13.51661091  |               | 0.413779        |        |



**Gambar 3.2** Trayektori Kapal 3 dan Kapal 4 Skenario 1.1a Terduga Melakukan *Transshipment* di Perairan Banggai-Halmahera

Adapun data skenario 1.2a untuk kasus terduga *transshipment* lainnya dapat dilihat pada Tabel 3.5 hingga Tabel 3.7.

**Tabel 3.5** Data Kapal 1 Skenario 1.2a

| Total Jarak (Km) | Heading (°) | Latitude (°) | Longitude (°) | Kecepatan (m/s) | Jarak 2 titik (m) | Waktu |
|------------------|-------------|--------------|---------------|-----------------|-------------------|-------|
| 0                | 0           | -1.2578      | 124.1871      | 0               | 0                 | 15:35 |
| 0.9124           | 59          | -1.24992     | 124.1999      | 4.9265          | 1709.232          | 15:40 |
| 1.8248           | 59          | -1.24205     | 124.2128      | 4.9265          | 1555.601          | 15:45 |
| 2.7372           | 59          | -1.23417     | 124.2256      | 4.9265          | 1458.616          | 15:50 |
| 3.6496           | 59          | -1.22629     | 124.2384      | 4.9265          | 1359.021          | 15:55 |
| 4.562            | 59          | -1.21842     | 124.2512      | 4.9265          | 1217.293          | 16:00 |
| 5.4744           | 59          | -1.21054     | 124.2641      | 4.9265          | 1110.205          | 16:05 |
| 6.3868           | 59          | -1.20266     | 124.2769      | 4.9265          | 980.0171          | 16:10 |
| 7.2991           | 59          | -1.19479     | 124.2897      | 4.9265          | 883.921           | 16:15 |
| 8.2115           | 59          | -1.18691     | 124.3025      | 4.9265          | 798.2342          | 16:20 |
| 9.1239           | 59          | -1.17904     | 124.3154      | 4.9265          | 695.3388          | 16:25 |
| 10.036           | 59          | -1.17116     | 124.3282      | 4.9265          | 593.4859          | 16:30 |
| 10.949           | 59          | -1.16328     | 124.341       | 4.9265          | 489.4327          | 16:35 |
| 11.861           | 59          | -1.15541     | 124.3538      | 4.9265          | 332.1194          | 16:40 |
| 12.774           | 59          | -1.14753     | 124.3667      | 4.9265          | 103.8457          | 16:45 |
| 12.831           | 59          | -1.14704     | 124.3675      | 0.3079          | 101.752           | 16:50 |
| 12.888           | 59          | -1.14654     | 124.3683      | 0.3079          | 99.65936          | 16:55 |
| 12.945           | 59          | -1.14605     | 124.3691      | 0.3079          | 97.56786          | 17:00 |
| 13.002           | 59          | -1.14556     | 124.3699      | 0.3079          | 95.47759          | 17:05 |
| 13.059           | 59          | -1.14507     | 124.3707      | 0.3079          | 93.38869          | 17:10 |
| 13.116           | 59          | -1.14458     | 124.3715      | 0.3079          | 91.30128          | 17:15 |
| 13.173           | 59          | -1.14408     | 124.3723      | 0.3079          | 89.2155           | 17:20 |
| 13.23            | 59          | -1.14359     | 124.3731      | 0.3079          | 87.13152          | 17:25 |
| 13.287           | 59          | -1.1431      | 124.3739      | 0.3079          | 85.0495           | 17:30 |
| 13.344           | 59          | -1.14261     | 124.3747      | 0.3079          | 82.96965          | 17:35 |
| 13.401           | 59          | -1.14211     | 124.3755      | 0.3079          | 80.89215          | 17:40 |
| 13.458           | 59          | -1.14162     | 124.3763      | 0.3079          | 78.81726          | 17:45 |
| 13.515           | 59          | -1.14113     | 124.3771      | 0.3079          | 76.74522          | 17:50 |
| ...              | ...         | ...          | ...           | ...             | ...               | ...   |
| 198.9            | 59          | 0.459276     | 126.9832      | 4.9265          | 8575.337          | 13:40 |
| 199.81           | 59          | 0.467153     | 126.996       | 4.9265          | 8653.558          | 13:45 |
| 200.73           | 59          | 0.475029     | 127.0088      | 4.9265          | 8731.308          | 13:50 |
| 201.64           | 59          | 0.482906     | 127.0217      | 4.9265          | 8808.574          | 13:55 |
| 202.55           | 59          | 0.490782     | 127.0345      | 4.9265          | 8885.343          | 14:00 |
| 203.46           | 59          | 0.498659     | 127.0473      | 4.9265          | 8961.601          | 14:05 |
| 204.38           | 59          | 0.506535     | 127.0601      | 4.9265          | 9037.335          | 14:10 |
| 205.29           | 59          | 0.514412     | 127.073       | 4.9265          | 9112.532          | 14:15 |

| Total Jarak (Km) | Heading (°) | Latitude (°) | Longitude (°) | Kecepatan (m/s) | Jarak 2 titik (m) | Waktu |
|------------------|-------------|--------------|---------------|-----------------|-------------------|-------|
| 206.2            | 59          | 0.522288     | 127.0858      | 4.9265          | 9187.176          | 14:20 |
| 207.11           | 59          | 0.530165     | 127.0986      | 4.9265          | 9261.254          | 14:25 |
| 208.03           | 59          | 0.538041     | 127.1114      | 4.9265          | 9334.753          | 14:30 |
| 208.94           | 59          | 0.545918     | 127.1243      | 4.9265          | 9407.656          | 14:35 |
| 209.85           | 59          | 0.553794     | 127.1371      | 4.9265          | 9479.951          | 14:40 |
| 210.76           | 59          | 0.561671     | 127.1499      | 4.9265          | 9551.622          | 14:45 |
| 211.68           | 59          | 0.569547     | 127.1627      | 4.9265          | 9622.654          | 14:50 |
| 212.59           | 59          | 0.577424     | 127.1756      | 4.9265          | 9693.032          | 14:55 |
| 213.5            | 59          | 0.5853       | 127.1884      | 1152.8          | 9762.742          | 15:00 |

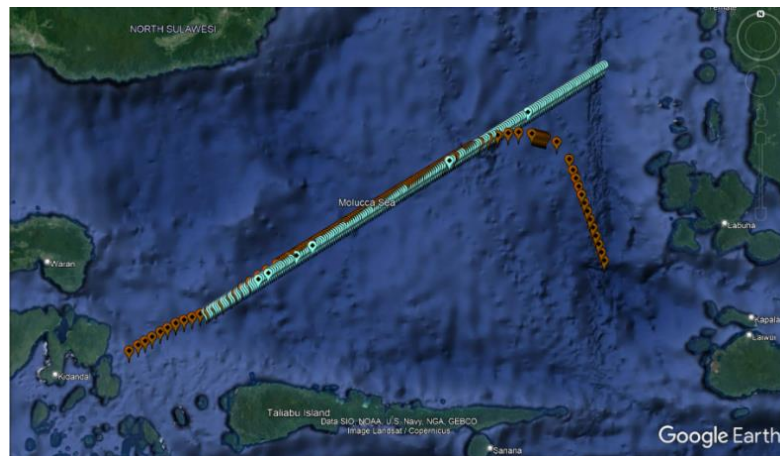
**Tabel 3.6** Data Kapal 2 Skenario 1.2a

| Total Jarak (Km) | Heading (°) | Latitude (°) | Longitude (°) | Kecepatan (m/s) | Waktu |
|------------------|-------------|--------------|---------------|-----------------|-------|
| 4.1              | 57          | -1.4715      | 123.744       | 22.138          | 15:45 |
| 7.2              | 60          | -1.4454      | 123.7894      | 16.739          | 15:50 |
| 10.5             | 60          | -1.4193      | 123.8347      | 17.819          | 15:55 |
| 14.2             | 59          | -1.3864      | 123.8883      | 19.978          | 16:00 |
| 17.3             | 59          | -1.3603      | 123.935       | 16.739          | 16:05 |
| 21               | 62          | -1.3315      | 123.9886      | 19.978          | 16:10 |
| 24.4             | 69          | -1.3109      | 124.0422      | 18.359          | 16:15 |
| 27.7             | 70          | -1.293       | 124.0944      | 17.819          | 16:20 |
| 31               | 70          | -1.2724      | 124.1466      | 17.819          | 16:25 |
| 34.6             | 71          | -1.2532      | 124.2016      | 19.438          | 16:30 |
| 37.7             | 66          | -1.2326      | 124.2497      | 16.739          | 16:35 |
| 41               | 56          | -1.2025      | 124.2952      | 17.819          | 16:40 |
| 45               | 53          | -1.162       | 124.3481      | 21.598          | 16:45 |
| 45.081           | 53          | -1.16118     | 124.3492      | 0.4387          | 16:50 |
| ...              | ...         | ...          | ...           | ...             | ...   |
| 180.64           | 95          | -0.14741     | 126.3196      | 2.6507          | 11:15 |
| 181.13           | 95          | -0.14928     | 126.3276      | 2.6507          | 11:20 |
| 181.62           | 95          | -0.15115     | 126.3356      | 2.6507          | 11:25 |
| 182.11           | 95          | -0.15303     | 126.3436      | 2.6507          | 11:30 |
| 182.6            | 104         | -0.1549      | 126.3516      | 29.158          | 11:35 |
| 187.2            | 114         | -0.1865      | 126.4217      | 24.838          | 11:40 |
| 191.4            | 150         | -0.2974      | 126.5016      | 22.678          | 11:45 |
| 195.8            | 161         | -0.3662      | 126.5248      | 23.758          | 11:50 |
| 199.18           | 161         | -0.41853     | 126.5427      | 18.26           | 11:55 |
| 202.56           | 161         | -0.47085     | 126.5607      | 18.26           | 12:00 |
| 205.95           | 161         | -0.52318     | 126.5786      | 18.26           | 12:05 |
| 209.33           | 161         | -0.57551     | 126.5966      | 18.26           | 12:10 |
| 212.71           | 161         | -0.62784     | 126.6145      | 18.26           | 12:15 |

| Total Jarak (Km) | Heading (°) | Latitude (°) | Longitude (°) | Kecepatan (m/s) | Waktu |
|------------------|-------------|--------------|---------------|-----------------|-------|
| 216.09           | 161         | -0.68016     | 126.6325      | 18.26           | 12:20 |
| 219.47           | 161         | -0.73249     | 126.6504      | 18.26           | 12:25 |
| 222.85           | 161         | -0.78482     | 126.6684      | 18.26           | 12:30 |
| 226.24           | 161         | -0.83715     | 126.6863      | 18.26           | 12:35 |
| 229.62           | 161         | -0.88947     | 126.7043      | 18.26           | 12:40 |
| 233              | 161         | -0.9418      | 126.7222      | 200.86          | 12:45 |

**Tabel 3.7** Titik Temu 2 Kapal Skenario 1.2a Terduga Melakukan *Transshipment* di Perairan Banggai-Halmahera

| Skenario 1.2a | Heading (°) | Latitude (°) | Longitude (°) | Kecepatan (m/s) | Waktu  |
|---------------|-------------|--------------|---------------|-----------------|--------|
| Kapal 1       | 59          | -1.1353563   | 124.3865      | 0.1493          | 95 min |
| Kapal 2       | 52          | -1.1347833   | 124.3831      | 0.2790          |        |
| Selisih       | 7           | 9.80377583   |               | 0.129689        |        |



**Gambar 3.3** Trayektori Kapal 1 dan Kapal 2 Skenario 1.2a Terduga Melakukan *Transshipment* di Perairan Banggai-Halmahera

Data AIS kapal dari skenario 1b untuk *case* tidak melakukan *transshipment* dapat dilihat pada Tabel 3.8 sampai Tabel 3.10.

**Tabel 3.8** Data Kapal 1 Skenario 1b

| Total Distance (Km) | Heading (°) | Latitude (°) | Longitude (°) | Kecepatan (m/s) | Jarak 2 titik (m) | Waktu |
|---------------------|-------------|--------------|---------------|-----------------|-------------------|-------|
| 0                   | 79          | -1.1611      | 123.6093      | 19.9784         | 12128.155         | 18:15 |
| 7.6                 | 79          | -1.1487      | 123.6724      | 21.0583         | 11919.214         | 18:20 |
| 11.4                | 77          | -1.135       | 123.7314      | 20.5184         | 11711.675         | 18:25 |
| 15.1                | 73          | -1.1172      | 123.7932      | 19.9784         | 11480.144         | 18:30 |
| 18.9                | 7.1         | -1.0966      | 1223.854      | 20.5184         | 10267.877         | 18:35 |
| 22.5                | 67          | -1.0732      | 123.9072      | 19.4385         | 10991.951         | 18:40 |
| 26.4                | 63          | -1.0471      | 123.9634      | 21.0583         | 10723.189         | 18:45 |

| Total Distance (Km) | Heading (°) | Latitude (°) | Longitude (°) | Kecepatan (m/s) | Jarak 2 titik (m) | Waktu |
|---------------------|-------------|--------------|---------------|-----------------|-------------------|-------|
| 30                  | 57          | -1.0114      | 124.0156      | 19.4385         | 10418.387         | 18:50 |
| 33.7                | 53          | -0.9744      | 124.065       | 19.9784         | 10104.429         | 18:55 |
| 37.5                | 47          | -0.9291      | 124.109       | 20.5184         | 9758.7965         | 19:00 |
| 38.20915            | 47          | -0.92105     | 124.1176      | 3.82911         | 9668.4488         | 19:05 |
| 38.9183             | 47          | -0.913       | 124.1262      | 3.82911         | 9577.7002         | 19:10 |
| 39.6274             | 47          | -0.90495     | 124.1348      | 3.82911         | 9486.565          | 19:15 |
| 40.3366             | 47          | -0.8969      | 124.1434      | 3.82911         | 9395.0573         | 19:20 |
| 41.0457             | 47          | -0.88885     | 124.152       | 3.82911         | 9303.1912         | 19:25 |
| 41.7549             | 47          | -0.8808      | 124.1606      | 3.82911         | 9210.9807         | 19:30 |
| 42.4640             | 47          | -0.87275     | 124.1691      | 3.82911         | 9118.4396         | 19:35 |
| 43.1732             | 47          | -0.8647      | 124.1777      | 3.82911         | 9025.5818         | 19:40 |
| 43.8823             | 47          | -0.85665     | 124.1863      | 3.82911         | 8932.421          | 19:45 |
| 44.5915             | 47          | -0.8486      | 124.1949      | 3.82911         | 8838.971          | 19:50 |
| 45.3006             | 47          | -0.84055     | 124.2035      | 3.82911         | 8745.2455         | 19:55 |
| 46.0098             | 47          | -0.8325      | 124.2121      | 3.82911         | 8651.2582         | 20:00 |
| 46.7189             | 47          | -0.82445     | 124.2207      | 3.82911         | 8557.0228         | 20:05 |
| 47.4281             | 47          | -0.8164      | 124.2293      | 3.82911         | 8462.553          | 20:10 |
| 48.1372             | 47          | -0.80835     | 124.2379      | 3.82911         | 8367.8626         | 20:15 |
| ...                 | ...         | ...          | ...           | ...             | ...               | ...   |
| 205.7941            | 75          | 0.643088     | 126.3562      | 21.9159         | 9285.3069         | 08:55 |
| 209.8529            | 75          | 0.660406     | 126.4215      | 21.9159         | 9672.2503         | 09:00 |
| 213.9118            | 75          | 0.677724     | 126.4868      | 21.9159         | 10046.87          | 09:05 |
| 217.9706            | 75          | 0.695041     | 126.5521      | 21.9159         | 10407.935         | 09:10 |
| 222.0294            | 75          | 0.712359     | 126.6174      | 21.9159         | 10754.102         | 09:15 |
| 226.0882            | 75          | 0.729676     | 126.6827      | 21.9159         | 11083.927         | 09:20 |
| 230.1471            | 75          | 0.746994     | 126.748       | 21.9159         | 11395.862         | 09:25 |
| 234.2059            | 75          | 0.764312     | 126.8133      | 21.9159         | 11688.275         | 09:30 |
| 238.2647            | 75          | 0.781629     | 126.8787      | 21.9159         | 11959.471         | 09:35 |
| 242.3235            | 75          | 0.798947     | 126.944       | 21.9159         | 12207.729         | 09:40 |
| 246.3824            | 75          | 0.816265     | 127.0093      | 21.9159         | 12431.349         | 09:45 |
| 250.4412            | 75          | 0.833582     | 127.0746      | 21.9159         | 12628.715         | 09:50 |
| 254.5               | 75          | 0.8509       | 127.1399      | 372.57          | 12798.367         | 09:55 |

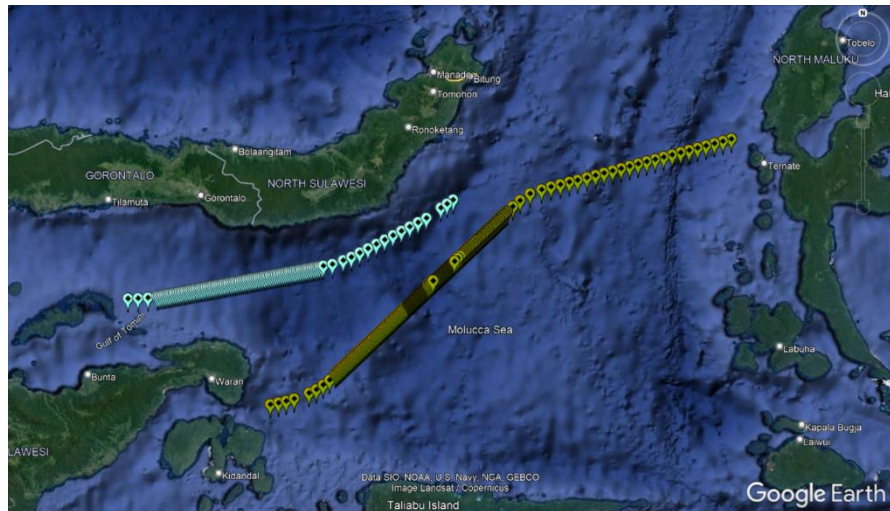
**Tabel 3.9** Data Kapal 2 Skenario 1b

| Total Distance (Km) | Heading (°) | Latitude (°) | Longitude (°) | Kecepatan (m/s) | Waktu |
|---------------------|-------------|--------------|---------------|-----------------|-------|
| 150.5               | 241         | 0.4215       | 125.0585      | 812.635         | 06:05 |
| 150.8483            | 237         | 0.418366     | 125.0536      | 1.88054         | 06:10 |
| 151.1966            | 237         | 0.415231     | 125.0488      | 1.88054         | 06:15 |
| 151.5448            | 237         | 0.412097     | 125.0439      | 1.88054         | 06:20 |
| 151.8931            | 237         | 0.408962     | 125.0391      | 1.88054         | 06:25 |
| 152.2414            | 237         | 0.405828     | 125.0342      | 1.88054         | 06:30 |

| Total Distance<br>(Km) | Heading (°) | Latitude (°) | Longitude (°) | Kecepatan<br>(m/s) | Waktu |
|------------------------|-------------|--------------|---------------|--------------------|-------|
| 152.5897               | 237         | 0.402693     | 125.0293      | 1.88054            | 06:35 |
| 152.9379               | 237         | 0.399559     | 125.0245      | 1.88054            | 06:40 |
| 153.2862               | 237         | 0.396424     | 125.0196      | 1.88054            | 06:45 |
| 153.6345               | 237         | 0.39329      | 125.0148      | 1.88054            | 06:50 |
| 153.9828               | 237         | 0.390155     | 125.0099      | 1.88054            | 06:55 |
| 154.331                | 237         | 0.387021     | 125.0051      | 1.88054            | 07:00 |
| 154.6793               | 237         | 0.383886     | 125.0002      | 1.88054            | 07:05 |
| 155.0276               | 237         | 0.380752     | 124.9953      | 1.88054            | 07:10 |
| 155.3759               | 237         | 0.377617     | 124.9905      | 1.88054            | 07:15 |
| 155.7241               | 237         | 0.374483     | 124.9856      | 1.88054            | 07:20 |
| 156.0724               | 237         | 0.371348     | 124.9808      | 1.88054            | 07:25 |
| 156.4207               | 237         | 0.368214     | 124.9759      | 1.88054            | 07:30 |
| 156.769                | 237         | 0.365079     | 124.971       | 1.88054            | 07:35 |
| ...                    | ...         | ...          | ...           | ...                | ...   |
| 285.6364               | 260         | -0.29527     | 122.9579      | 4.81053            | 18:40 |
| 286.5273               | 260         | -0.29786     | 122.9433      | 4.81053            | 18:45 |
| 287.4182               | 260         | -0.30045     | 122.9288      | 4.81053            | 18:50 |
| 288.3091               | 260         | -0.30304     | 122.9142      | 4.81053            | 18:55 |
| 289.2                  | 260         | -0.30563     | 122.8996      | 4.81053            | 19:00 |
| 290.0909               | 260         | -0.30821     | 122.885       | 4.81053            | 19:05 |
| 290.9818               | 260         | -0.3108      | 122.8705      | 4.81053            | 19:10 |
| 291.8727               | 260         | -0.31339     | 122.8559      | 4.81053            | 19:15 |
| 292.7636               | 260         | -0.31598     | 122.8413      | 4.81053            | 19:20 |
| 293.6545               | 260         | -0.31857     | 122.8267      | 4.81053            | 19:25 |
| 294.5455               | 260         | -0.32116     | 122.8122      | 4.81053            | 19:30 |
| 295.4364               | 260         | -0.32375     | 122.7976      | 4.81053            | 19:35 |
| 296.3273               | 260         | -0.32633     | 122.783       | 4.81053            | 19:40 |
| 297.2182               | 260         | -0.32892     | 122.7684      | 4.81053            | 19:45 |
| 298.1091               | 260         | -0.33151     | 122.7539      | 4.81053            | 19:50 |
| 299                    | 260         | -0.3341      | 122.7393      | 422.246            | 19:55 |
| 303.3                  | 265         | -0.3446      | 122.6678      | 23.2182            | 20:00 |
| 308                    | 267         | -0.3487      | 122.5903      | 25.378             | 20:05 |
| 312.7                  | 269         | -0.3507      | 122.5107      | 25.378             | 20:10 |

**Tabel 3.10** Titik Temu 2 Kapal Skenario 1b Tidak Melakukan *Transshipment* di Perairan Banggai

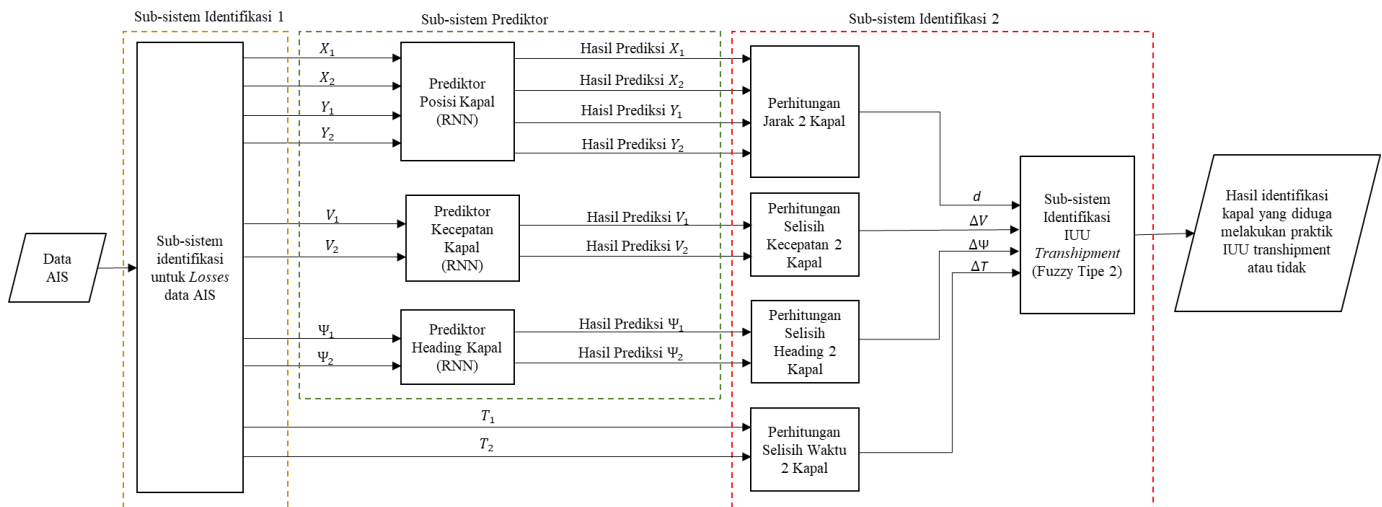
| Case Banggai<br><i>Non-<br/>Transshipment</i> | Heading (°) | Latitude (°) | Longitude (°) | Kecepatan<br>(m/s) | Waktu  |
|---|-------------|--------------|---------------|--------------------|--------|
| Kapal 1                                       | 47          | 0.173795     | 125.2861      | 3.8291068          | 80 min |
| Kapal 2                                       | 237         | 0.408962     | 125.0391      | 1.8805399          |        |
| selisih                                       | 190         | 2122.152018  |               | 1.9485669          |        |



**Gambar 3.4** Trayektori Kapal 1 dan Kapal 2 Skenario 1b Tidak Melakukan *Transshipment* di Perairan Banggai

### 3.4 Pemodelan Sistem identifikasi IUU *Transshipment*

Sistem identifikasi IUU *transshipment* pada penelitian ini memiliki 10 variabel masukan data AIS seperti pada Gambar 3.5. Masukan sistem identifikasi IUU *transshipment* terdiri dari *longitude* kapal 1 ( $X_1$ ), *longitude* kapal 2 ( $X_2$ ), *latitude* kapal 1 ( $Y_1$ ), *latitude* kapal 2 ( $Y_2$ ), kecepatan kapal 1 ( $V_1$ ), kecepatan kapal 2 ( $V_2$ ), *heading* kapal 1 ( $\Psi_1$ ), *heading* kapal 2 ( $\Psi_2$ ), waktu kapal 1 ( $T_1$ ), dan waktu kapal 2 ( $T_2$ ).

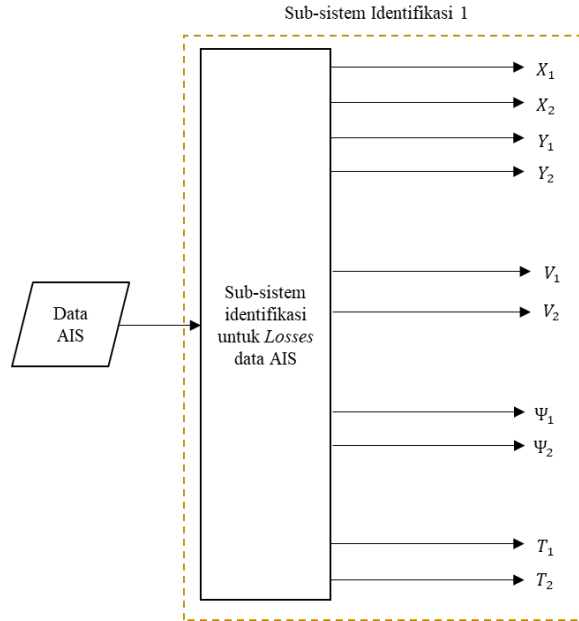


**Gambar 3.5** Diagram Blok Sistem Identifikasi IUU *Transshipment* Secara Keseluruhan

### 3.5 Pemodelan Sub-sistem Identifikasi 1 untuk *Losses Data AIS*

Perancangan sub-sistem identifikasi 1 berfungsi untuk memprediksi data AIS kapal terduga pelaku IUU *transshipment* apakah terdapat data-data yang hilang atau *losses data*

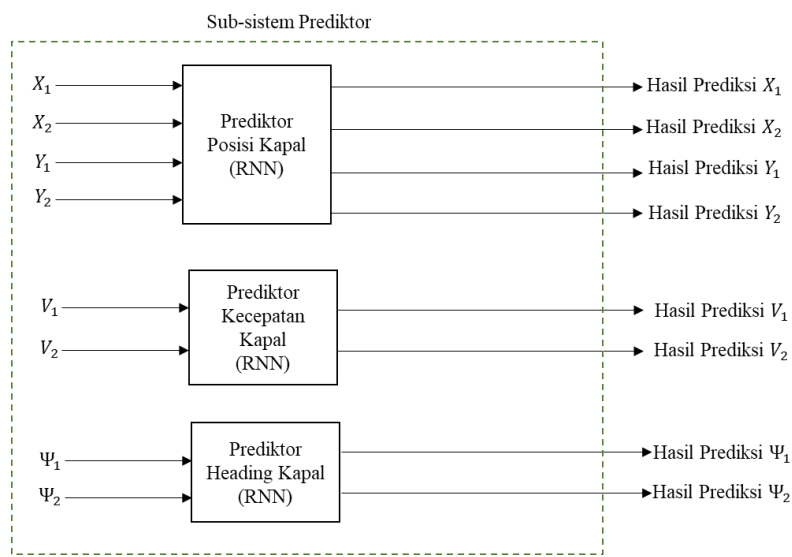
pada saat awak kapal mematikan sistem AIS kapalnya. Sub-sistem ini menggunakan logika *if-else statement*.



**Gambar 3.6** Sub-sistem Identifikasi 1 untuk Memprediksi *Losses* Data pada Data AIS

### 3.6 Pemodelan Sub-sistem Prediktor dengan Metode RNN

Perancangan sub-sistem prediktor berfungsi untuk memprediksi data AIS kapal terduga pelaku IUU *transshipment* apakah terdapat data-data yang hilang atau *losses* data yang terdeteksi pada sub-sistem identifikasi 1. Sub sistem prediktor terdiri dari prediktor posisi kapal, kecepatan kapal, dan heading kapal. Sub sistem prediktor ini dirancang menggunakan metode *Recurrent Neural Network* (RNN). Diagram blok sub-sistem prediktor pada penelitian ini dapat dilihat pada Gambar 3.7.



**Gambar 3.7** Diagram Blok Sub-sistem Prediktor dengan Menggunakan Metode RNN

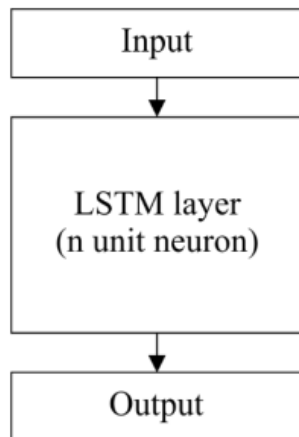
Keterangan notasi input pada sub-sistem prediktor RNN Gambar 3.7 dapat dilihat pada Tabel 3.11.

**Tabel 3.11** Keterangan Notasi *Input* Sub-sistem Prediktor dan Sub-sistem Identifikasi IUU  
*Transshipment*

| Notasi   | Keterangan        | Satuan |
|----------|-------------------|--------|
| $X_1$    | Longitude Kapal 1 | Degree |
| $X_2$    | Longitude Kapal 2 | Degree |
| $Y_1$    | Latitude Kapal 1  | Degree |
| $Y_2$    | Latitude Kapal 2  | Degree |
| $V_1$    | Kecepatan Kapal 1 | Knot   |
| $V_2$    | Kecepatan Kapal 2 | Knot   |
| $\Psi_1$ | Heading Kapal 1   | Degree |
| $\Psi_2$ | Heading Kapal 2   | Degree |
| $T_1$    | Waktu Kapal 1     | Menit  |
| $T_2$    | Waktu Kapal 2     | Menit  |

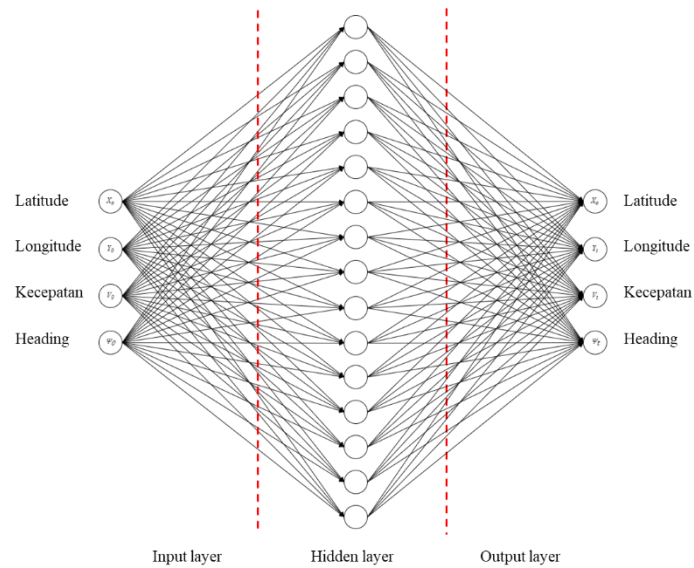
### 3.6.1 Perancangan Model Prediktor RNN untuk Prediksi Data AIS Posisi, Kecepatan, dan Heading Kapal

Model Prediktor RNN untuk prediksi data AIS posisi, kecepatan, dan heading kapal yang dirancang pada penelitian ini terdiri dari 1 *input layer* berisi data AIS, 1 LSTM *layer* dengan variasi seperti pada Tabel 3.12, dan 1 *output layer* berisi hasil prediktor RNN. Rancang model prediktor RNN dapat dilihat pada Gambar 3.8.

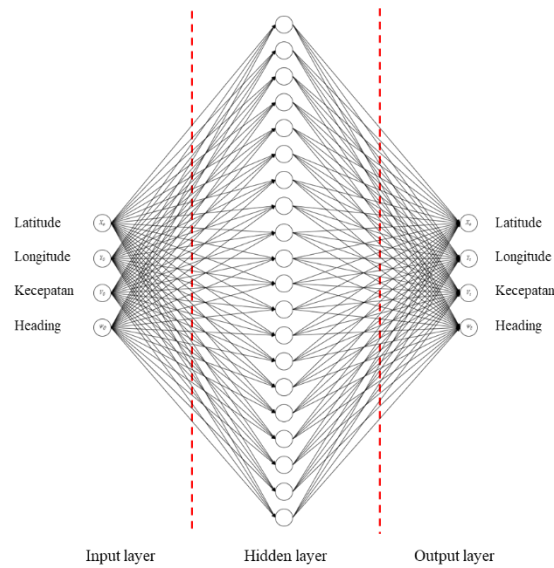


**Gambar 3.8** Rancang Model RNN

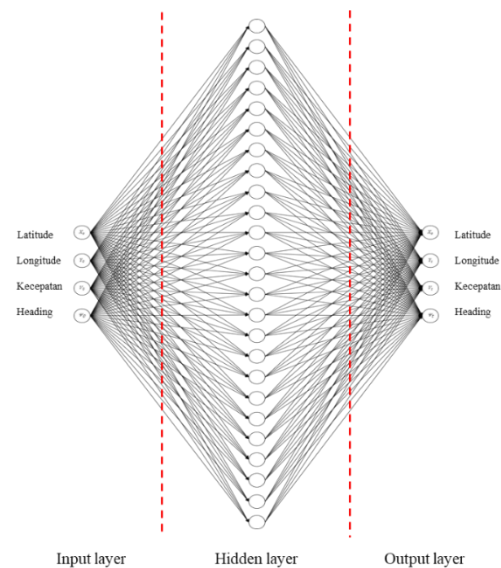
LSTM *layer* memiliki unit neuron berjumlah n, dimana jumlah unit neuron divariasikan dengan beberapa nilai berbeda agar dapat memperoleh hasil prediksi yang terbaik. Arsitektur RNN untuk setiap variasi LSTM *layer* dapat dilihat pada Gambar 3.9 sampai 3.11.



**Gambar 3.9** Arsitektur RNN dengan LSTM *layer* berjumlah 15 *layer*



**Gambar 3.10** Arsitektur RNN dengan LSTM *layer* berjumlah 20 *layer*



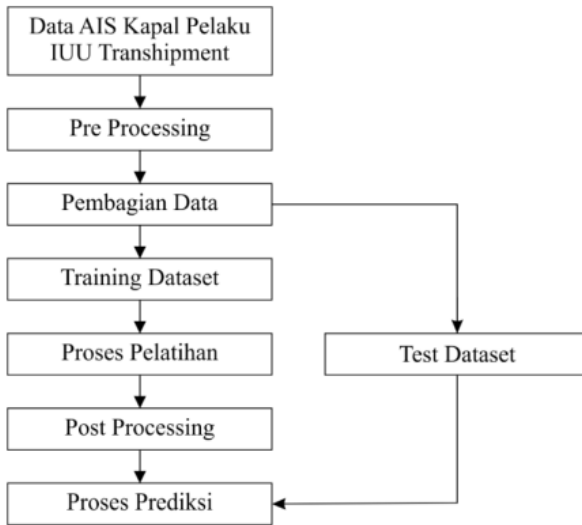
**Gambar 3.11** Arsitektur RNN dengan LSTM *layer* berjumlah 25 *layer*

Variasi terhadap parameter jumlah unit neuron pada LSTM layer dan *batch size* berjumlah 24 variasi, dengan variasi model RNN seperti pada Tabel 3.12. Terdapat 3 variasi jumlah LSTM unit neuron dan 2 variasi *batch size* yang dikombinasikan dengan 1 nilai *learning rate*, dan 1 jumlah *epoch*.

**Tabel 3.12** Variasi pada Model RNN

| No | Variasi Jumlah LSTM Unit | Learning Rate | Batch Size | Epoch |
|----|--------------------------|---------------|------------|-------|
| 1  | 25                       | 0.0005        | 2          | 1000  |
| 2  | 20                       |               |            |       |
| 3  | 15                       |               |            |       |
| 4  | 25                       |               |            |       |
| 5  | 20                       |               |            |       |
| 6  | 15                       |               |            |       |
| 7  | 25                       |               |            |       |
| 8  | 20                       |               |            |       |
| 9  | 15                       |               |            |       |
| 10 | 25                       |               |            |       |
| 11 | 20                       |               |            |       |
| 12 | 15                       |               |            |       |
| 13 | 25                       | 0.0005        | 5          | 1000  |
| 14 | 20                       |               |            |       |
| 15 | 15                       |               |            |       |
| 16 | 25                       |               |            |       |
| 17 | 20                       |               |            |       |
| 18 | 15                       |               |            |       |
| 19 | 25                       |               |            |       |
| 20 | 20                       |               |            |       |
| 21 | 15                       |               |            |       |
| 22 | 25                       |               |            |       |
| 23 | 20                       |               |            |       |
| 24 | 15                       |               |            |       |

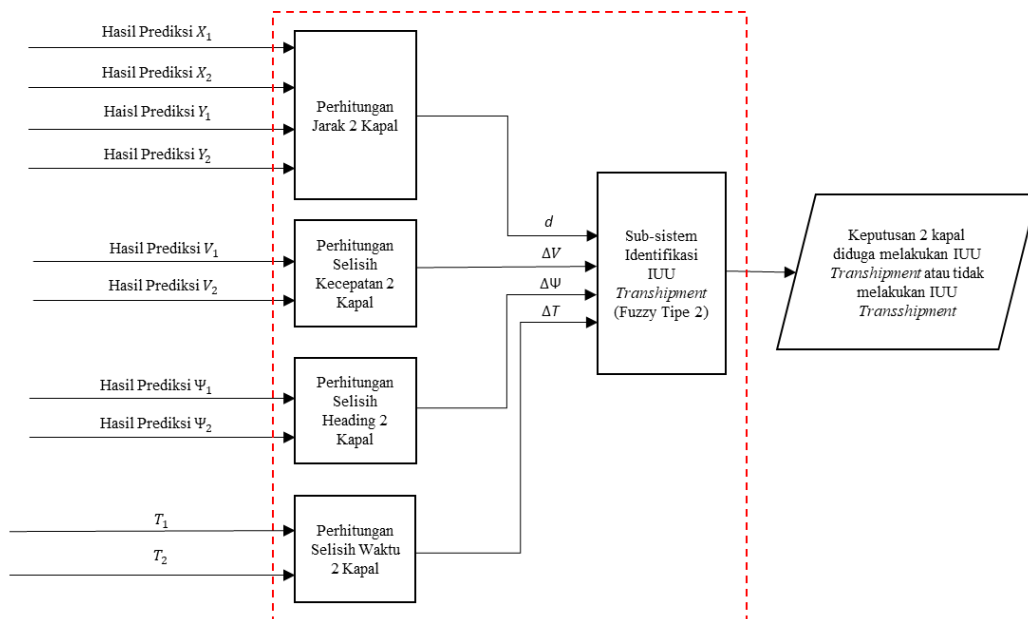
Perancangan model prediktor RNN untuk prediksi data AIS yang hilang berupa posisi kapal, kecepatan kapal, dan heading kapal yang terdiri dari beberapa tahap. Beberapa tahap yang dilakukan seperti *pre-processing*, pembagian data, proses pelatihan, *post-processing*, dan proses prediksi. Tahapan tersebut dapat dilihat pada Gambar 3.12.



**Gambar 3.12** Diagram Alir Rancang Model RNN

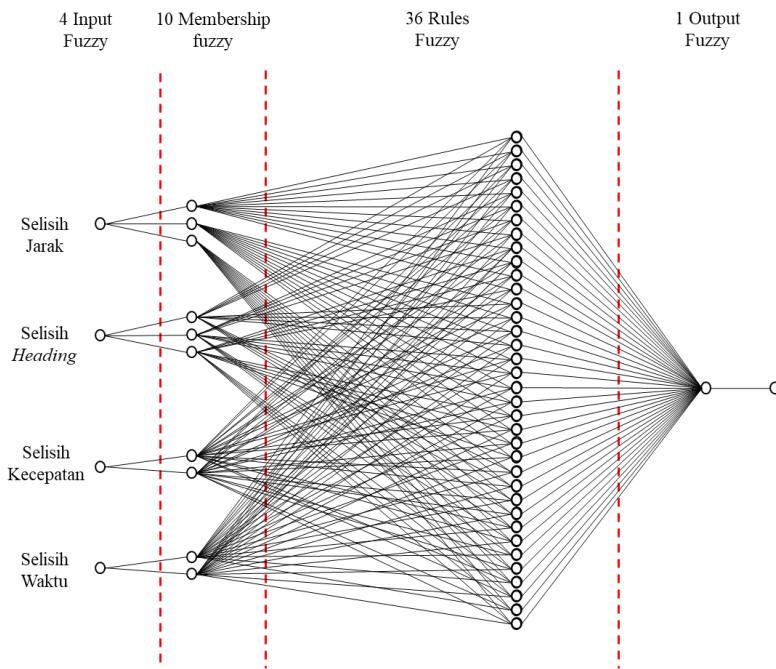
### 3.7 Pemodelan Sub-sistem Identifikasi 2 dengan Metode Logika Fuzzy Tipe 2

Pemodelan sub-sistem identifikasi untuk laporan ini menggunakan sistem logika fuzzy tipe 2. Terdapat tiga tahap pemodelan yang diawali dengan fuzzifikasi yang mengubah himpunan crisp ke dalam bentuk himpunan fuzzy, kemudian terdapat interferensi untuk mengolah data yang masuk, serta defuzzifikasi untuk mengubah kembali himpunan fuzzy ke bentuk himpunan crisp. Diagram blok sub-sistem identifikasi IUU *transshipment* pada penelitian ini dapat dilihat pada Gambar 3.13.



**Gambar 3.13** Diagram Blok Sub-sistem Identifikasi 2 untuk Identifikasi IUU *Transshipment* dengan Menggunakan Logika Fuzzy Tipe 2

Rancang sistem fuzzy terdiri dari 4 variabel input, 10 himpunan keanggotaan, 36 *rules fuzzy*, dan 1 output yang merupakan hasil keputusan *transshipment* atau *non-transshipment*. Adapun arsitektur fuzzy yang digunakan dapat dilihat pada Gambar 3.14.



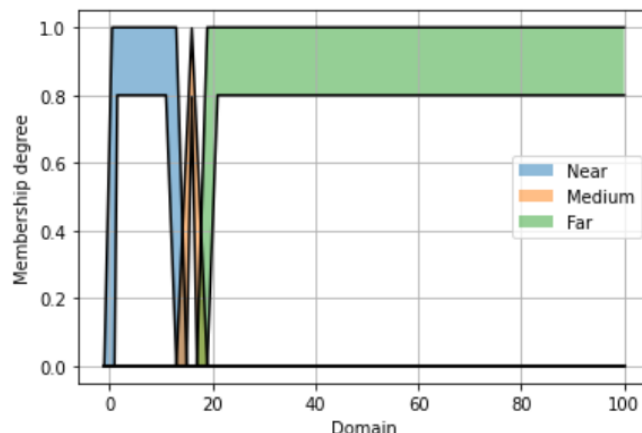
**Gambar 3.14** Arsitektur Fuzzy Tipe 2 untuk Sub-sistem Identifikasi IUU *Transshipment*

Penelitian ini terdapat empat *input* variabel membership fuzzy yang meliputi selisih jarak, selisih heading, selisih kecepatan, dan selisih waktu berlayarnya kapal, serta terdapat satu *output* variabel membership fuzzy yang menentukan hasil keputusan kapal melakukan *transshipment* atau *non-transshipment*. Variabel *input*, variabel *output*, himpunan keanggotaan, fungsi keanggotaan, serta *membership domain* pada sistem fuzzy tipe 2 yang digunakan dapat dilihat pada Tabel 3.13 dan Gambar 3.15 hingga Gambar 3.18.

**Tabel 3.13** Variabel Input *Membership Fuzzy*

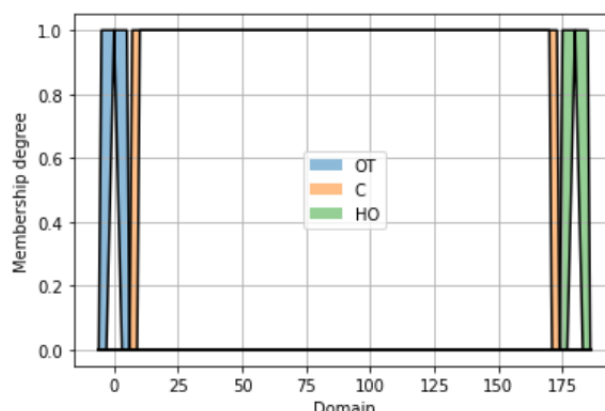
| Variabel       | Himpunan Keanggotaan | Fungsi Keanggotaan | Membership Domain         |
|----------------|----------------------|--------------------|---------------------------|
| Posisi (Jarak) | Near                 | Trapmf UMF         | [-1, 0.5, 13, 15, 1]      |
|                |                      | Trapmf LMF         | [1, 1.5, 11, 13, 0.8]     |
|                | Medium               | Trimf UMF          | [13, 16, 19, 1]           |
|                |                      | Trimf LMF          | [15, 16, 17, 0.8]         |
|                | Far                  | Trapmf UMF         | [17, 19, 2499, 2500, 1]   |
|                |                      | Trapmf LMF         | [19, 21, 2100, 2200, 0.8] |
| Heading        | OT (Over Take)       | Trapmf UMF         | [-6, -5, 5, 6, 1]         |
|                |                      | Trimf LMF          | [-3, 0, 3, 1]             |

| Variabel  | Himpunan Keanggotaan | Fungsi Keanggotaan | Membership Domain         |
|-----------|----------------------|--------------------|---------------------------|
| Kecepatan | C (Crossing)         | Trapmf UMF         | [6, 7, 173, 174, 1]       |
|           |                      | Trapmf LMF         | [9, 10, 170, 171, 1]      |
|           | HO (Head On)         | Trapmf UMF         | [174, 175, 185, 191, 1]   |
|           |                      | Trimf LMF          | [177, 180, 183, 1]        |
| Waktu     | Small                | Trapmf UMF         | [0, 0.1, 0.5, 0.6, 1]     |
|           |                      | Trimf LMF          | [0.1, 0.3, 0.5, 1]        |
|           | Big                  | Trapmf UMF         | [0.5, 4, 4.99, 6, 1]      |
|           |                      | Trimf LMF          | [0.55, 5, 5.5, 1]         |
|           | Short                | Trapmf UMF         | [0, 0.1, 59.9, 60, 1]     |
|           |                      | Trimf LMF          | [20, 30, 40, 1]           |
|           | Long                 | Trapmf UMF         | [59.5, 90, 119.9, 120, 1] |
|           |                      | Trimf LMF          | [70, 100, 110, 1]         |



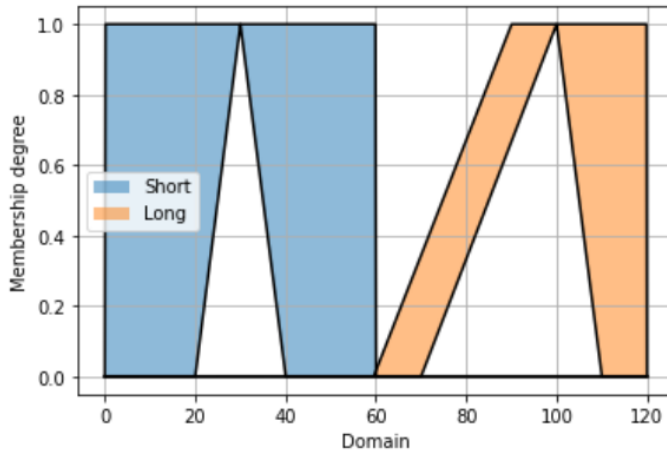
Gambar 3.15 Membership Fuzzy Selisih Jarak

Terdapat tiga himpunan keanggotaan *membership fuzzy* selisih jarak pada Gambar 3.15 yaitu *near*, *medium*, dan *far*. Digunakan bentuk fungsi keanggotaan gabungan yaitu trapesium dan segitiga. Himpunan keanggotaan *near* dan *far* menggunakan UMF dan LMF berbentuk trapesium dan himpunan keanggotaan *medium* menggunakan UMF dan LMF berbentuk segitiga.



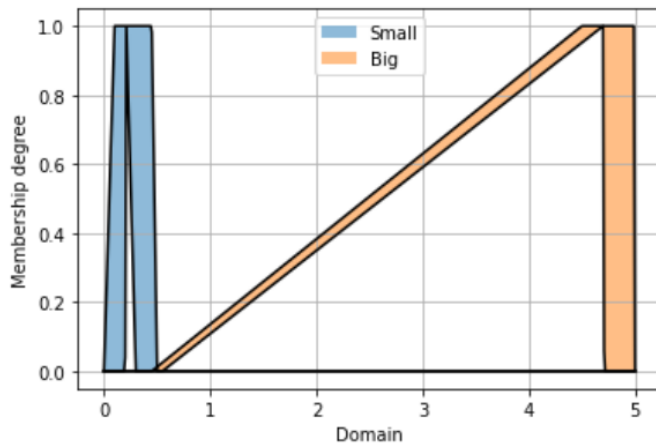
Gambar 3.16 Membership Fuzzy Selisih Heading

*Membership fuzzy selisih heading* pada Gambar 3.16 memiliki tiga himpunan keanggotaan yaitu OT, C, dan HO. Pada *membership fuzzy selisih heading* digunakan bentuk fungsi keanggotaan gabungan yaitu trapesium dan segitiga. Himpunan keanggotaan OT untuk *overtake* dan HO untuk *head on* menggunakan UMF berbentuk trapesium dan LMF berbentuk segitiga, serta himpunan keanggotaan C untuk *crossing* menggunakan UMF dan LMF berbentuk trapesium.



**Gambar 3.17 Membership Fuzzy Selisih Kecepatan**

Terdapat dua himpunan keanggotaan *membership fuzzy* selisih kecepatan pada Gambar 3.17 yaitu *short* dan *long*. Pada *membership fuzzy* selisih kecepatan digunakan bentuk fungsi keanggotaan gabungan yaitu trapesium dan segitiga. Himpunan keanggotaan *short* dan *long* menggunakan UMF berbentuk trapesium dan LMF berbentuk segitiga.

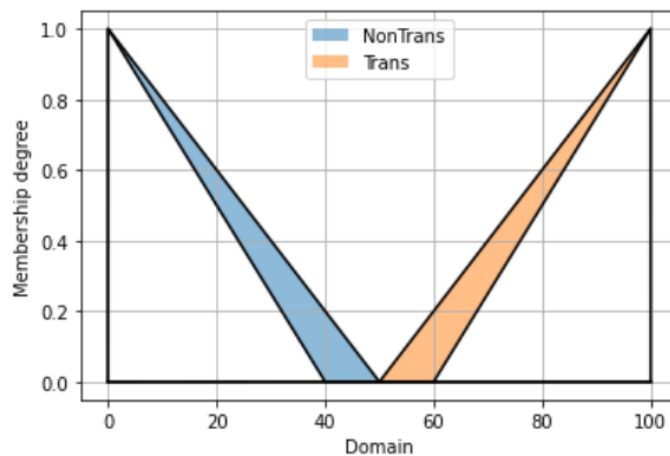


**Gambar 3.18 Membership Fuzzy Selisih Waktu**

*Membership fuzzy* selisih waktu pada Gambar 3.18 memiliki dua himpunan keanggotaan yaitu *small* dan *big*. Pada *membership fuzzy* selisih waktu digunakan bentuk fungsi keanggotaan gabungan yaitu trapesium dan segitiga. Himpunan keanggotaan *small* dan *big* menggunakan UMF berbentuk trapesium dan LMF berbentuk segitiga.

**Tabel 3.14** Variabel Output *Membership Fuzzy*

| Himpunan Keanggotaan                             | Fungsi Keanggotaan | <i>Membership Domain</i> |
|--|--------------------|--------------------------|
| NonTrans (Tidak melakukan <i>transshipment</i> ) | Trimf UMF          | [0, 0.01, 50, 1]         |
|  | Trimf LMF          | [0, 0.01, 40, 1]         |
| Trans (Melakukan <i>transshipment</i> )          | Trimf UMF          | [50, 99.99, 100, 1]      |
|  | Trimf LMF          | [60, 99.99, 99, 1]       |

**Gambar 3.19** *Membership Fuzzy Output*

Terdapat dua himpunan keanggotaan *membership fuzzy output* pada Gambar 3.19 yaitu *nontrans* dan *trans*. Digunakan satu bentuk fungsi keanggotaan segitiga. Himpunan keanggotaan *nontrans* dan *trans* menggunakan UMF dan LMF berbentuk segitiga.

Berdasarkan empat variabel *input fuzzy* dan 10 *membership fuzzy* yang telah ditentukan dapat dibuat menjadi 36 *rules fuzzy*. Terdapat 30 *rules* dengan *output NO* yang berarti *non-transshipment* atau tidak termasuk melakukan *transshipment* dan 6 bagian lainnya dengan *output YES* yang berarti *transshipment* atau terduga melakukan *transshipment*. Keterangan lengkap mengenai *rules fuzzy* dapat dilihat pada Tabel 3.15.

**Tabel 3.15** *Rules* dari *Membership Fuzzy*

| Variabel Input Membership Fuzzy |             | delt Short | delt Long |
|---------------------------------|-------------|------------|-----------|
| delD Near                       | delHead OT  | delV Small | NO        |
|                                 |             | delV Big   | NO        |
|                                 | dealHead C  | delV Small | NO        |
|                                 |             | delV Big   | NO        |
|                                 | dealHead HO | delV Small | NO        |
|                                 |             | delV Big   | NO        |
| delD Medium                     | delHead OT  | delV Small | NO        |
|                                 |             | delV Big   | NO        |
|                                 | dealHead C  | delV Small | NO        |

| Variabel Input Membership Fuzzy |             |            | delT Short | delT Long |
|---------------------------------|-------------|------------|------------|-----------|
| dealHead HO                     | delV Big    |            | NO         | NO        |
|                                 | delV Small  |            | NO         | YES       |
|                                 | delV Big    |            | NO         | NO        |
| delD Far                        | delHead OT  | delV Small | NO         | NO        |
|                                 |             | delV Big   | NO         | NO        |
|                                 | dealHead C  | delV Small | NO         | NO        |
|                                 |             | delV Big   | NO         | NO        |
|                                 | dealHead HO | delV Small | NO         | NO        |
|                                 |             | delV Big   | NO         | NO        |

### 3.8 Uji Korelasi Data

Berdasarkan data yang telah diperoleh dilakukan uji korelasi data untuk fuzzy *decision* IUU *transshipment* yang meliputi variabel masukan selisih jarak antara 2 kapal, selisih kecepatan, selisih heading, dan selisih waktu berlayar dari kedua kapal terduga melakukan *transshipment* atau tidak melakukan *transshipment*. Selanjutnya *output* dari kedua data tersebut adalah pengambilan keputusan diduga melakukan IUU *transshipment* atau tidak melakukan praktik ilegal tersebut sama sekali.

### 3.9 Analisis dan Validasi Data

Analisis dan validasi data dilakukan untuk menguji apakah sistem yang telah dirancang sudah valid atau sesuai dengan keadaan riil sebenarnya atau harus dilakukan percobaan ulang. Pada akhir keputusan fuzzy akan didapati hasil keputusan fuzzy untuk identifikasi terjadinya IUU *transshipment*. Jika hasil keputusan fuzzy menunjukkan nilai lebih dari 50% maka dapat dikatakan adanya indikasi terjadinya ilegal *transshipment*. Namun apabila hasil keputusan fuzzy menunjukkan nilai kurang dari 50% maka dapat dikatakan tidak ada aktivitas ilegal yang terdeteksi. Pada uji validasi sistem digunakan data *raw AIS* dari empat kapal tidak terduga melakukan *transshipment* yang diperoleh dari *Marine Reliability and Safety Laboratory* milik AIS ITS, Teknik Sistem Perkapalan ITS. Data kapal yang digunakan merupakan kapal dengan nomor MMSI 525003337, 525008119, 440197000, dan 525003396. Seluruh data kapal merupakan kapal yang berlayar di perairan Surabaya tepatnya pada daerah Teluk Lamong pada tanggal 19 November 2015. Keterangan dan kelengkapan *raw data AIS* dari kapal bermotor MMSI 525003337 dan 525008119 dapat dilihat pada Tabel 3.16 dan Tabel 3.17 serta pada lampiran laporan.

**Tabel 3.16** Raw Data AIS Kapal Bernomor MMSI 525003337

| MMSI      | Latitude (°) | Longitude (°) | Status Navigasi | ROT  | SOG  | COG   | Heading | Data UTC | Time     |
|-----------|--------------|---------------|-----------------|------|------|-------|---------|----------|----------|
| 525003337 | -7.19657     | 112.731       | 8               | -128 | 0    | 167.4 | 511     | 58       | 00:00:01 |
| 525003337 | -7.19657     | 112.731       | 8               | -128 | 0    | 167.4 | 511     | 8        | 00:00:10 |
| 525003337 | -7.19657     | 112.731       | 8               | -128 | 0    | 167.4 | 511     | 17       | 00:00:20 |
| 525003337 | -7.19657     | 112.731       | 8               | -128 | 0    | 167.4 | 511     | 28       | 00:00:31 |
| 525003337 | -7.19657     | 112.731       | 8               | -128 | 0    | 167.4 | 511     | 38       | 00:00:40 |
| 525003337 | -7.19657     | 112.731       | 8               | -128 | 0    | 167.4 | 511     | 58       | 00:01:01 |
| 525003337 | -7.19657     | 112.731       | 8               | -128 | 0    | 167.4 | 511     | 8        | 00:01:10 |
| 525003337 | -7.19657     | 112.731       | 8               | -128 | 0    | 167.4 | 511     | 17       | 00:01:19 |
| ...       | ...          | ...           | ...             | ...  | ...  | ...   | ...     | ...      | ...      |
| 525003337 | -7.0521      | 112.6639      | 8               | -128 | 10   | 0.4   | 511     | 7        | 20:54:10 |
| 525003337 | -7.05163     | 112.664       | 8               | -128 | 10   | 1.9   | 511     | 17       | 20:54:21 |
| 525003337 | -7.05113     | 112.664       | 8               | -128 | 9.9  | 4     | 511     | 28       | 20:54:33 |
| 525003337 | -7.05032     | 112.6641      | 8               | -128 | 9.8  | 5.5   | 511     | 46       | 20:54:52 |
| 525003337 | -7.04755     | 112.6645      | 8               | -128 | 9.8  | 10    | 511     | 47       | 20:55:49 |
| 525003337 | -7.01502     | 112.6769      | 8               | -128 | 10.4 | 20.8  | 511     | 57       | 21:08:00 |

**Tabel 3.17** Raw Data AIS Kapal Bernomor MMSI 525008119

| MMSI      | Latitude (°) | Longitude (°) | Status Navigasi | ROT | SOG  | COG   | Heading | Data UTC | Time     |
|-----------|--------------|---------------|-----------------|-----|------|-------|---------|----------|----------|
| 525008119 | -7.0051      | 112.6817      | 0               | 0   | 11.2 | 209.4 | 205     | 4        | 15:18:04 |
| 525008119 | -7.01253     | 112.6776      | 0               | 0   | 11.4 | 208.5 | 205     | 44       | 15:20:45 |
| 525008119 | -7.01347     | 112.6771      | 0               | 0   | 11.5 | 208.6 | 205     | 4        | 15:21:06 |
| 525008119 | -7.02566     | 112.6714      | 0               | 0   | 11.7 | 202.3 | 200     | 14       | 15:25:14 |
| 525008119 | -7.02611     | 112.6712      | 0               | 0   | 11.7 | 202.6 | 201     | 23       | 15:25:22 |
| 525008119 | -7.02716     | 112.6708      | 0               | 0   | 11.7 | 203.1 | 200     | 44       | 15:25:44 |
| 525008119 | -7.02762     | 112.6706      | 0               | 0   | 11.7 | 202.9 | 200     | 53       | 15:25:55 |
| 525008119 | -7.03327     | 112.6686      | 0               | 0   | 11.6 | 194.4 | 190     | 44       | 15:27:45 |
| 525008119 | -7.03427     | 112.6683      | 0               | 0   | 11.6 | 193.6 | 190     | 3        | 15:28:04 |
| ..        | ...          | ...           | ...             | ... | ...  | ...   | ...     | ...      | ...      |
| 525008119 | -7.19399     | 112.7447      | 0               | 0   | 0    | 228.3 | 258     | 15       | 23:59:16 |
| 525008119 | -7.19399     | 112.7447      | 0               | 0   | 0    | 228.3 | 258     | 24       | 23:59:24 |
| 525008119 | -7.19398     | 112.7448      | 0               | 0   | 0    | 228.3 | 258     | 33       | 23:59:33 |
| 525008119 | -7.19397     | 112.7448      | 0               | 0   | 0    | 228.3 | 258     | 44       | 23:59:47 |
| 525008119 | -7.19399     | 112.7447      | 0               | 0   | 0    | 228.3 | 258     | 53       | 23:59:54 |

Trayektori skenario dari pembangkitan data *marinetraffic.com* dan *Google Earth* serta raw data AIS selanjutnya akan diberi sebutan seperti pada Tabel 3.18.

**Tabel 3.18** Keterangan Nama dari Data Skenario Kapal yang Digunakan pada Penelitian

| No | Sebutan untuk Setiap Data Skenario | Keterangan Data   | Letak Kapal                      | Skenario                               |
|----|------------------------------------|---|----------------------------------|--|
| 1  | Skenario 1.1a                      | Data hasil pembangkitan dengan <i>marinetraffic.com</i> dan <i>Google Earth</i>     | Perairan Banggai-Halmahera       | Terduga melakukan <i>transshipment</i> |
| 2  | Skenario 1.2a                      | Data hasil pembangkitan dengan <i>marinetraffic.com</i> dan <i>Google Earth</i>     | Perairan Banggai-Halmahera       | Terduga melakukan <i>transshipment</i> |
| 3  | Skenario 1b                        | Data hasil pembangkitan dengan <i>marinetraffic.com</i> dan <i>Google Earth</i>     | Perairan Banggai                 | Tidak melakukan <i>transshipment</i>   |
| 4  | Skenario 2.1b                      | <i>Raw</i> data AIS kapal bernomor MMSI 440197000 dan kapal bernomor MMSI 525003396 | Perairan Surabaya (Teluk Lamong) | Tidak melakukan <i>transshipment</i>   |
| 5  | Skenario 2.2b                      | <i>Raw</i> data AIS kapal bernomor MMSI 525003337 dan kapal bernomor MMSI 525008119 | Perairan Surabaya (Teluk Lamong) | Tidak melakukan <i>transshipment</i>   |

Angka satu menunjukkan data hasil dari pembangkitan data AIS dengan *marinetraffic.com* dan *Google Earth*. Angka dua menunjukkan data yang berasal dari *raw* data AIS *Marine Reliability and Safety Laboratory*. Huruf a menunjukkan skenario terduga melakukan *transshipment* dan huruf b menunjukkan skenario tidak melakukan *transshipment*.

### 3.10 Penyusunan Laporan

Proses penyusunan laporan akan dicantumkan semua proses penelitian ini dari tahap-tahap yang dilakukan baik berupa tulisan maupun dokumentasi hasil penelitian serta kesimpulan yang diperoleh dari penelitian.

## **BAB IV**

### **HASIL DAN PEMBAHASAN**

Pada bab ini akan dijelaskan mengenai hasil dan pembahasan terkait sub-sistem prediktor *losses data* untuk mencari jumlah waktu dari data AIS kapal yang hilang, sub-sistem prediktor RNN beserta hasil simulasi, dan hasil serta pembahasan terkait perancangan sub-sistem identifikasi.

#### **4.1 Hasil Simulasi Sub-sistem Identifikasi *Losses Data* untuk Prediksi Jumlah Waktu Data AIS yang Hilang**

Simulasi untuk prediksi *losses data* AIS menggunakan *if-else statement* dimana logika sistem bekerja secara pengurangan berlanjut dengan setiap baris kedua akan dikurangi dengan baris sebelumnya pada kolom ‘waktu’ masing-masing data secara *looping* sehingga sistem dapat menemukan adanya selisih waktu yang mencapai atau melebihi rata-rata minimal durasi pelaksanaan *transshipment* yaitu 3600 detik atau 1 jam. Pada sub-sistem prediktor ini diberikan lima input data AIS dengan tiga data tidak memiliki *losses data* dan dua data memiliki *losses data*. Hasil percobaan sub-sistem *losses data* dapat dilihat pada Tabel 4.1.

**Tabel 4.1** Hasil Prediksi Jumlah Waktu Data AIS yang Hilang

| No | Data       | Lama Waktu Data AIS Tercatat | Lama Waktu Data AIS Hilang Tercatat (detik) | Lama Waktu Data AIS Hilang Tercatat |
|----|------------|------------------------------|---|-------------------------------------|
| 1  | Siskal2    | 23 jam 59 menit              | 0   | 0                                   |
| 2  | Siskal3    | 23 jam 59 menit              | 0   | 0                                   |
| 3  | Siskal4    | 15 jam 51 menit              | 0   | 0                                   |
| 4  | Loss Data1 | 21 jam 8 menit               | 9.802                                       | 2 jam 42 menit                      |
| 5  | Loss Data2 | 23 jam 59 menit              | 15.448                                      | 4 jam 29 menit                      |

#### **4.2 Hasil Simulasi Sub-sistem Prediktor RNN**

##### **4.2.1 Hasil Prediksi Posisi Menggunakan Titik *Latitude* dan *Longitude* Kapal**

Pada proses simulasi model prediktor RNN untuk prediksi posisi latitude dan longitude kapal, dilakukan dengan percobaan terhadap beberapa kombinasi parameter untuk mendapatkan kombinasi parameter yang menghasilkan performa terbaik. Parameter yang digunakan meliputi jumlah LSTM *layers*, jumlah unit neuron pada LSTM *layers*, nilai *learning rate*, *batch size*, dan *epoch*. Parameter unit neuron pada LSTM *layers* dikombinasikan sebanyak 3 kombinasi. Selain itu, input layer dan output layer adalah lapisan

padat atau *dense layer* (terhubung sepenuhnya). *Loss function* yang digunakan berupa *Root Mean Squared Error* (RMSE) serta optimizer yang digunakan adalah *Adaptive Moment Estimation* (Adam). Berikut adalah kombinasi parameter yang diuji coba dan hasil dari uji coba sistem dapat dilihat pada Tabel 4.2.

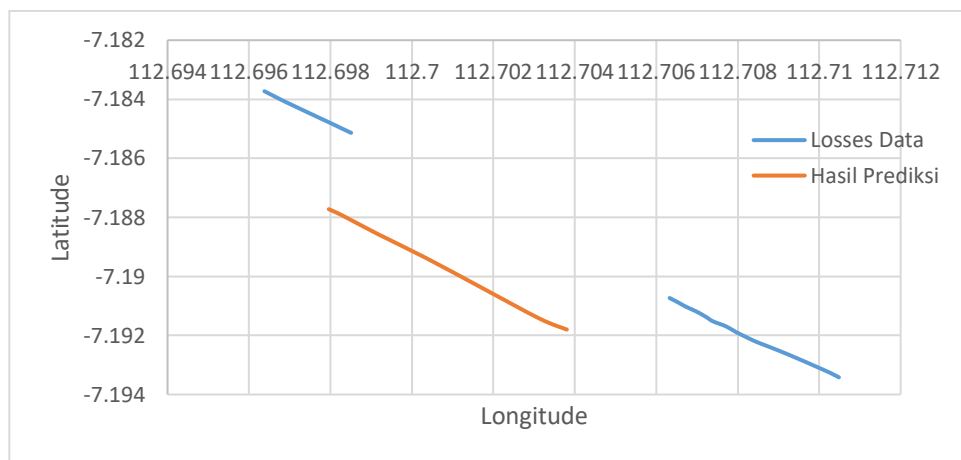
- Jumlah LSTM layers: 1
- Jumlah unit neuron pada LSTM *layers*: 15, 20, dan 25
- Nilai learning rate: 0.005
- Batch size: 2 dan 5
- Epoch: 1000

**Tabel 4.2** Hasil RMSE Sub-sistem Prediktor RNN untuk Posisi Titik *Latitude* dan *Longitude*

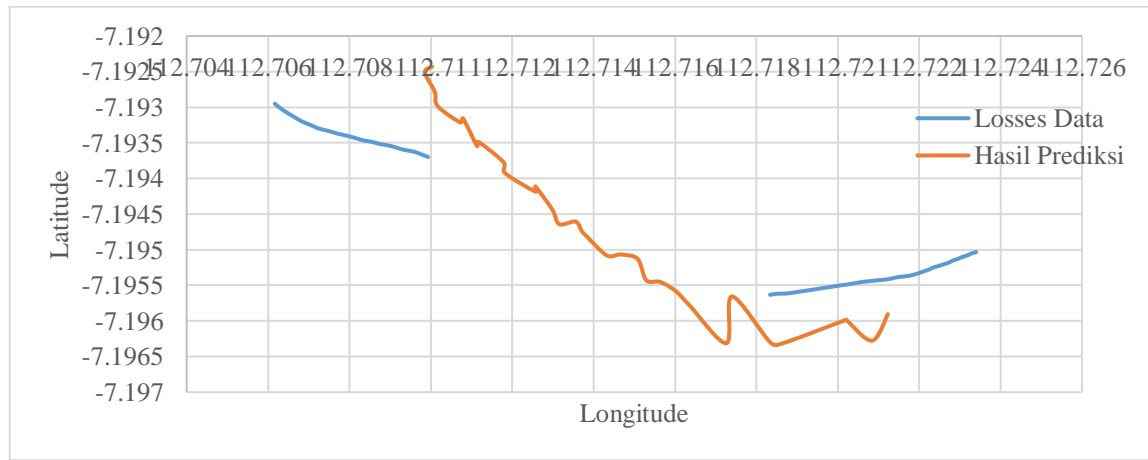
| Data           | Variasi Jumlah<br>LSTM Unit | Learning<br>Rate | Batch<br>Size | Epoch | Hasil RMSE |           |
|----------------|-----------------------------|------------------|---------------|-------|------------|-----------|
|                |                             |                  |               |       | Latitude   | Longitude |
| Siskal1        | 25                          | 0.0005           | 2             | 1000  | 0.0007     | 0.0003    |
|                | 20                          |                  |               |       | 0.0004     | 0.0003    |
|                | 15                          |                  |               |       | 0.0002     | 0.0002    |
| Siskal2        | 25                          | 0.0005           | 2             | 1000  | 0.0045     | 0.0042    |
|                | 20                          |                  |               |       | 0.0049     | 0.0049    |
|                | 15                          |                  |               |       | 0.0058     | 0.0063    |
| Siskal3        | 25                          | 0.0005           | 2             | 1000  | 0.0217     | 0.0204    |
|                | 20                          |                  |               |       | 0.0196     | 0.0145    |
|                | 15                          |                  |               |       | 0.0017     | 0.0092    |
| Siskal4        | 25                          | 0.0005           | 2             | 1000  | 0.0011     | 0.0009    |
|                | 20                          |                  |               |       | 0.0003     | 0.0004    |
|                | 15                          |                  |               |       | 0.0008     | 0.0022    |
| Siskal1        | 25                          | 0.0005           | 5             | 1000  | 0.0003     | 0.0007    |
|                | 20                          |                  |               |       | 0.0002     | 0.0003    |
|                | 15                          |                  |               |       | 0.002      | 7.9392    |
| Siskal2        | 25                          | 0.0005           | 5             | 1000  | 0.0037     | 0.0043    |
|                | 20                          |                  |               |       | 0.0054     | 0.0061    |
|                | 15                          |                  |               |       | 0.0049     | 0.006     |
| Siskal3        | 25                          | 0.0005           | 5             | 1000  | 0.0012     | 0.0054    |
|                | 20                          |                  |               |       | 0.0032     | 0.006     |
|                | 15                          |                  |               |       | 0.002      | 0.0091    |
| Siskal4        | 25                          | 0.0005           | 5             | 1000  | 0.0006     | 0.0012    |
|                | 20                          |                  |               |       | 0.0005     | 0.0004    |
|                | 15                          |                  |               |       | 0.0015     | 0.0011    |
| Nilai Terkecil |                             |                  |               |       | 0.0002     | 0.0002    |

Tabel 4.2 menunjukkan bahwa hasil RMSE terbaik untuk prediksi posisi kapal berdasarkan titik *latitude* dan *longitude* kapal berada pada variasi jumlah LSTM unit 15 dengan 2 *batch size*. Kemudian diketahui bahwa untuk mendapat performansi terbaik tersebut digunakan parameter LSTM unit 15, *learning rate* 0.0005, *batch size* berjumlah 2, dan *epoch* berjumlah 1000 sehingga menghasilkan nilai RMSE terkecil yaitu 0.0002 untuk masing-masing titik *latitude* dan *longitude*.

Prediksi data dilakukan untuk data AIS yang hilang pada sub-sistem identifikasi *losses* data. Skenario data hilang pada kedua data diletakkan pada garis hijau (data aktual) di dalam kotak ungu. Garis merah merupakan hasil prediktor untuk trayektori yang hilang.



**Gambar 4.1** Hasil Prediksi Trayektori pada Data AIS yang Hilang untuk *Losses Data1*



**Gambar 4.2** Hasil Prediksi Trayektori pada Data AIS yang Hilang untuk *Losses Data2*

Dapat dilihat pada Gambar 4.1 dan Gambar 4.2, hasil prediksi data AIS yang hilang dapat digambarkan oleh sistem RNN yang telah dirancang. Setelah dilakukan percobaan dengan beberapa *input* data lainnya, didapati sistem ini tidak dapat bekerja pada saat pasangan data tidak lengkap seperti saat data *heading* bernilai 0 ketika data *latitude*, *longitude*, dan

kecepatan terdeteksi bernilai, namun dapat bekerja dengan baik pada data yang tidak lengkap sama sekali seperti data yang hilang atau *losses data*.

#### 4.2.2 Hasil Prediksi Kecepatan Kapal

Proses simulasi model prediktor RNN untuk prediksi kecepatan kapal dilakukan dengan percobaan terhadap beberapa kombinasi parameter untuk mendapatkan kombinasi parameter yang menghasilkan performa terbaik. Parameter yang digunakan meliputi jumlah LSTM *layers*, jumlah unit neuron pada LSTM *layers*, nilai *learning rate*, *batch size*, dan *epoch*. Parameter unit neuron pada LSTM *layers* dikombinasikan sebanyak 3 kombinasi. Selain itu, input layer dan output layer adalah lapisan padat atau *dense layer* (terhubung sepenuhnya). *Loss function* yang digunakan berupa *Root Mean Squared Error* (RMSE) serta optimizer yang digunakan adalah *Adaptive Moment Estimation* (Adam). Berikut adalah kombinasi parameter yang diuji coba dan hasil dari uji coba sistem dapat dilihat pada Tabel 4.3.

- Jumlah LSTM layers: 1
- Jumlah unit neuron pada LSTM *layers*: 15, 20, dan 25
- Nilai learning rate: 0.005
- Batch size: 2 dan 5
- Epoch: 1000

**Tabel 4.3** Hasil RMSE Sub-sistem Prediktor RNN untuk Kecepatan

| Data    | Variansi Jumlah<br>LSTM Unit | Learning<br>Rate | Batch<br>Size | Epoch | Hasil RMSE |
|---------|------------------------------|------------------|---------------|-------|------------|
|         |                              |                  |               |       | Speed      |
| Siskal1 | 25                           | 0.0005           | 2             | 1000  | 0.0789     |
|         | 20                           |                  |               |       | 0.0234     |
|         | 15                           |                  |               |       | 0.0403     |
| Siskal2 | 25                           | 0.0005           | 2             | 1000  | 1.5270     |
|         | 20                           |                  |               |       | 1.5327     |
|         | 15                           |                  |               |       | 1.8869     |
| Siskal3 | 25                           | 0.0005           | 5             | 1000  | 0.8219     |
|         | 20                           |                  |               |       | 6.2421     |
|         | 15                           |                  |               |       | 0.5686     |
| Siskal4 | 25                           | 0.0005           | 5             | 1000  | 0.2395     |
|         | 20                           |                  |               |       | 0.066      |
|         | 15                           |                  |               |       | 0.2202     |
| Siskal1 | 25                           | 0.0005           | 5             | 1000  | 0.0298     |
|         | 20                           |                  |               |       | 0.0611     |

| Data           | Variasi Jumlah LSTM Unit | Learning Rate | Batch Size | Epoch | Hasil RMSE |
|----------------|--------------------------|---------------|------------|-------|------------|
|                |                          |               |            |       | Speed      |
| Siskal2        | 15                       |               |            |       | 0.0403     |
|                | 25                       |               |            |       | 1.3328     |
|                | 20                       |               |            |       | 1.6027     |
| Siskal3        | 15                       |               |            |       | 1.5088     |
|                | 25                       |               |            |       | 0.5816     |
|                | 20                       |               |            |       | 0.4416     |
| Siskal4        | 15                       |               |            |       | 0.497      |
|                | 25                       |               |            |       | 0.1874     |
|                | 20                       |               |            |       | 0.2602     |
| Nilai Terkecil |                          |               |            |       | 0.0234     |

Tabel 4.3 menunjukkan bahwa hasil RMSE terbaik untuk prediksi kecepatan kapal berada pada variasi jumlah LSTM unit 20 yang ditandai dengan warna biru pada data siskal. Diketahui bahwa untuk mendapat performa terbaik tersebut digunakan parameter LSTM unit 20, *learning rate* 0.0005, *batch size* berjumlah 2, dan *epoch* berjumlah 1000 yang menghasilkan nilai RMSE terkecil yaitu 0.0234.

#### 4.2.3 Hasil Prediksi *Heading Kapal*

Proses simulasi model prediktor RNN untuk prediksi heading kapal dilakukan dengan percobaan terhadap beberapa kombinasi parameter untuk mendapatkan kombinasi parameter yang menghasilkan performa terbaik. Parameter yang digunakan meliputi jumlah LSTM *layers*, jumlah unit neuron pada LSTM *layers*, nilai learning rate, *batch size*, dan epoch. Untuk parameter unit neuron pada LSTM *layers* yang dikombinasikan dilakukan percobaan sebanyak 3 kali. Berikut adalah kombinasi parameter yang diuji coba dan hasil dari uji coba sistem dapat dilihat pada Tabel 4.4.

- Jumlah LSTM layers: 1
- Jumlah unit neuron pada LSTM layers: 15, 20, dan 25
- Nilai learning rate: 0.005
- Batch size: 2
- Epoch: 1000

**Tabel 4.4** Hasil RMSE Sub-sistem Prediktor RNN untuk *Heading*

| Data           | Variasi Jumlah LSTM Unit | Learning Rate | Batch Size | Epoch | Hasil RMSE |
|----------------|--------------------------|---------------|------------|-------|------------|
|                |                          |               |            |       | Heading    |
| Siskal1        | 25                       | 0.0005        | 2          | 1000  | 30.6789    |
|                | 20                       |               |            |       | 22.4505    |
|                | 15                       |               |            |       | 26.041     |
| Siskal2        | 25                       |               |            |       | 36.7395    |
|                | 20                       |               |            |       | 37.9537    |
|                | 15                       |               |            |       | 30.0767    |
| Siskal3        | 25                       |               |            |       | 98.2171    |
|                | 20                       |               |            |       | 70.394     |
|                | 15                       |               |            |       | 28.1681    |
| Siskal4        | 25                       |               |            |       | 14.4758    |
|                | 20                       |               |            |       | 13.7305    |
|                | 15                       |               |            |       | 16.9435    |
| Siskal1        | 25                       |               |            |       | 12.8094    |
|                | 20                       |               |            |       | 13.942     |
|                | 15                       |               |            |       | 10.7712    |
| Siskal2        | 25                       |               |            |       | 38.0131    |
|                | 20                       |               |            |       | 26.687     |
|                | 15                       |               |            |       | 37.2867    |
| Siskal3        | 25                       |               |            |       | 43.1188    |
|                | 20                       |               |            |       | 34.4503    |
|                | 15                       |               |            |       | 34.8072    |
| Siskal4        | 25                       |               |            |       | 18.7956    |
|                | 20                       |               |            |       | 13.9248    |
|                | 15                       |               |            |       | 15.3684    |
| Nilai Terkecil |                          |               |            |       | 10.7712    |

Tabel 4.4 menunjukkan bahwa hasil RMSE terbaik untuk prediksi heading kapal berada pada variasi jumlah LSTM unit 15 yang ditandai dengan warna oranye pada data siskal1. Diketahui bahwa untuk mendapat performa terbaik tersebut digunakan parameter LSTM unit

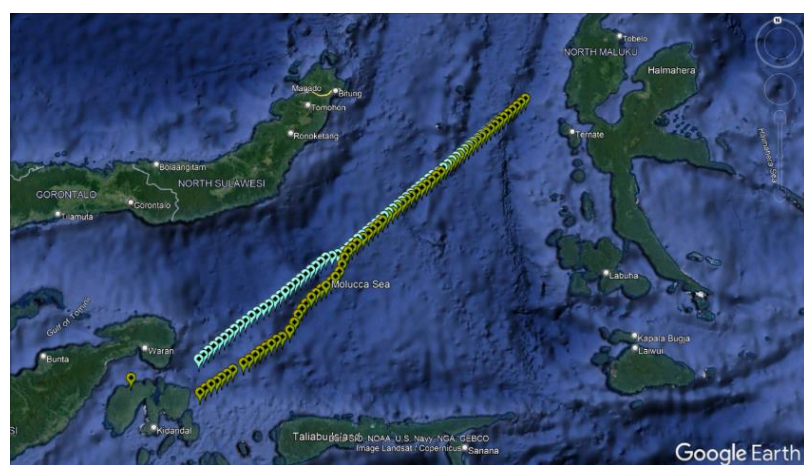
15, *learning rate* 0.0005, *batch size* berjumlah 5, dan *epoch* berjumlah 1000 yang menghasilkan nilai RMSE terkecil 10.7712.

### 4.3 Hasil Simulasi Sub-sistem Identifikasi *Transshipment* dengan Menggunakan Fuzzy Tipe 2

Sub-sistem identifikasi dirancang dengan menggunakan logika fuzzy tipe 2 Mamdani dengan menggunakan algoritma reduksi tipe Karnik-Mendel (KM) dan metode defuzzifikasi *centroid*. Sub-sistem identifikasi *transshipment* yang telah dirancang disimulasikan dengan 2 skenario kapal terduga melakukan *transshipment* dan 1 skenario kapal tidak melakukan *transshipment* serta divalidasi dengan 2 skenario kapal terduga melakukan *transshipment*.

#### 4.4.1 Hasil Simulasi Skenario 1.1a untuk Kapal Terduga Melakukan *Transshipment*

Simulasi pertama dilakukan pembangkitan data kapal dengan skenario terduga melakukan *transshipment* untuk menguji sub-sistem identifikasi. Data input meliputi data *latitude*, *longitude*, *heading*, kecepatan, dan waktu berlayar kapal. Skenario pertama ini diletakkan pada Perairan Banggai-Halmahera. Kapal 1 dengan titik trayektori berwarna biru serta kapal 2 dengan titik trayektori berwarna hijau melintas dari pulau Sulawesi ke pulau Maluku. Kedua kapal bertemu pada titik *latitude* dan *longitude* seperti pada Tabel 3.4 serta dengan selisih *heading* yang tertulis pada Tabel 3.4. Kedua kapal berjalan berdampingan selama kurun waktu 60 menit dengan selisih kecepatan kedua kapal sebesar 0.414 m/s.

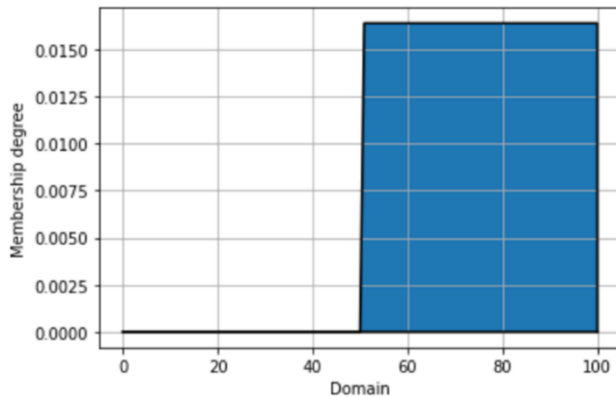


**Gambar 4.3** Trayektori Skenario 1.1a untuk 2 Kapal Terduga Melakukan *Transshipment* di Perairan Banggai-Halmahera



**Gambar 4.4** Titik Temu Terdekat dari 2 Kapal Skenario 1.1a

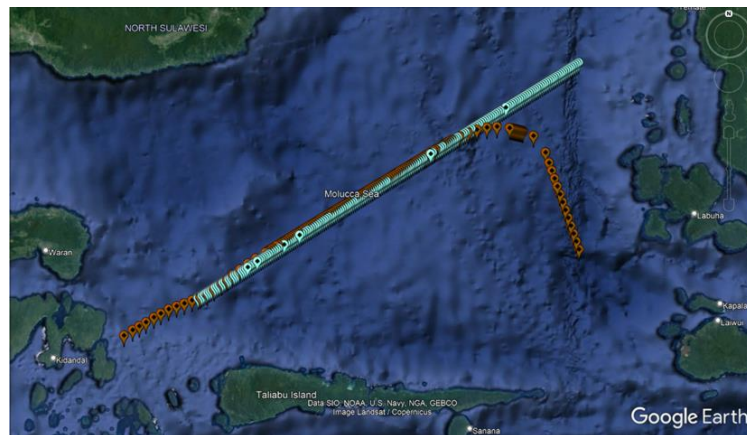
Hasil simulasi pada sub-sistem identifikasi *transshipment* dengan fuzzy tipe 2 untuk skenario 1.1a menghasilkan *output* sebesar 75.05%. Seperti yang dijelaskan pada sub bab 3.9 jika *output* fuzzy  $\geq 50\%$  termasuk dalam kategori terduga melakukan IUU *transshipment* maka Skenario 1.1a terdeteksi terduga melakukan IUU *transshipment*. Hasil simulasi dapat dilihat pada Gambar 4.5.



**Gambar 4.5** Hasil Simulasi Sub-sistem Identifikasi *Transshipment* pada Skenario 1.1a

#### 4.3.1 Hasil Simulasi Skenario 1.2a untuk Kapal Terduga Melakukan *Transshipment*

Pada simulasi kedua dilakukan pembangkitan data kapal dengan skenario terduga melakukan *transshipment* untuk menguji sub-sistem identifikasi. Data input meliputi data *latitude*, *longitude*, *heading*, kecepatan, dan waktu berlayar kapal. Skenario kedua juga diletakkan pada Perairan Banggai-Halmahera. Kapal 1 dengan titik trayektori berwarna biru serta kapal 2 dengan titik trayektori berwarna oranye melintas dari pulau Sulawesi ke pulau Maluku. Kedua kapal bertemu pada titik *latitude* dan *longitude* seperti pada Tabel 3.7 serta dengan selisih *heading* yang tertulis pada Tabel 3.7. Kedua kapal berjalan berdampingan selama kurun waktu 95 menit dengan selisih kecepatan kedua kapal sebesar 0.129 m/s.

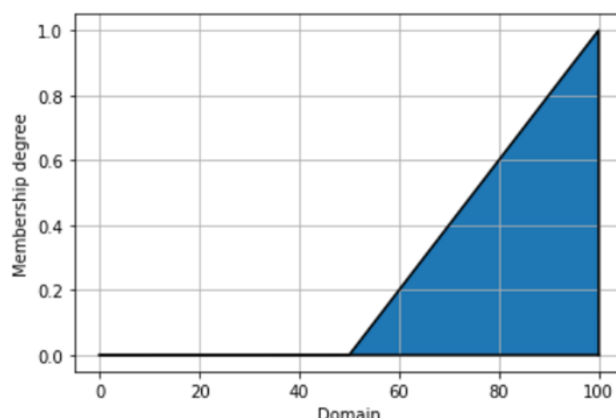


**Gambar 4.6** Trayektori Skenario 1.2a untuk 2 Kapal Terduga Melakukan *Transshipment* di Perairan Banggai-Halmahera



**Gambar 4.7** Titik Temu Terdekat dari 2 Kapal Skenario 1.2a

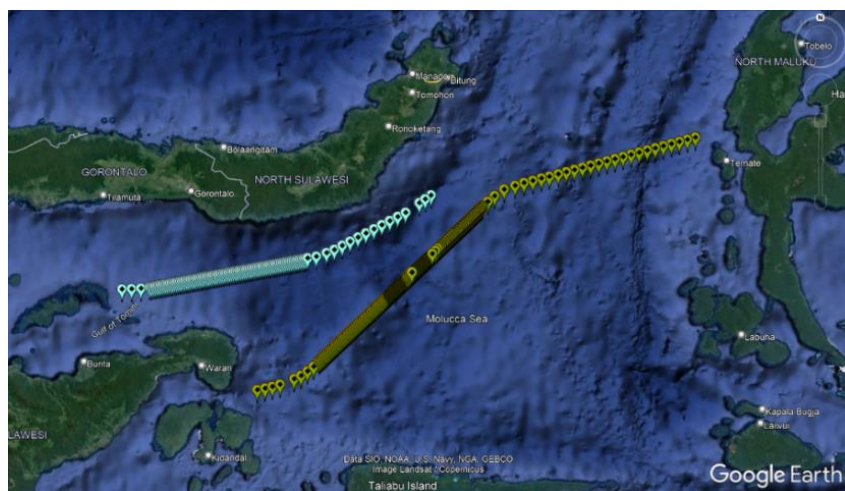
Hasil simulasi pada sub-sistem identifikasi *transshipment* dengan fuzzy tipe 2 untuk skenario 1.2a menghasilkan *output* sebesar 75.89%. Seperti yang dijelaskan pada sub bab 3.9 jika *output* fuzzy  $\geq 50\%$  termasuk dalam kategori terduga melakukan IUU *transshipment* maka Skenario 1.2a terdeteksi terduga melakukan IUU *transshipment*. Hasil simulasi dapat dilihat pada Gambar 4.8.



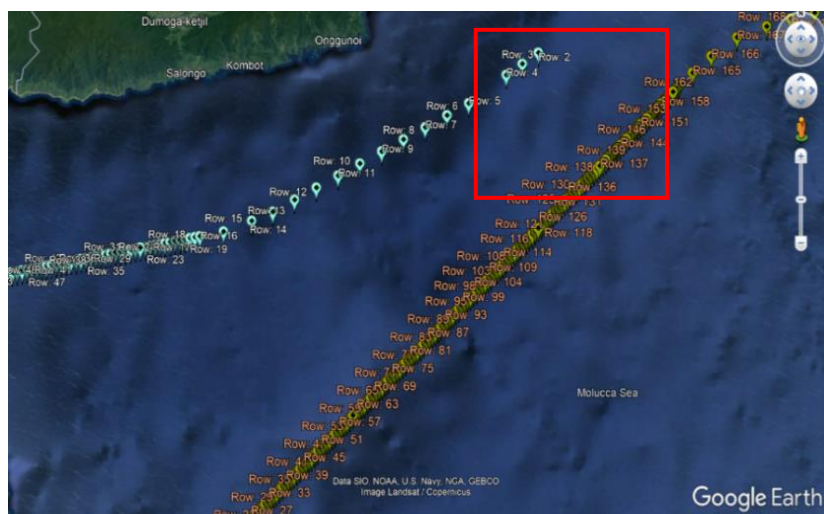
**Gambar 4.8** Hasil Simulasi Sub-sistem Identifikasi *Transshipment* Skenario 1.2a

#### 4.3.2 Hasil Simulasi Skenario 1b untuk Kapal Tidak Melakukan *Transshipment*

Pada simulasi skenario 1b dilakukan pembangkitan data kapal dengan skenario tidak melakukan *transshipment* untuk menguji sub-sistem identifikasi. Data input meliputi data *latitude*, *longitude*, *heading*, kecepatan, dan waktu berlayar kapal. Skenario kedua ini diletakkan pada Perairan Banggai. Kapal 1 dengan titik trayektori berwarna biru melintas dari pulau Sulawesi ke arah pulau Maluku serta kapal 2 dengan titik trayektori berwarna hijau melintas dari pulau Maluku ke arah pulau Sulawesi. Kedua kapal bertemu pada titik *latitude* dan *longitude* seperti pada Tabel 3.10 serta dengan selisih *heading* yang tertulis pada Tabel 3.10. Kedua kapal berjalan berdampingan selama kurun waktu 80 menit dengan selisih kecepatan kedua kapal sebesar 1.949 m/s.

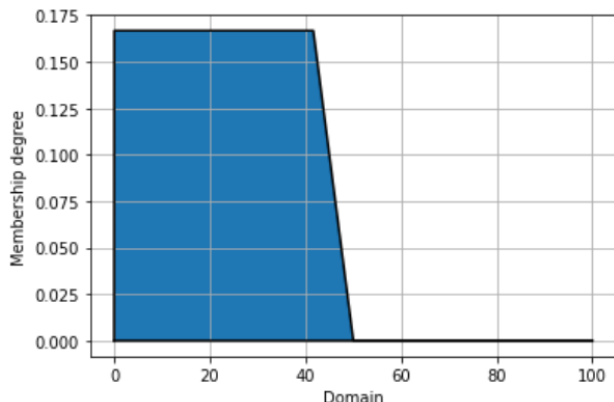


**Gambar 4.9** Trayektori 2 Kapal Skenario 1b Tidak Melakukan *Transshipment* di Perairan Banggai



**Gambar 4.10** Titik Temu Terdekat dari 2 Kapal Skenario 1b

Hasil simulasi pada sub-sistem identifikasi *transshipment* dengan fuzzy tipe 2 untuk skenario 1b menghasilkan *output* sebesar 24.00%. Seperti yang dijelaskan pada sub bab 3.9 jika *output* fuzzy <50% termasuk dalam kategori tidak melakukan IUU *transshipment* maka Skenario 1b terdeteksi tidak melakukan IUU *transshipment*. Hasil simulasi dapat dilihat pada gambar 4.11.



**Gambar 4.11** Hasil Simulasi Sub-sistem Identifikasi *Transshipment* Skenario 1b

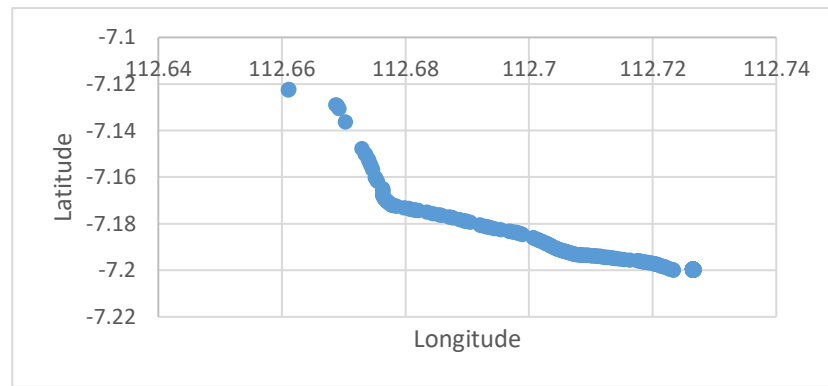
#### 4.4 Validasi Sub-sistem Identifikasi *Transshipment* Fuzzy Tipe 2 dengan Raw Data

##### AIS dari AIS ITS *Marine Reliability and Safety Laboratory*

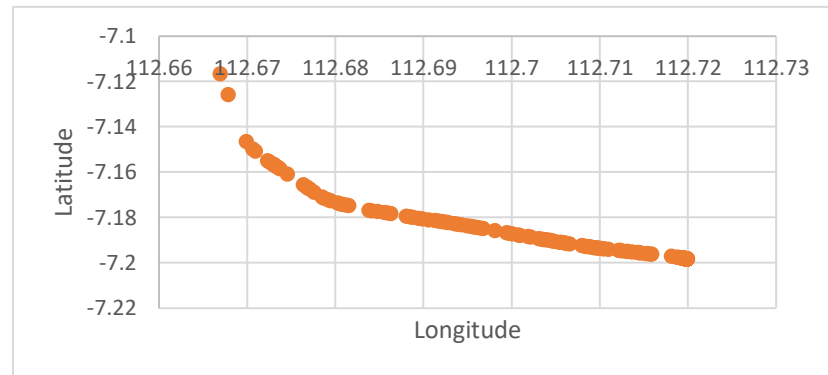
Validasi sub-sistem identifikasi *transshipment* logika fuzzy tipe 2 dilakukan dengan menggunakan skenario berdasarkan *raw data* AIS yang diperoleh dari AIS ITS *Marine Reliability and Safety Laboratory* milik Sistem Perkapalan ITS. Digunakan 4 data kapal dengan masing-masing nomor MMSI dan jumlah titik AIS tercatat sebagai berikut.

- Kapal bernomor 440197000 dengan jumlah titik terekam titik berjumlah 1930 titik,
- Kapal bernomor 525003396 dengan jumlah titik terekam berjumlah 2342 titik,
- Kapal bernomor 525003337 dengan jumlah titik terekam berjumlah 5305 titik, dan
- Kapal bernomor 525008119 dengan jumlah titik terekam berjumlah 2956 titik.

Seluruh kapal berada di wilayah perairan Surabaya dengan skenario kapal bernomor MMSI 440197000 berpasangan dengan kapal bernomor MMSI 525003396 membentuk skenario 2.1b dan kapal bernomor MMSI 525003337 berpasangan dengan kapal bernomor MMSI 525008119 membentuk skenario 2.2b. Trayektori masing-masing kapal pada skenario 2.1b dapat dilihat pada Gambar 4.12 dan Gambar 4.13.

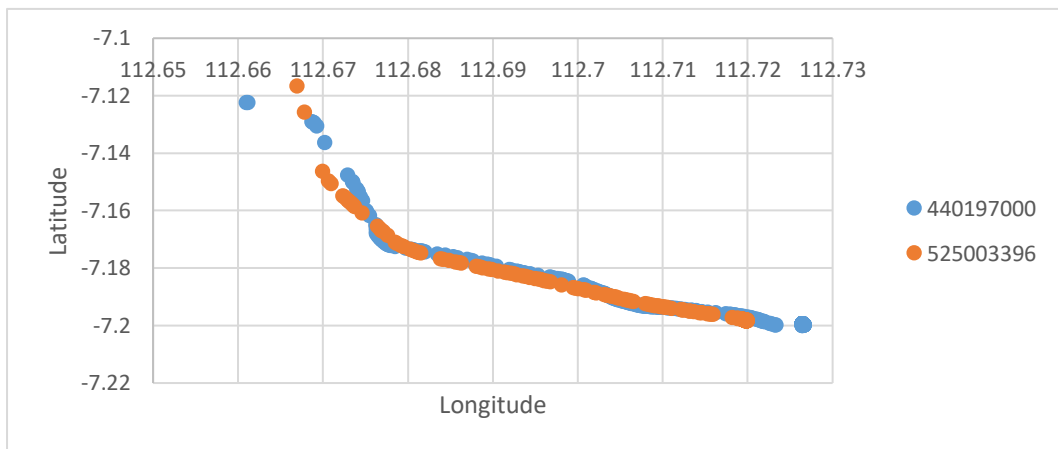


**Gambar 4.12** Trayektori Kapal Bernomor MMSI 440197000 untuk Skenario 2.1b



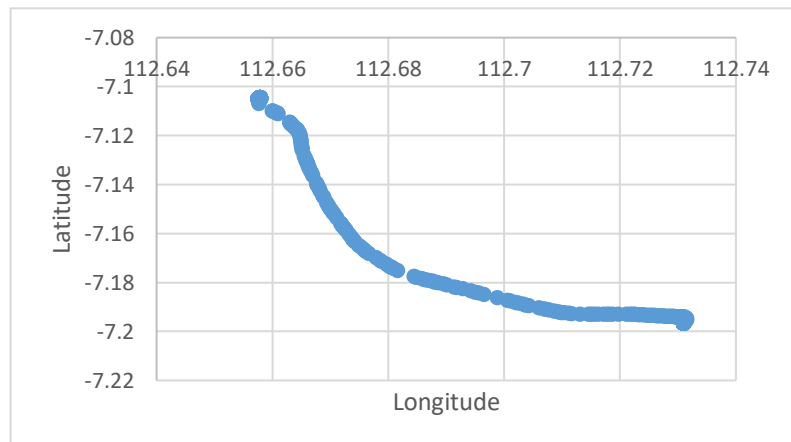
**Gambar 4.13** Trayektori Kapal Bernomor MMSI 525003396 untuk Skenario 2.1b

Gabungan trayektori skenario 2.1b dapat dilihat pada Gambar 4.14.

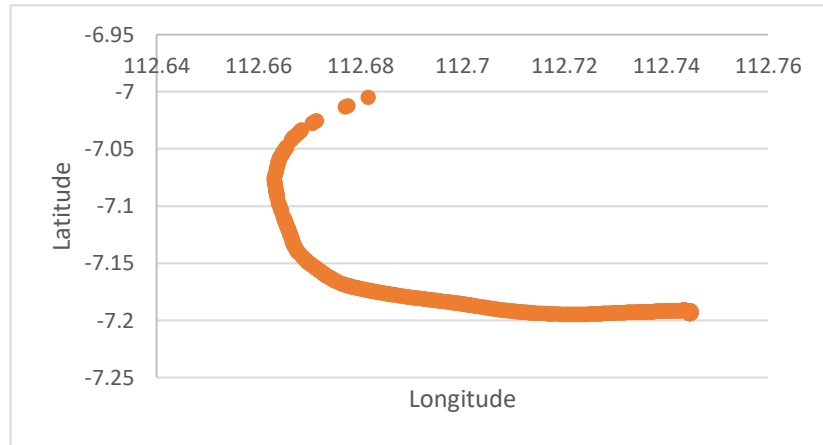


**Gambar 4.14** Trayektori *Raw Data AIS* Skenario 2.1b. Trayektori Berwarna Biru adalah Kapal Bernomor MMSI 440197000 dan Trayektori Berwarna Orange adalah Kapal Bernomor MMSI 525003396

Adapun trayektori untuk masing-masing kapal pada skenario 2.2b dapat dilihat pada Gambar 4.15 dan Gambar 4.16.

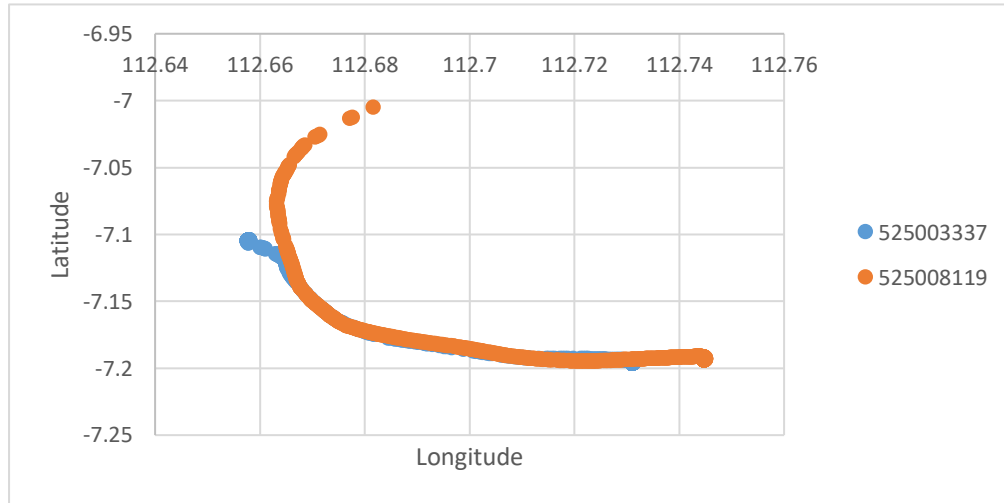


**Gambar 4.15** Trayektori Kapal Bernomor MMSI 525003337 untuk Skenario 2.2b



**Gambar 4.16** Trayektori Kapal Bernomor MMSI 525008119 untuk Skenario 2.2b

Gabungan trayektori skenario 2.2b dapat dilihat pada Gambar 4.17.



**Gambar 4.17** Trayektori *raw* data AIS Skenario 2.2b dengan Trayektori Berwarna Biru adalah Kapal Bernomor MMSI 525003337 dan Trayektori Berwarna Orange adalah Kapal Bernomor MMSI 525008119

Setelah keempat *raw* data AIS diolah, didapati bahwa selisih jarak waktu antara masing-masing kedua skenario kapal sangatlah jauh. Jika dilihat dari trayektori yang terbentuk pada Gambar 4.14 dan Gambar 4.17, secara kasat mata kedua skenario dapat dikatakan termasuk dalam skenario kapal terduga melakukan *transshipment*. Namun dengan adanya selisih waktu yang cukup jauh maka kedua skenario dari *raw* data AIS hanya dapat digunakan untuk skenario kapal tidak melakukan *transshipment*. Adapun hasil pengolahan titik temu dari *raw* data AIS dapat dilihat pada Tabel 4.5 dan Tabel 4.6.

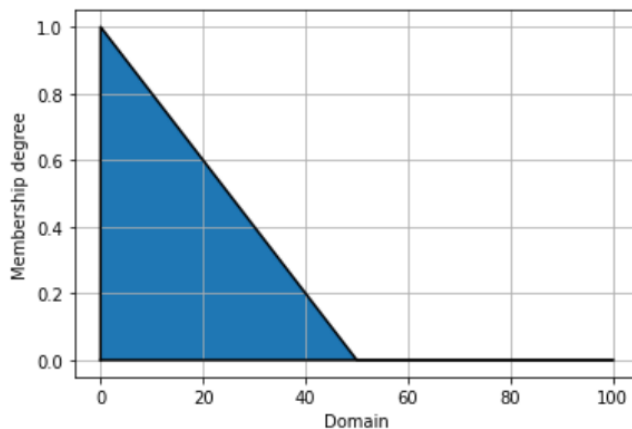
**Tabel 4.5** Hasil Olah Data *Raw* Data AIS untuk Skenario 2.1b

| Skenario 2.1b | MMSI      | Latitude    | Longitude   | SOG | COG   | Time     |
|---------------|-----------|-------------|-------------|-----|-------|----------|
|               | 440197000 | -7.1978     | 112.7210217 | 4   | 128.2 | 11:11:15 |
|               | 525003396 | -7.1983     | 112.7198917 | 0   | 169.9 | 08:11:21 |
| Selisih       | -         | 5.449737066 |             | 4   | 41.7  | -2:00:54 |

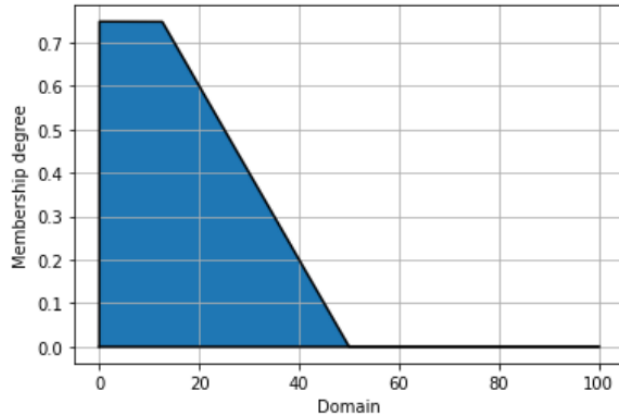
**Tabel 4.6** Hasil Olah Data *Raw* Data AIS untuk Skenario 2.2b

| Skenario 2.2b | MMSI      | Latitude    | Longitude | SOG | COG   | Time      |
|---------------|-----------|-------------|-----------|-----|-------|-----------|
|               | 525003337 | -7.1966     | 112.731   | 0   | 167.4 | 01:11:33  |
|               | 525008119 | -7.1938     | 112.7294  | 4.2 | 78.6  | 16:57:36  |
| Selisih       | -         | 18.49612811 |           | 4.2 | 88.8  | -15:46:03 |

Pengolahan data dilakukan menggunakan simulasi melalui sub-sistem Identifikasi *transshipment* menggunakan metode fuzzy tipe 2. Didapati hasil identifikasi sebesar 23.63% untuk skenario 2.1b serta 23.66% untuk skenario 2.2b. Dimana kedua hasil tersebut <50% yang berarti kedua skenario kapal termasuk dalam kapal tidak melakukan *transshipment*. Hasil identifikasi dapat dilihat pada gambar 4.18.



**Gambar 4.18** Hasil Identifikasi *Transshipment* pada *Raw* Data AIS Skenario 2.1b



**Gambar 4.19** Hasil Identifikasi *Transshipment* pada *Raw Data AIS* Skenario 2.2b

## 4.5 Analisis Akurasi Seluruh Sistem

### 4.5.1 Analisis Akurasi Sub-sistem *Losses Data*

Sub-sistem *losses* data AIS diberikan lima data percobaan dengan jumlah lama waktu data AIS tercatat yang berbeda-beda. Tiga data pertama yaitu data kapal Siskal2, data Siskal3, dan data Siskal4 merupakan data yang tidak memiliki *losses*. Dua data terakhir yaitu data kapal *Loss Data1* dan data *Loss Data2* merupakan data yang memiliki *losses*. Hal ini dapat diketahui dari adanya selisih waktu yang cukup panjang pada data yang terekam atau tercatat oleh sistem. Dapat dilihat pada Tabel 4.7, hasil simulasi sub-sistem *losses* data telah menunjukkan hasil yang sama persis dengan keadaan aktual dari masing-masing input data yang digunakan, sehingga dapat dikatakan akurasi pada sub-sistem *losses* data AIS dengan lima input data pada penilitian ini sudah sangat baik yaitu mencapai 100%.

**Tabel 4.7** Akurasi Sub-sistem *Losses Data* AIS

| No | Data       | Lama Waktu Data AIS Tercatat | Keadaan Aktual Lama Waktu Data AIS Hilang | Hasil Simulasi Lama Waktu Data AIS Hilang | Akurasi |
|----|------------|------------------------------|---|---|---------|
| 1  | Siskal2    | 23 jam 59 menit              | 0 detik                                   | 0 detik                                   | 100%    |
| 2  | Siskal3    | 23 jam 59 menit              | 0 detik                                   | 0 detik                                   |         |
| 3  | Siskal4    | 15 jam 51 menit              | 0 detik                                   | 0 detik                                   |         |
| 4  | Loss Data1 | 21 jam 8 menit               | 9.802 detik                               | 9.802 detik                               |         |
| 5  | Loss Data2 | 23 jam 59 menit              | 15.448 detik                              | 15.448 detik                              |         |

### 4.5.2 Analisis Akurasi Sub-sistem Prediktor Menggunakan RNN

Sub-sistem prediktor dengan RNN pada penelitian ini menggunakan metode perhitungan *error* menggunakan RMSE. Dapat dilihat pada Tabel 4.2 untuk hasil prediktor posisi kapal dan Tabel 4.3 untuk hasil prediktor kecepatan kapal menunjukkan nilai RMSE

yang sangat baik yaitu sudah sangat mendekati nilai 0. Kemudian hasil prediktor *heading* kapal pada Tabel 4.4 masih menunjukkan *error* yang cukup besar yaitu 10.771. Hal ini dapat terjadi karena pada proses pengolahan data sebelumnya tidak dilakukan pemilihan data atau pemangkasan data yang berada diluar *outlier* dari sistem RNN yang digunakan. Selain itu, karena banyaknya nilai *heading* pada data AIS setiap kapal yang terekam pada *raw* data bernilai 0, menyebabkan eror dari hasil prediktor untuk nilai *heading* kapal *raw* data AIS sangat besar.

**Tabel 4.8** Hasil RMSE Terendah untuk Masing-masing Variabel Uji Coba

| Variabel  | Hasil RMSE Terendah | LSTM Unit | Learning rate | Batch size | Epoch |
|-----------|---------------------|-----------|---------------|------------|-------|
| Latitude  | 0.0002              | 15        | 0.0005        | 2          | 1000  |
| Longitude | 0.0002              | 15        |               | 2          |       |
| Speed     | 0.0234              | 20        |               | 2          |       |
| Heading   | 10.7712             | 15        |               | 5          |       |

Adapun rata-rata akurasi untuk sub-sistem prediktor didapati sebesar 97.3% dapat dilihat pada Tabel 4.9.

**Tabel 4.9** Akurasi Sub-sistem Prediktor

| Variabel          | RMSE    | Akurasi (%) |
|-------------------|---------|-------------|
| Latitude          | 0.0002  | 99.9998     |
| Longitude         | 0.0002  | 99.9998     |
| Speed             | 0.0234  | 99.9766     |
| Heading           | 10.7712 | 89.2288     |
| Rata-rata Akurasi |         | 97.3013     |

#### 4.5.3 Analisis Akurasi Sub-sistem Identifikasi Menggunakan Fuzzy Tipe 2

Pada sub-sistem identifikasi *transshipment* menggunakan Fuzzy tipe 2 diberikan lima data percobaan. Tiga data pertama merupakan hasil pembangkitan data menggunakan *marinetraffic.com* dan *Google Earth*. Dua data terakhir merupakan *raw* Data AIS. Terdapat dua skenario kapal melakukan *transshipment* dan tiga skenario kapal tidak melakukan *transshipment*. Dapat dilihat pada Tabel 4.10, *output* dari sistem identifikasi sudah menunjukkan hasil yang sama dengan keadaan aktual dari masing-masing skenario yang diberikan. Dengan demikian dapat dikatakan bahwa sistem yang telah diuji coba dengan lima skenario pada penilitian ini sudah memiliki tingkat akurasi yang sangat baik yaitu 100%.

**Tabel 4.10** Akurasi Sub-sistem Identifikasi *Transshipment*

| No | Data Skenario | Letak Kapal                      | Keadaan Aktual                         | Hasil Identifikasi                     | Akurasi |
|----|---------------|----------------------------------|--|--|---------|
| 1  | Skenario 1.1a | Perairan Banggai-Halmahera       | Terduga melakukan <i>transshipment</i> | Terduga melakukan <i>transshipment</i> | 100%    |
| 2  | Skenario 1.2a | Perairan Banggai-Halmahera       | Terduga melakukan <i>transshipment</i> | Terduga melakukan <i>transshipment</i> |         |
| 3  | Skenario 1b   | Perairan Banggai                 | Tidak melakukan <i>transshipment</i>   | Tidak melakukan <i>transshipment</i>   |         |
| 4  | Skenario 2.1b | Perairan Surabaya (Teluk Lamong) | Tidak melakukan <i>transshipment</i>   | Tidak melakukan <i>transshipment</i>   |         |
| 5  | Skenario 2.2b | Perairan Surabaya (Teluk Lamong) | Tidak melakukan <i>transshipment</i>   | Tidak melakukan <i>transshipment</i>   |         |

*Halaman ini sengaja dikosongkan*

## **BAB V**

### **KESIMPULAN DAN SARAN**

#### **5.1 Kesimpulan**

Dari perancangan dan analisis yang telah dilakukan pada tugas akhir ini, diperoleh beberapa kesimpulan sebagai berikut.

- a) RNN pada penelitian ini digunakan pada sub-sistem prediktor *losses* data AIS. Rancang bangun arsitektur RNN yang digunakan pada penelitian ini terdiri atas beberapa parameter yang digunakan meliputi jumlah LSTM *layers*, jumlah unit neuron pada LSTM *layers*, nilai *learning rate*, *batch size*, dan *epoch*. *Input layer* dan *output layer* berbentuk *dense layer*. *Loss function* yang digunakan berupa *Root Mean Squared Error* (RMSE) serta optimizer yang digunakan adalah *Adaptive Moment Estimation* (Adam). Terdapat variasi yang diberikan terhadap beberapa parameter arsitektur RNN seperti pada Tabel 3.11. Hasil RMSE terendah untuk prediktor posisi *latitude* dan *longitude* masing-masing bernilai 0.0002 berada pada variasi LSTM unit 15 dan *batch size* berjumlah 2, untuk prediktor kecepatan bernilai 0.0234 berada pada variasi LSTM unit 20 dan *batch size* berjumlah 2, serta untuk prediktor *heading* bernilai 10.7712 berada pada variasi LSTM unit 15 dan *batch size* berjumlah 5. Akurasi rata-rata untuk sub-sistem ini termasuk baik yaitu 97.3%.
- b) Fuzzy Tipe 2 pada penelitian ini digunakan pada sub-sistem identifikasi *transshipment*. Parameter input untuk sub-sistem identifikasi terdiri dari selisih jarak kedua kapal, selisih kecepatan kedua kapal, selisih *heading* kedua kapal, dan selisih waktu berlayarnya kapal. Selisih waktu merupakan parameter pengembangan dari penelitian sebelumnya. Dari keempat input tersebut terbentuk 36 *rules* fuzzy dengan akurasi keluaran sistem yang sangat baik yaitu mencapai 100%.
- c) Sebagai bentuk pengembangan penelitian untuk sistem pengambilan keputusan pemodelan pelanggaran *transshipment* dari penelitian sebelumnya, pada penelitian ini diberikan penambahan variabel input berupa lama waktu berlayarnya kapal pada sub-sistem identifikasi serta sub-sistem prediktor *losses* data yang seluruh variabelnya diuji coba menggunakan RNN, dengan adanya penambahan variabel dan sistem tersebut sistem tetap dapat berjalan dengan optimal. Bentuk pengembangan lainnya adalah sistem prediktor RNN yang telah dirancang dapat memprediksi trayektori dari data

AIS yang hilang selama 4 jam atau sekitar 850 data, dimana pada penelitian sebelumnya hanya dapat memprediksi 120 data AIS yang hilang.

## 5.2 Saran

Berdasarkan penelitian diatas, adapun saran yang dapat penulis berikan untuk penelitian selanjutnya adalah sebaiknya sebelum melakukan penelitian mengenai IUU *transshipment* peneliti harus dapat memiliki *raw* data AIS agar memudahkan penelitian dalam menentukan validasi sistem karena *raw* data AIS merupakan data AIS asli yang didapat dari sistem AIS kapal, selain itu untuk memperoleh hasil yang lebih optimal, peneliti dapat memperluas variasi *input* keadaan kapal pada setiap sub-sitem dan memperluas variasi pengolahan data pada setiap sub-sistem.

## DAFTAR PUSTAKA

- Aisjah, A., Masroeri, A., Arifin, S., Saiko, Teknik, J., Fakultas, F., Industri, T., Perkapalan, S., Fakultas, –, & Kelautan, T. (2011). *Perancangan Sistem Pengendalian Pada Kapal Berbasis Data Ais (Automatic Identification System) Untuk Menghindari Tabrakan Di Perairan Tanjung Perak Surabaya.*
- Aisjah, A., Masroeri, A., Arifin, S., Santoso, Moch. Y., & Alif, A. N. (2017). A Fuzzy Decision Support System Of Iuu – Transhipment In Indonesia. *Senta*.
- Anggara, B., Marwanza, I., Azizi, M., Dahani, W., & Subandrio. (2021). Fitting the variogram model of nickel laterite using root means square error in Morowali, Central Sulawesi. *IOP Conference Series: Earth and Environmental Science*, 882, 012042. <https://doi.org/10.1088/1755-1315/882/1/012042>
- Amaitik, N., 2020. The Basics of Fuzzy Systems Technology: A Complete Tutorial, (pp. 1-25).
- Alif, A. N., 2016. Perancangan Sistem Pengambilan Keputusan Berbasis Data Automatic Identification System (AIS) untuk Identifikasi Terjadinya Illegal Transhipment Menggunakan Logika Fuzzy. ITS, Surabaya.
- Big Ocean Data, 2021. *The Definitive AIS Handbook*. United Kingdom: Big Ocean Data.
- Cheng, J., Yi, J. & Zhao, D., 2016. A New Fuzzy Autopilot for Way-point Tracking Control of Ships. *2016 IEEE International Conference on Fuzzy System*, (p. 456). <https://doi.org/10.1109/FUZZY.2006.1681750>.
- Cockroft, A., & Lameijer, J. (2011). *A Guide to the Collision Avoidance Rules* (7th ed.). Elsevier.
- Dani, M., 2017. Pengembangan Perancangan Sistem Pengambilan Keputusan Berbasis Data AIS dan Radar untuk Identifikasi IUU Fishing Menggunakan Logika Fuzzy. ITS, Surabaya.
- Dernoncourt, F., 2014. Introduction to fuzzy logic, (pp. 1-21).
- Direktorat Jendral Perhubungan Laut. (2019, Agustus). Penggunaan Dan Pengaktifan Ais Dapat Meningkatkan Keselamatan Dan Keamanan Pelayaran. *Kementerian Perhubungan Republik Indonesia*.

<https://hubla.dephub.go.id/home/post/read/5283/penggunaan-dan-pengaktifan-a-is-dapat-meningkatkan-keselamatan-dan-keamanan-pelayaran>

Food and Agriculture Organization of the United Nations, 2016. *Illegal, unreported and unregulated fishing*, Rome: Food and Agriculture Organization.

Fransisko, I., 2016. Perancangan Sistem Pengambilan Keputusan Berbasis Data Automatic Identification System (AIS) untuk Identifikasi Terjadinya Illegal Unregulated Unreported (IUU) Fishing Menggunakan Logika Fuzzy. ITS, Surabaya.

Ganesh, L., & P, V. K. B. (2015). Indoor Wireless Localization using Haversine Formula. International Advanced Research Journal in Science, Engineering and Technology, 2(7), 59–63. <https://doi.org/10.17148/IARJSET.2015.2713>

Humaira, M. (2014). Perbandingan Algoritma Reduksi Tipe pada Fuzzy Tipe-2. *MATICS*, 1. <https://doi.org/10.18860/mat.v1i1.2642>

IMO. (1972, Oktober). *Convention on the International Regulations for Preventing Collisions at Sea, 1972 (COLREGs)*. <https://www.imo.org/en/About/Conventions/Pages/COLREG.aspx>

IMO. (1998). Resolution MSC.74(69): Adoption of new and amended performance standards

J. M. Mendel, R. I. John, & F. Liu. (2006). Interval Type-2 Fuzzy Logic Systems Made Simple. *IEEE Transactions on Fuzzy Systems*, 14(6), 808–821. <https://doi.org/10.1109/TFUZZ.2006.879986>

Kumar, J., Goomer, R., & Singh, A. K. (2018). Long Short Term Memory Recurrent Neural Network (LSTM-RNN) Based Workload Forecasting Model For Cloud Datacenters. *The 6th International Conference on Smart Computing and Communications*, 125, 676–682. <https://doi.org/10.1016/j.procs.2017.12.087>

KKP. (2015). *MINA BAHARI Illegal Fishing No More*. <https://kkp.go.id/wp-content/uploads/2016/07/mina-bahari-edisi-1.pdf>

KKP, 2015. Peraturan Menteri Kelautan dan Perikanan Republik Indonesia Nomor 25/Permen-KP/2015 tentang Rencana Strategis Kementerian Kelautan dan Perikanan Tahun 2015-2019, Jakarta Kementerian Kelautan dan Perikanan.

- Lloyd's, R. R. (2005). *SOLAS - International Convention for the Safety of Life at Sea: Vol. Version 9.4.* [http://www.mar.ist.utl.pt/mventura/Projecto-Navios-I/IMO-Conventions%20\(copies\)/SOLAS.pdf](http://www.mar.ist.utl.pt/mventura/Projecto-Navios-I/IMO-Conventions%20(copies)/SOLAS.pdf)
- Lewis, C. D. (Colin D., 1938-. (1982). *Industrial and business forecasting methods: A practical guide to exponential smoothing and curve fitting / Colin D. Lewis.* Butterworth Scientific.
- N. N. Karnik & J. M. Mendel. (1998). Introduction to type-2 fuzzy logic systems. *1998 IEEE International Conference on Fuzzy Systems Proceedings. IEEE World Congress on Computational Intelligence (Cat. No.98CH36228)*, 2, 915–920 vol.2. <https://doi.org/10.1109/FUZZY.1998.686240>
- Marzuki, M. (2017). *VMS data analyses and modeling for the monitoring and surveillance of Indonesian fisheries.*
- Masroeri, A. A., Aisjah, A. S., & Jamali, M. M. (2021). IUU fishing and transhipment identification with the miss of AIS data using Neural Networks. *IOP Conference Series: Materials Science and Engineering*, 1052(1), 012054. <https://doi.org/10.1088/1757-899x/1052/1/012054>
- Olah, C. (2015). Understanding lstm networks, 2015. *URL Http://Colah. Github. Io/Posts/2015-08-Understanding-LSTMs*, 19, 1–19.
- Pernika. (n.d.). *Keuntungan Memasang AIS Kapal.* Retrieved January 11, 2022, from <https://pernika.com/en/keuntungan-memasang-ais-kapal/>
- Pratama, O. (2020, July 1). Konservasi Perairan Sebagai Upaya menjaga Potensi Kelautan dan Perikanan Indonesia. *DIREKTORAT JENDERAL PENGELOLAAN RUANG LAUT.* <https://kkp.go.id/djprl/artikel/21045-konservasi-perairan-sebagai-upaya-menjaga-potensi-kelautan-dan-perikanan-indonesia#:~:text=Dari%20total%20luas%20wilayah%20tersebut,km2%20adalah%20Zona%20Ekonomi%20Eksklusif.>
- Ramadhan, A., & Diamanty, M. (2021, Agustus). Kapal Asing Kerap Masuk Wilayah Laut Natuna Utara, Pemerintah Diminta Tingkatkan Patroli. *Kompas.Com.* <https://nasional.kompas.com/read/2021/09/17/12043051/kapal-asing-kerap-masuk-wilayah-laut-natuna-utara-pemerintah-diminta?page=all>
- Samudya, M. A. (2021). Pengembangan Sistem Identifikasi IUU Transhipment dengan Sistem Logika Fuzzy Tipe 2 saat Terjadi Losses Data Automatic Identification System (AIS). Institut Teknologi Sepuluh Nopember

S. K. Singh & F. Heymann. (2020). Machine Learning-Assisted Anomaly Detection in Maritime Navigation using AIS Data. *2020 IEEE/ION Position, Location and Navigation Symposium (PLANS)*, 832–838.  
<https://doi.org/10.1109/PLANS46316.2020.9109806>

Situmorang, Krisandi P., 2017. Pengembangan Perancangan Sistem Pengambilan Keputusan Berbasis Data Automatic Identification System (AIS) dan Radar untuk Identifikasi Terjadinya Illegal Transhipment Menggunakan Logika Fuzzy. ITS, Surabaya.

Widjaja, S., Long, T. & Wirajuda, H., 2020. *Illegal, Unreported and Unregulated Fishing and Associated Drivers*. Washington: Ocean Panel.

Winarno, E., Hadikurniawati, W., & Rosso, R. N. (n.d.). Location Based Service for Presence System Using Haversine Method.

Y. Dian Harja & R. Sarno. (2018). Determine the best option for nearest medical services using Google maps API, Haversine and TOPSIS algorithm. *2018 International Conference on Information and Communications Technology (ICOIACT)*, 814–819.  
<https://doi.org/10.1109/ICOIACT.2018.8350709>

Zhou, J., Wang, C., & Zhang, A. (2020). A COLREGs-Based Dynamic Navigation Safety Domain for Unmanned Surface Vehicles: A Case Study of Dolphin-I. *Journal of Marine Science and Engineering*, 8(4). <https://doi.org/10.3390/jmse8040264>

## LAMPIRAN

### A. Data AIS

#### a. Data AIS Kapal 1 Skenario 1.1a Terduga Melakukan *Transshipment*

| Total Jarak<br>(Km) | Heading<br>(°) | Latitude<br>(°) | Longitude<br>(°) | Kecepatan<br>(m/s) | Jarak 2 titik<br>(m) | Waktu |
|---------------------|----------------|-----------------|------------------|--------------------|----------------------|-------|
| 216.9588            | 54             | 0.66321         | 126.454          | 18.7714            | 112.3950             | 14:05 |
| 217.0836            | 54             | 0.66442         | 126.456          | 0.6738             | 109.8709             | 14:10 |
| 217.2084            | 54             | 0.66563         | 126.457          | 0.6738             | 107.3872             | 14:15 |
| 217.3332            | 54             | 0.66685         | 126.459          | 0.6738             | 104.9465             | 14:20 |
| 217.4580            | 54             | 0.66806         | 126.461          | 0.6738             | 102.5516             | 14:25 |
| 217.5828            | 54             | 0.66928         | 126.462          | 0.6738             | 100.2055             | 14:30 |
| 217.7076            | 54             | 0.67049         | 126.464          | 0.6738             | 97.9115              | 14:35 |
| 217.8324            | 54             | 0.6717          | 126.466          | 0.6738             | 95.6729              | 14:40 |
| 217.9572            | 54             | 0.67292         | 126.467          | 0.6738             | 93.4934              | 14:45 |
| 218.0820            | 54             | 0.67413         | 126.469          | 0.6738             | 91.3771              | 14:50 |
| 218.2068            | 54             | 0.67535         | 126.471          | 0.6738             | 89.3280              | 14:55 |
| 218.3316            | 54             | 0.67656         | 126.473          | 0.6738             | 87.3505              | 15:00 |
| 218.4564            | 54             | 0.67777         | 126.474          | 0.6738             | 85.4494              | 15:05 |
| 218.5812            | 54             | 0.67899         | 126.476          | 0.6738             | 83.6295              | 15:10 |
| 218.7060            | 54             | 0.6802          | 126.478          | 0.6738             | 81.8958              | 15:15 |
| 218.8308            | 54             | 0.68142         | 126.479          | 0.6738             | 80.2536              | 15:20 |
| 218.9556            | 54             | 0.68263         | 126.481          | 0.6738             | 78.7083              | 15:25 |
| 219.0804            | 54             | 0.68384         | 126.483          | 0.6738             | 77.2652              | 15:30 |
| 219.2052            | 54             | 0.68506         | 126.484          | 0.6738             | 75.9299              | 15:35 |
| 219.3300            | 54             | 0.68627         | 126.486          | 0.6738             | 74.7078              | 15:40 |
| 219.4548            | 54             | 0.68749         | 126.488          | 0.6738             | 73.6041              | 15:45 |
| 219.5795            | 54             | 0.6887          | 126.49           | 0.6738             | 72.6238              | 15:50 |
| 219.7043            | 54             | 0.68991         | 126.491          | 0.6738             | 71.7716              | 15:55 |
| 219.8291            | 54             | 0.69113         | 126.493          | 0.6738             | 71.0517              | 16:00 |
| 219.9539            | 54             | 0.69234         | 126.495          | 0.6738             | 70.4678              | 16:05 |
| 220.0787            | 54             | 0.69356         | 126.496          | 0.6738             | 70.0227              | 16:10 |
| 220.2035            | 54             | 0.69477         | 126.498          | 0.6738             | 69.7189              | 16:15 |
| 220.3283            | 54             | 0.69598         | 126.5            | 0.6738             | 69.5577              | 16:20 |
| 220.3415            | 54             | 0.704           | 126.493          | 0.0709             | 13.5166              | 16:25 |
| 220.3546            | 54             | 0.70413         | 126.493          | 0.0709             | 13.4729              | 16:30 |
| 220.3677            | 54             | 0.70426         | 126.493          | 0.0709             | 13.4292              | 16:35 |
| 220.3809            | 54             | 0.70438         | 126.494          | 0.0709             | 13.3857              | 16:40 |
| 220.3940            | 54             | 0.70451         | 126.494          | 0.0709             | 13.3423              | 16:45 |
| 220.4071            | 54             | 0.70464         | 126.494          | 0.0709             | 13.2990              | 16:50 |
| 220.4203            | 54             | 0.70477         | 126.494          | 0.0709             | 13.2558              | 16:55 |

| Total Jarak (Km) | Heading (°) | Latitude (°) | Longitude (°) | Kecepatan (m/s) | Jarak 2 titik (m) | Waktu |
|------------------|-------------|--------------|---------------|-----------------|-------------------|-------|
| 220.4334         | 54          | 0.70489      | 126.494       | 0.0709          | 13.2127           | 17:00 |
| 220.4466         | 54          | 0.70502      | 126.494       | 0.0709          | 13.1697           | 17:05 |
| 220.4597         | 54          | 0.70515      | 126.495       | 0.0709          | 13.1268           | 17:10 |
| 220.4728         | 54          | 0.70528      | 126.495       | 0.0709          | 13.0841           | 17:15 |
| 220.4860         | 54          | 0.70541      | 126.495       | 0.0709          | 13.0414           | 17:20 |
| 220.4991         | 54          | 0.70553      | 126.495       | 0.0709          | 12.9989           | 17:25 |
| 220.5122         | 54          | 0.70566      | 126.495       | 0.0709          | 6577.1579         | 17:30 |
| 220.5254         | 54          | 0.70579      | 126.496       | 0.0709          | 6578.3180         | 17:35 |
| 220.5385         | 54          | 0.70592      | 126.496       | 0.0709          | 6579.4780         | 17:40 |
| 220.5516         | 54          | 0.70604      | 126.496       | 0.0709          | 6580.6379         | 17:45 |
| 220.5648         | 54          | 0.70617      | 126.496       | 0.0709          | 6581.7977         | 17:50 |
| 220.5779         | 54          | 0.69841      | 126.503       | 0.6738          | 69.6647           | 17:55 |
| 220.7027         | 54          | 0.69962      | 126.5048      | 0.6738          | 69.9313           | 18:00 |
| 220.8275         | 54          | 0.70084      | 126.5065      | 0.6738          | 70.3377           | 18:05 |
| 220.9523         | 54          | 0.70205      | 126.5082      | 0.6738          | 70.8810           | 18:10 |
| 221.0771         | 54          | 0.70327      | 126.5099      | 0.6738          | 71.5578           | 18:15 |
| 221.2019         | 54          | 0.70448      | 126.5116      | 0.6738          | 72.3637           | 18:20 |
| 221.3267         | 54          | 0.70569      | 126.5133      | 0.6738          | 73.2943           | 18:25 |
| 221.4515         | 54          | 0.70691      | 126.5150      | 0.6738          | 74.3444           | 18:30 |
| 221.5763         | 54          | 0.70812      | 126.5167      | 0.6738          | 75.5087           | 18:35 |
| 221.7011         | 54          | 0.70934      | 126.5184      | 0.6738          | 76.7817           | 18:40 |
| 221.8259         | 54          | 0.71055      | 126.5201      | 0.6738          | 78.1575           | 18:45 |
| 221.9507         | 54          | 0.71176      | 126.5218      | 0.6738          | 79.6306           | 18:50 |
| 222.0755         | 54          | 0.71298      | 126.5235      | 0.6738          | 81.1953           | 18:55 |
| 222.2003         | 54          | 0.71419      | 126.5252      | 0.6738          | 82.8460           | 19:00 |
| 222.3251         | 54          | 0.71541      | 126.5269      | 0.6738          | 84.5774           | 19:05 |
| 222.4499         | 54          | 0.71662      | 126.5286      | 0.6738          | 86.3843           | 19:10 |
| 222.5747         | 54          | 0.71783      | 126.5303      | 0.6738          | 88.2617           | 19:15 |
| 222.6995         | 54          | 0.71905      | 126.5320      | 0.6738          | 90.2050           | 19:20 |
| 222.8243         | 54          | 0.72026      | 126.5337      | 0.6738          | 92.2096           | 19:25 |
| 222.949          | 54          | 0.72148      | 126.5354      | 0.6738          | 94.2713           | 19:30 |
| 223.0738         | 54          | 0.72269      | 126.5371      | 0.6738          | 96.3861           | 19:35 |
| 223.1986         | 54          | 0.7239       | 126.5388      | 0.6738          | 98.5504           | 19:40 |
| 223.3234         | 54          | 0.72512      | 126.5405      | 0.6738          | 100.7607          | 19:45 |
| 223.4482         | 54          | 0.72633      | 126.5422      | 0.6738          | 103.0137          | 19:50 |
| 223.573          | 54          | 0.72755      | 126.5439      | 0.6738          | 105.3064          | 19:55 |
| 223.6978         | 54          | 0.72876      | 126.5455      | 0.6738          | 107.6360          | 20:00 |
| 223.8226         | 54          | 0.72997      | 126.5472      | 0.6738          | 109.9999          | 20:05 |
| 223.9474         | 54          | 0.73119      | 126.5489      | 0.6738          | 112.3956          | 20:10 |
| 224.0722         | 54          | 0.7324       | 126.5506      | 0.6738          | 114.8210          | 20:15 |
| 224.197          | 54          | 0.73362      | 126.5523      | 0.6738          | 117.2740          | 20:20 |

| Total Jarak (Km) | Heading (°) | Latitude (°) | Longitude (°) | Kecepatan (m/s) | Jarak 2 titik (m) | Waktu |
|------------------|-------------|--------------|---------------|-----------------|-------------------|-------|
| 224.3218         | 54          | 0.73483      | 126.5540      | 0.6738          | 119.7526          | 20:25 |
| 224.4466         | 54          | 0.73604      | 126.5557      | 0.6738          | 122.2549          | 20:30 |
| 224.5714         | 54          | 0.73726      | 126.5574      | 0.6738          | 124.7795          | 20:35 |
| 224.6962         | 54          | 0.73847      | 126.5591      | 0.6738          | 127.3246          | 20:40 |
| 224.821          | 54          | 0.73969      | 126.5608      | 0.6738          | 129.8889          | 20:45 |
| 224.9458         | 54          | 0.7409       | 126.5625      | 0.6738          | 132.4711          | 20:50 |
| 225.0706         | 54          | 0.74211      | 126.5642      | 0.6738          | 135.0698          | 20:55 |
| 225.1954         | 54          | 0.74333      | 126.5659      | 0.6738          | 137.6840          | 21:00 |
| 225.3202         | 54          | 0.74454      | 126.5676      | 0.6738          | 140.3126          | 21:05 |
| 225.445          | 54          | 0.74576      | 126.5693      | 0.6738          | 142.9546          | 21:10 |
| 225.5698         | 54          | 0.74697      | 126.5710      | 0.6738          | 145.6090          | 21:15 |
| 225.6946         | 54          | 0.74818      | 126.5727      | 0.6738          | 148.2751          | 21:20 |
| 225.8194         | 54          | 0.7494       | 126.5744      | 0.6738          | 150.9519          | 21:25 |
| 225.9442         | 54          | 0.75061      | 126.5761      | 0.6738          | 153.6387          | 21:30 |
| 226.069          | 54          | 0.75183      | 126.5778      | 0.6738          | 156.3349          | 21:35 |
| 226.1938         | 54          | 0.75304      | 126.5795      | 0.6738          | 159.0398          | 21:40 |
| 226.3186         | 54          | 0.75425      | 126.5812      | 0.6738          | 161.7527          | 21:45 |
| 226.4433         | 54          | 0.75547      | 126.5829      | 0.6738          | 164.4731          | 21:50 |
| 226.5681         | 54          | 0.75668      | 126.5846      | 0.6738          | 167.2005          | 21:55 |
| 226.6929         | 54          | 0.7579       | 126.5863      | 0.6738          | 169.9343          | 22:00 |
| 226.8177         | 54          | 0.75911      | 126.5880      | 0.6738          | 172.6740          | 22:05 |
| 226.9425         | 54          | 0.76032      | 126.5897      | 0.6738          | 175.4193          | 22:10 |
| 227.0673         | 54          | 0.76154      | 126.5914      | 0.6738          | 178.1697          | 22:15 |
| 227.1921         | 54          | 0.76275      | 126.5931      | 0.6738          | 180.9248          | 22:20 |
| 227.3169         | 54          | 0.76397      | 126.5948      | 0.6738          | 183.6843          | 22:25 |
| 227.4417         | 54          | 0.76518      | 126.5965      | 0.6738          | 186.4477          | 22:30 |
| 227.5665         | 54          | 0.76639      | 126.5982      | 0.6738          | 189.2148          | 22:35 |
| 227.6913         | 54          | 0.76761      | 126.5999      | 0.6738          | 191.9853          | 22:40 |
| 227.8161         | 54          | 0.76882      | 126.6016      | 0.6738          | 194.7588          | 22:45 |
| 227.9409         | 54          | 0.77003      | 126.6033      | 0.6738          | 197.5352          | 22:50 |
| 228.0657         | 54          | 0.77125      | 126.6050      | 0.6738          | 200.3140          | 22:55 |
| 228.1905         | 54          | 0.77246      | 126.6067      | 0.6738          | 203.0951          | 23:00 |
| 228.3153         | 54          | 0.77368      | 126.6083      | 0.6738          | 205.8783          | 23:05 |
| 228.4401         | 54          | 0.77489      | 126.6100      | 0.6738          | 208.6633          | 23:10 |
| 228.5649         | 54          | 0.7761       | 126.6117      | 0.6738          | 211.4500          | 23:15 |
| 228.6897         | 54          | 0.77732      | 126.6134      | 0.6738          | 214.2380          | 23:20 |
| 228.8145         | 54          | 0.77853      | 126.6151      | 0.6738          | 217.0273          | 23:25 |
| 228.9393         | 54          | 0.77975      | 126.6168      | 0.6738          | 219.8176          | 23:30 |
| 229.0641         | 54          | 0.78096      | 126.6185      | 0.6738          | 222.6088          | 23:35 |
| 229.1889         | 54          | 0.78217      | 126.6202      | 0.6738          | 225.4008          | 23:40 |
| 229.3137         | 54          | 0.78339      | 126.6219      | 0.6738          | 228.1933          | 23:45 |

| Total Jarak (Km) | Heading (°) | Latitude (°) | Longitude (°) | Kecepatan (m/s) | Jarak 2 titik (m) | Waktu |
|------------------|-------------|--------------|---------------|-----------------|-------------------|-------|
| 229.4385         | 54          | 0.7846       | 126.6236      | 0.6738          | 230.9863          | 23:50 |
| 229.5633         | 54          | 0.78582      | 126.6253      | 0.6738          | 233.7795          | 23:55 |
| 229.6881         | 54          | 0.78703      | 126.6270      | 0.6738          | 236.5729          | 00:00 |
| 229.8129         | 54          | 0.78824      | 126.6287      | 0.6738          | 239.3663          | 00:05 |
| 229.9376         | 54          | 0.78946      | 126.6304      | 0.6738          | 242.1596          | 00:10 |
| 230.0624         | 54          | 0.79067      | 126.6321      | 0.6738          | 244.9527          | 00:15 |
| 230.1872         | 54          | 0.79189      | 126.6338      | 0.6738          | 247.7455          | 00:20 |
| 230.312          | 54          | 0.7931       | 126.6355      | 0.6738          | 250.5379          | 00:25 |
| 230.4368         | 54          | 0.79431      | 126.6372      | 0.6738          | 253.3297          | 00:30 |
| 230.5616         | 54          | 0.79553      | 126.6389      | 0.6738          | 256.1210          | 00:35 |
| 230.6864         | 54          | 0.79674      | 126.6406      | 0.6738          | 258.9115          | 00:40 |
| 230.8112         | 54          | 0.79796      | 126.6423      | 0.6738          | 261.7012          | 00:45 |
| 230.936          | 54          | 0.79917      | 126.6440      | 0.6738          | 264.4901          | 00:50 |
| 231.0608         | 54          | 0.80038      | 126.6457      | 0.6738          | 267.2780          | 00:55 |
| 231.1856         | 54          | 0.8016       | 126.6474      | 0.6738          | 270.0649          | 01:00 |
| 231.3104         | 54          | 0.80281      | 126.6491      | 0.6738          | 272.8506          | 01:05 |
| 231.4352         | 54          | 0.80403      | 126.6508      | 0.6738          | 275.6352          | 01:10 |
| 231.56           | 54          | 0.80524      | 126.6525      | 0.6738          | 278.4186          | 01:15 |
| 231.6848         | 54          | 0.80645      | 126.6542      | 0.6738          | 281.2006          | 01:20 |
| 231.8096         | 54          | 0.80767      | 126.6559      | 0.6738          | 283.9812          | 01:25 |
| 231.9344         | 54          | 0.80888      | 126.6576      | 0.6738          | 286.7605          | 01:30 |
| 232.0592         | 54          | 0.8101       | 126.6593      | 0.6738          | 289.5382          | 01:35 |
| 232.184          | 54          | 0.81131      | 126.6610      | 0.6738          | 292.3144          | 01:40 |
| 232.3088         | 54          | 0.81252      | 126.6627      | 0.6738          | 295.0890          | 01:45 |
| 232.4336         | 54          | 0.81374      | 126.6644      | 0.6738          | 297.8619          | 01:50 |
| 232.5584         | 54          | 0.81495      | 126.6661      | 0.6738          | 300.6331          | 01:55 |
| 232.6832         | 54          | 0.81617      | 126.6678      | 0.6738          | 303.4026          | 02:00 |
| 232.808          | 54          | 0.81738      | 126.6695      | 0.6738          | 306.1703          | 02:05 |
| 232.9328         | 54          | 0.81859      | 126.6712      | 0.6738          | 308.9362          | 02:10 |
| 233.0576         | 54          | 0.81981      | 126.6728      | 0.6738          | 311.7002          | 02:15 |
| 233.1824         | 54          | 0.82102      | 126.6745      | 0.6738          | 314.4622          | 02:20 |
| 233.3071         | 54          | 0.82224      | 126.6762      | 0.6738          | 317.2224          | 02:25 |
| 233.4319         | 54          | 0.82345      | 126.6779      | 0.6738          | 319.9805          | 02:30 |
| 233.5567         | 54          | 0.82466      | 126.6796      | 0.6738          | 322.7365          | 02:35 |
| 233.6815         | 54          | 0.82588      | 126.6813      | 0.6738          | 325.4905          | 02:40 |
| 233.8063         | 54          | 0.82709      | 126.6830      | 0.6738          | 328.2424          | 02:45 |
| 233.9311         | 54          | 0.82831      | 126.6847      | 0.6738          | 330.9922          | 02:50 |
| 234.0559         | 54          | 0.82952      | 126.6864      | 0.6738          | 333.7398          | 02:55 |
| 234.1807         | 54          | 0.83073      | 126.6881      | 0.6738          | 336.4852          | 03:00 |
| 234.3055         | 54          | 0.83195      | 126.6898      | 0.6738          | 339.2284          | 03:05 |
| 234.4303         | 54          | 0.83316      | 126.6915      | 0.6738          | 341.9693          | 03:10 |

| Total Jarak (Km) | Heading (°) | Latitude (°) | Longitude (°) | Kecepatan (m/s) | Jarak 2 titik (m) | Waktu |
|------------------|-------------|--------------|---------------|-----------------|-------------------|-------|
| 234.5551         | 54          | 0.83438      | 126.6932      | 0.6738          | 344.7079          | 03:15 |
| 234.6799         | 54          | 0.83559      | 126.6949      | 0.6738          | 347.4442          | 03:20 |
| 234.8047         | 54          | 0.8368       | 126.6966      | 0.6738          | 350.1782          | 03:25 |
| 234.9295         | 54          | 0.83802      | 126.6983      | 0.6738          | 352.9098          | 03:30 |
| 235.0543         | 54          | 0.83923      | 126.7000      | 0.6738          | 355.6391          | 03:35 |
| 235.1791         | 54          | 0.84045      | 126.7017      | 0.6738          | 358.3659          | 03:40 |
| 235.3039         | 54          | 0.84166      | 126.7034      | 0.6738          | 361.0903          | 03:45 |
| 235.4287         | 54          | 0.84287      | 126.7051      | 0.6738          | 363.8122          | 03:50 |
| 235.5535         | 54          | 0.84409      | 126.7068      | 0.6738          | 366.5316          | 03:55 |
| 235.6783         | 54          | 0.8453       | 126.7085      | 0.6738          | 369.2486          | 04:00 |
| 235.8031         | 54          | 0.84651      | 126.7102      | 0.6738          | 371.9630          | 04:05 |
| 235.9279         | 54          | 0.84773      | 126.7119      | 0.6738          | 374.6749          | 04:10 |
| 236.0527         | 54          | 0.84894      | 126.7136      | 0.6738          | 377.3842          | 04:15 |
| 236.1775         | 54          | 0.85016      | 126.7153      | 0.6738          | 380.0910          | 04:20 |
| 236.3023         | 54          | 0.85137      | 126.7170      | 0.6738          | 382.7951          | 04:25 |
| 236.4271         | 54          | 0.85258      | 126.7187      | 0.6738          | 385.4967          | 04:30 |
| 236.5519         | 54          | 0.8538       | 126.7204      | 0.6738          | 388.1956          | 04:35 |
| 236.6767         | 54          | 0.85501      | 126.7221      | 0.6738          | 390.8919          | 04:40 |
| 236.8014         | 54          | 0.85623      | 126.7238      | 0.6738          | 393.5855          | 04:45 |
| 236.9262         | 54          | 0.85744      | 126.7255      | 0.6738          | 396.2764          | 04:50 |
| 237.051          | 54          | 0.85865      | 126.7272      | 0.6738          | 398.9647          | 04:55 |
| 237.1758         | 54          | 0.85987      | 126.7289      | 0.6738          | 401.6502          | 05:00 |
| 237.3006         | 54          | 0.86108      | 126.7306      | 0.6738          | 404.3330          | 05:05 |
| 237.4254         | 54          | 0.8623       | 126.7323      | 0.6738          | 407.0131          | 05:10 |
| 237.5502         | 54          | 0.86351      | 126.7340      | 0.6738          | 409.6905          | 05:15 |
| 237.675          | 54          | 0.86472      | 126.7356      | 0.6738          | 412.3651          | 05:20 |
| 237.7998         | 54          | 0.86594      | 126.7373      | 0.6738          | 415.0369          | 05:25 |
| 237.9246         | 54          | 0.86715      | 126.7390      | 0.6738          | 417.7059          | 05:30 |
| 238.0494         | 54          | 0.86837      | 126.7407      | 0.6738          | 420.3721          | 05:35 |
| 238.1742         | 54          | 0.86958      | 126.7424      | 0.6738          | 423.0356          | 05:40 |
| 238.299          | 54          | 0.87079      | 126.7441      | 0.6738          | 425.6962          | 05:45 |
| 238.4238         | 54          | 0.87201      | 126.7458      | 0.6738          | 428.3539          | 05:50 |
| 238.5486         | 54          | 0.87322      | 126.7475      | 0.6738          | 431.0089          | 05:55 |
| 238.6734         | 54          | 0.87444      | 126.7492      | 0.6738          | 433.6610          | 06:00 |
| 238.7982         | 54          | 0.87565      | 126.7509      | 0.6738          | 436.3102          | 06:05 |
| 238.923          | 54          | 0.87686      | 126.7526      | 0.6738          | 438.9565          | 06:10 |
| 239.0478         | 54          | 0.87808      | 126.7543      | 0.6738          | 441.6000          | 06:15 |
| 239.1726         | 54          | 0.87929      | 126.7560      | 0.6738          | 444.2406          | 06:20 |
| 239.2974         | 54          | 0.88051      | 126.7577      | 0.6738          | 446.8783          | 06:25 |
| 239.4222         | 54          | 0.88172      | 126.7594      | 0.6738          | 449.5130          | 06:30 |
| 239.547          | 54          | 0.88293      | 126.7611      | 0.6738          | 452.1449          | 06:35 |

| Total Jarak (Km) | Heading (°) | Latitude (°) | Longitude (°) | Kecepatan (m/s) | Jarak 2 titik (m) | Waktu |
|------------------|-------------|--------------|---------------|-----------------|-------------------|-------|
| 239.6718         | 54          | 0.88415      | 126.7628      | 0.6738          | 454.7738          | 06:40 |
| 239.7966         | 54          | 0.88536      | 126.7645      | 0.6738          | 457.3999          | 06:45 |
| 239.9214         | 54          | 0.88658      | 126.7662      | 0.6738          | 460.0229          | 06:50 |
| 240.0462         | 54          | 0.88779      | 126.7679      | 0.6738          | 462.6430          | 06:55 |
| 240.171          | 54          | 0.889        | 126.7696      | 0.6738          | 465.2602          | 07:00 |
| 240.2957         | 54          | 0.89022      | 126.7713      | 0.6738          | 467.8744          | 07:05 |
| 240.4205         | 54          | 0.89143      | 126.7730      | 0.6738          | 470.4856          | 07:10 |
| 240.5453         | 54          | 0.89265      | 126.7747      | 0.6738          | 473.0939          | 07:15 |
| 240.6701         | 54          | 0.89386      | 126.7764      | 0.6738          | 475.6992          | 07:20 |
| 240.7949         | 54          | 0.89507      | 126.7781      | 0.6738          | 478.3015          | 07:25 |
| 240.9197         | 54          | 0.89629      | 126.7798      | 0.6738          | 480.9008          | 07:30 |
| 241.0445         | 54          | 0.8975       | 126.7815      | 0.6738          | 483.4971          | 07:35 |
| 241.1693         | 54          | 0.89872      | 126.7832      | 0.6738          | 486.0904          | 07:40 |
| 241.2941         | 54          | 0.89993      | 126.7849      | 18.7714         | 8264.4537         | 07:45 |

b. Data AIS Kapal 2 Skenario 1.1a Terduga Melakukan *Transshipment*

| Total Jarak (Km) | Heading | Latitude | Longitude | Kecepatan (m/s) | Waktu |
|------------------|---------|----------|-----------|-----------------|-------|
| 204.7714         | 55      | 0.68067  | 126.457   | 17.9343         | 14:10 |
| 204.8612         | 55      | 0.68154  | 126.458   | 0.48471         | 14:15 |
| 204.951          | 55      | 0.6824   | 126.46    | 0.48471         | 14:20 |
| 205.0407         | 55      | 0.68326  | 126.461   | 0.48471         | 14:25 |
| 205.1305         | 55      | 0.68413  | 126.462   | 0.48471         | 14:30 |
| 205.2203         | 55      | 0.68499  | 126.463   | 0.48471         | 14:35 |
| 205.31           | 55      | 0.68586  | 126.464   | 0.48471         | 14:40 |
| 205.3998         | 55      | 0.68672  | 126.466   | 0.48471         | 14:45 |
| 205.4896         | 55      | 0.68758  | 126.467   | 0.48471         | 14:50 |
| 205.5793         | 55      | 0.68845  | 126.468   | 0.48471         | 14:55 |
| 205.6691         | 55      | 0.68931  | 126.469   | 0.48471         | 15:00 |
| 205.7589         | 55      | 0.69018  | 126.471   | 0.48471         | 15:05 |
| 205.8486         | 55      | 0.69104  | 126.472   | 0.48471         | 15:10 |
| 205.9384         | 55      | 0.6919   | 126.473   | 0.48471         | 15:15 |
| 206.0282         | 55      | 0.69277  | 126.474   | 0.48471         | 15:20 |
| 206.1118         | 55      | 0.69363  | 126.475   | 0.48471         | 15:25 |
| 206.2077         | 55      | 0.6945   | 126.477   | 0.48471         | 15:30 |
| 206.2975         | 55      | 0.69536  | 126.478   | 0.48471         | 15:35 |
| 206.3873         | 55      | 0.69623  | 126.479   | 0.48471         | 15:40 |
| 206.477          | 55      | 0.69709  | 126.48    | 0.48471         | 15:45 |
| 206.5668         | 55      | 0.69795  | 126.481   | 0.48471         | 15:50 |
| 206.6566         | 55      | 0.69882  | 126.483   | 0.48471         | 15:55 |

| Total Jarak<br>(Km) | Heading | Latitude | Longitude | Kecepatan<br>(m/s) | Waktu |
|---------------------|---------|----------|-----------|--------------------|-------|
| 206.7463            | 55      | 0.69968  | 126.484   | 0.48471            | 16:00 |
| 206.8361            | 55      | 0.70055  | 126.485   | 0.48471            | 16:05 |
| 206.9259            | 55      | 0.70141  | 126.486   | 0.48471            | 16:10 |
| 207.0156            | 55      | 0.70227  | 126.488   | 0.48471            | 16:15 |
| 207.1054            | 55      | 0.70314  | 126.489   | 0.48471            | 16:20 |
| 207.1952            | 55      | 0.704    | 126.49    | 0.48471            | 16:25 |
| 207.209             | 55      | 0.70413  | 126.49    | 0.07457            | 16:30 |
| 207.2228            | 55      | 0.70427  | 126.49    | 0.07457            | 16:35 |
| 207.2366            | 55      | 0.7044   | 126.491   | 0.07457            | 16:40 |
| 207.2504            | 55      | 0.70453  | 126.491   | 0.07457            | 16:45 |
| 207.2642            | 55      | 0.70467  | 126.491   | 0.07457            | 16:50 |
| 207.278             | 55      | 0.7048   | 126.491   | 0.07457            | 16:55 |
| 207.2918            | 55      | 0.70493  | 126.491   | 0.07457            | 17:00 |
| 207.3057            | 55      | 0.70507  | 126.492   | 0.07457            | 17:05 |
| 207.3195            | 55      | 0.7052   | 126.492   | 0.07457            | 17:10 |
| 207.3333            | 55      | 0.70533  | 126.492   | 0.07457            | 17:15 |
| 207.3471            | 55      | 0.70546  | 126.492   | 0.07457            | 17:20 |
| 207.3609            | 55      | 0.7056   | 126.492   | 0.07457            | 17:25 |
| 207.3747            | 55      | 0.70573  | 126.492   | 0.48471            | 17:30 |
| 207.4645            | 55      | 0.70659  | 126.494   | 0.48471            | 17:35 |
| 207.5542            | 55      | 0.70746  | 126.495   | 0.48471            | 17:40 |
| 207.644             | 55      | 0.70832  | 126.496   | 0.48471            | 17:45 |
| 207.7338            | 55      | 0.70919  | 126.497   | 0.48471            | 17:50 |
| 207.8236            | 55      | 0.71005  | 126.499   | 0.48471            | 17:55 |
| 207.9133            | 55      | 0.71091  | 126.5     | 0.48471            | 18:00 |
| 208.0031            | 55      | 0.71178  | 126.501   | 0.48471            | 18:05 |
| 208.0929            | 55      | 0.71264  | 126.502   | 0.48471            | 18:10 |
| 208.1826            | 55      | 0.71351  | 126.503   | 0.48471            | 18:15 |
| 208.2724            | 55      | 0.71437  | 126.505   | 0.48471            | 18:20 |
| 208.3622            | 55      | 0.71524  | 126.506   | 0.48471            | 18:25 |
| 208.4519            | 55      | 0.7161   | 126.507   | 0.48471            | 18:30 |
| 208.5417            | 55      | 0.71696  | 126.508   | 0.48471            | 18:35 |
| 208.6315            | 55      | 0.71783  | 126.51    | 0.48471            | 18:40 |
| 208.7212            | 55      | 0.71869  | 126.511   | 0.48471            | 18:45 |
| 208.811             | 55      | 0.71956  | 126.512   | 0.48471            | 18:50 |
| 208.9008            | 55      | 0.72042  | 126.513   | 0.48471            | 18:55 |
| 208.9905            | 55      | 0.72128  | 126.514   | 0.48471            | 19:00 |
| 209.0803            | 55      | 0.72215  | 126.516   | 0.48471            | 19:05 |
| 209.1701            | 55      | 0.72301  | 126.517   | 0.48471            | 19:10 |
| 209.2598            | 55      | 0.72388  | 126.518   | 0.48471            | 19:15 |
| 209.3496            | 55      | 0.72474  | 126.519   | 0.48471            | 19:20 |

| Total Jarak (Km) | Heading | Latitude | Longitude | Kecepatan (m/s) | Waktu |
|------------------|---------|----------|-----------|-----------------|-------|
| 209.4394         | 55      | 0.7256   | 126.521   | 0.48471         | 19:25 |
| 209.5292         | 55      | 0.72647  | 126.522   | 0.48471         | 19:30 |
| 209.6189         | 55      | 0.72733  | 126.523   | 0.48471         | 19:35 |
| 209.7087         | 55      | 0.7282   | 126.524   | 0.48471         | 19:40 |
| 209.7985         | 55      | 0.72906  | 126.525   | 0.48471         | 19:45 |
| 209.8882         | 55      | 0.72992  | 126.527   | 0.48471         | 19:50 |
| 209.978          | 55      | 0.73079  | 126.528   | 0.48471         | 19:55 |
| 210.0678         | 55      | 0.73165  | 126.529   | 0.48471         | 20:00 |
| 210.1575         | 55      | 0.73252  | 126.53    | 0.48471         | 20:05 |
| 210.2473         | 55      | 0.73338  | 126.532   | 0.48471         | 20:10 |
| 210.3371         | 55      | 0.73425  | 126.533   | 0.48471         | 20:15 |
| 210.4268         | 55      | 0.73511  | 126.534   | 0.48471         | 20:20 |
| 210.5166         | 55      | 0.73597  | 126.535   | 0.48471         | 20:25 |
| 210.6064         | 55      | 0.73684  | 126.536   | 0.48471         | 20:30 |
| 210.6961         | 55      | 0.7377   | 126.538   | 0.48471         | 20:35 |
| 210.7859         | 55      | 0.73857  | 126.539   | 0.48471         | 20:40 |
| 210.8757         | 55      | 0.73943  | 126.54    | 0.48471         | 20:45 |
| 210.9654         | 55      | 0.74029  | 126.541   | 0.48471         | 20:50 |
| 211.0552         | 55      | 0.74116  | 126.543   | 0.48471         | 20:55 |
| 211.145          | 55      | 0.74202  | 126.544   | 0.48471         | 21:00 |
| 211.2347         | 55      | 0.74289  | 126.545   | 0.48471         | 21:05 |
| 211.3245         | 55      | 0.74375  | 126.546   | 0.48471         | 21:10 |
| 211.4143         | 55      | 0.74461  | 126.547   | 0.48471         | 21:15 |
| 211.5041         | 55      | 0.74548  | 126.549   | 0.48471         | 21:20 |
| 211.5938         | 55      | 0.74634  | 126.55    | 0.48471         | 21:25 |
| 211.6836         | 55      | 0.74721  | 126.551   | 0.48471         | 21:30 |
| 211.7734         | 55      | 0.74807  | 126.552   | 0.48471         | 21:35 |
| 211.8631         | 55      | 0.74893  | 126.554   | 0.48471         | 21:40 |
| 211.9529         | 55      | 0.7498   | 126.555   | 0.48471         | 21:45 |
| 212.0427         | 55      | 0.75066  | 126.556   | 0.48471         | 21:50 |
| 212.1324         | 55      | 0.75153  | 126.557   | 0.48471         | 21:55 |
| 212.2222         | 55      | 0.75239  | 126.558   | 0.48471         | 22:00 |
| 212.312          | 55      | 0.75326  | 126.56    | 0.48471         | 22:05 |
| 212.4017         | 55      | 0.75412  | 126.561   | 0.48471         | 22:10 |
| 212.4915         | 55      | 0.75498  | 126.562   | 0.48471         | 22:15 |
| 212.5813         | 55      | 0.75585  | 126.563   | 0.48471         | 22:20 |
| 212.671          | 55      | 0.75671  | 126.565   | 0.48471         | 22:25 |
| 212.7608         | 55      | 0.75758  | 126.566   | 0.48471         | 22:30 |
| 212.8506         | 55      | 0.75844  | 126.567   | 0.48471         | 22:35 |
| 212.9403         | 55      | 0.7593   | 126.568   | 0.48471         | 22:40 |
| 213.0301         | 55      | 0.76017  | 126.569   | 0.48471         | 22:45 |

| Total Jarak<br>(Km) | Heading | Latitude | Longitude | Kecepatan<br>(m/s) | Waktu |
|---------------------|---------|----------|-----------|--------------------|-------|
| 213.1199            | 55      | 0.76103  | 126.571   | 0.48471            | 22:50 |
| 213.2097            | 55      | 0.7619   | 126.572   | 0.48471            | 22:55 |
| 213.2994            | 55      | 0.76276  | 126.573   | 0.48471            | 23:00 |
| 213.3892            | 55      | 0.76362  | 126.574   | 0.48471            | 23:05 |
| 213.479             | 55      | 0.76449  | 126.575   | 0.48471            | 23:10 |
| 213.5687            | 55      | 0.76535  | 126.577   | 0.48471            | 23:15 |
| 213.6585            | 55      | 0.76622  | 126.578   | 0.48471            | 23:20 |
| 213.7483            | 55      | 0.76708  | 126.579   | 0.48471            | 23:25 |
| 213.838             | 55      | 0.76794  | 126.58    | 0.48471            | 23:30 |
| 213.9278            | 55      | 0.76881  | 126.582   | 0.48471            | 23:35 |
| 214.0176            | 55      | 0.76967  | 126.583   | 0.48471            | 23:40 |
| 214.1073            | 55      | 0.77054  | 126.584   | 0.48471            | 23:45 |
| 214.1971            | 55      | 0.7714   | 126.585   | 0.48471            | 23:50 |
| 214.2869            | 55      | 0.77227  | 126.586   | 0.48471            | 23:55 |
| 214.3766            | 55      | 0.77313  | 126.588   | 0.48471            | 00:00 |
| 214.4664            | 55      | 0.77399  | 126.589   | 0.48471            | 00:05 |
| 214.5562            | 55      | 0.77486  | 126.59    | 0.48471            | 00:10 |
| 214.6459            | 55      | 0.77572  | 126.591   | 0.48471            | 00:15 |
| 214.7357            | 55      | 0.77659  | 126.593   | 0.48471            | 00:20 |
| 214.8255            | 55      | 0.77745  | 126.594   | 0.48471            | 00:25 |
| 214.9153            | 55      | 0.77831  | 126.595   | 0.48471            | 00:30 |
| 215.005             | 55      | 0.77918  | 126.596   | 0.48471            | 00:35 |
| 215.0948            | 55      | 0.78004  | 126.597   | 0.48471            | 00:40 |
| 215.1846            | 55      | 0.78091  | 126.599   | 0.48471            | 00:45 |
| 215.2743            | 55      | 0.78177  | 126.6     | 0.48471            | 00:50 |
| 215.3641            | 55      | 0.78263  | 126.601   | 0.48471            | 00:55 |
| 215.4539            | 55      | 0.7835   | 126.602   | 0.48471            | 01:00 |
| 215.5436            | 55      | 0.78436  | 126.604   | 0.48471            | 01:05 |
| 215.6334            | 55      | 0.78523  | 126.605   | 0.48471            | 01:10 |
| 215.7232            | 55      | 0.78609  | 126.606   | 0.48471            | 01:15 |
| 215.8129            | 55      | 0.78695  | 126.607   | 0.48471            | 01:20 |
| 215.9027            | 55      | 0.78782  | 126.608   | 0.48471            | 01:25 |
| 215.9925            | 55      | 0.78868  | 126.61    | 0.48471            | 01:30 |
| 216.0822            | 55      | 0.78955  | 126.611   | 0.48471            | 01:35 |
| 216.172             | 55      | 0.79041  | 126.612   | 0.48471            | 01:40 |
| 216.2618            | 55      | 0.79128  | 126.613   | 0.48471            | 01:45 |
| 216.3515            | 55      | 0.79214  | 126.615   | 0.48471            | 01:50 |
| 216.4413            | 55      | 0.793    | 126.616   | 0.48471            | 01:55 |
| 216.5311            | 55      | 0.79387  | 126.617   | 0.48471            | 02:00 |
| 216.6208            | 55      | 0.79473  | 126.618   | 0.48471            | 02:05 |
| 216.7106            | 55      | 0.7956   | 126.619   | 0.48471            | 02:10 |

| Total Jarak<br>(Km) | Heading | Latitude | Longitude | Kecepatan<br>(m/s) | Waktu |
|---------------------|---------|----------|-----------|--------------------|-------|
| 216.8004            | 55      | 0.79646  | 126.621   | 0.48471            | 02:15 |
| 216.8902            | 55      | 0.79732  | 126.622   | 0.48471            | 02:20 |
| 216.9799            | 55      | 0.79819  | 126.623   | 0.48471            | 02:25 |
| 217.0697            | 55      | 0.79905  | 126.624   | 0.48471            | 02:30 |
| 217.1595            | 55      | 0.79992  | 126.626   | 0.48471            | 02:35 |
| 217.2492            | 55      | 0.80078  | 126.627   | 0.48471            | 02:40 |
| 217.339             | 55      | 0.80164  | 126.628   | 0.48471            | 02:45 |
| 217.4288            | 55      | 0.80251  | 126.629   | 0.48471            | 02:50 |
| 217.5185            | 55      | 0.80337  | 126.63    | 0.48471            | 02:55 |
| 217.6083            | 55      | 0.80424  | 126.632   | 0.48471            | 03:00 |
| 217.6981            | 55      | 0.8051   | 126.633   | 0.48471            | 03:05 |
| 217.7878            | 55      | 0.80596  | 126.634   | 0.48471            | 03:10 |
| 217.8776            | 55      | 0.80683  | 126.635   | 0.48471            | 03:15 |
| 217.9674            | 55      | 0.80769  | 126.637   | 0.48471            | 03:20 |
| 218.0571            | 55      | 0.80856  | 126.638   | 0.48471            | 03:25 |
| 218.1469            | 55      | 0.80942  | 126.639   | 0.48471            | 03:30 |
| 218.2367            | 55      | 0.81029  | 126.64    | 0.48471            | 03:35 |
| 218.3264            | 55      | 0.81115  | 126.641   | 0.48471            | 03:40 |
| 218.4162            | 55      | 0.81201  | 126.643   | 0.48471            | 03:45 |
| 218.506             | 55      | 0.81288  | 126.644   | 0.48471            | 03:50 |
| 218.5958            | 55      | 0.81374  | 126.645   | 0.48471            | 03:55 |
| 218.6855            | 55      | 0.81461  | 126.646   | 0.48471            | 04:00 |
| 218.7753            | 55      | 0.81547  | 126.648   | 0.48471            | 04:05 |
| 218.8651            | 55      | 0.81633  | 126.649   | 0.48471            | 04:10 |
| 218.9548            | 55      | 0.8172   | 126.65    | 0.48471            | 04:15 |
| 219.0446            | 55      | 0.81806  | 126.651   | 0.48471            | 04:20 |
| 219.1344            | 55      | 0.81893  | 126.652   | 0.48471            | 04:25 |
| 219.2241            | 55      | 0.81979  | 126.654   | 0.48471            | 04:30 |
| 219.3139            | 55      | 0.82065  | 126.655   | 0.48471            | 04:35 |
| 219.4037            | 55      | 0.82152  | 126.656   | 0.48471            | 04:40 |
| 219.4934            | 55      | 0.82238  | 126.657   | 0.48471            | 04:45 |
| 219.5832            | 55      | 0.82325  | 126.659   | 0.48471            | 04:50 |
| 219.673             | 55      | 0.82411  | 126.66    | 0.48471            | 04:55 |
| 219.7627            | 55      | 0.82497  | 126.661   | 0.48471            | 05:00 |
| 219.8525            | 55      | 0.82584  | 126.662   | 0.48471            | 05:05 |
| 219.9423            | 55      | 0.8267   | 126.663   | 0.48471            | 05:10 |
| 220.032             | 55      | 0.82757  | 126.665   | 0.48471            | 05:15 |
| 220.1218            | 55      | 0.82843  | 126.666   | 0.48471            | 05:20 |
| 220.2116            | 55      | 0.8293   | 126.667   | 0.48471            | 05:25 |
| 220.3014            | 55      | 0.83016  | 126.668   | 0.48471            | 05:30 |
| 220.3911            | 55      | 0.83102  | 126.669   | 0.48471            | 05:35 |

| Total Jarak<br>(Km) | Heading | Latitude | Longitude | Kecepatan<br>(m/s) | Waktu |
|---------------------|---------|----------|-----------|--------------------|-------|
| 220.4809            | 55      | 0.83189  | 126.671   | 0.48471            | 05:40 |
| 220.5707            | 55      | 0.83275  | 126.672   | 0.48471            | 05:45 |
| 220.6604            | 55      | 0.83362  | 126.673   | 0.48471            | 05:50 |
| 220.7502            | 55      | 0.83448  | 126.674   | 0.48471            | 05:55 |
| 220.84              | 55      | 0.83534  | 126.676   | 0.48471            | 06:00 |
| 220.9297            | 55      | 0.83621  | 126.677   | 0.48471            | 06:05 |
| 221.0195            | 55      | 0.83707  | 126.678   | 0.48471            | 06:10 |
| 221.1093            | 55      | 0.83794  | 126.679   | 0.48471            | 06:15 |
| 221.199             | 55      | 0.8388   | 126.68    | 0.48471            | 06:20 |
| 221.2888            | 55      | 0.83966  | 126.682   | 0.48471            | 06:25 |
| 221.3786            | 55      | 0.84053  | 126.683   | 0.48471            | 06:30 |
| 221.4683            | 55      | 0.84139  | 126.684   | 0.48471            | 06:35 |
| 221.5581            | 55      | 0.84226  | 126.685   | 0.48471            | 06:40 |
| 221.6479            | 55      | 0.84312  | 126.687   | 0.48471            | 06:45 |
| 221.7376            | 55      | 0.84398  | 126.688   | 0.48471            | 06:50 |
| 221.8274            | 55      | 0.84485  | 126.689   | 0.48471            | 06:55 |
| 221.9172            | 55      | 0.84571  | 126.69    | 0.48471            | 07:00 |
| 222.0069            | 55      | 0.84658  | 126.691   | 0.48471            | 07:05 |
| 222.0967            | 55      | 0.84744  | 126.693   | 0.48471            | 07:10 |
| 222.1865            | 55      | 0.84831  | 126.694   | 0.48471            | 07:15 |
| 222.2763            | 55      | 0.84917  | 126.695   | 0.48471            | 07:20 |
| 222.366             | 55      | 0.85003  | 126.696   | 0.48471            | 07:25 |
| 222.4558            | 55      | 0.8509   | 126.698   | 0.48471            | 07:30 |
| 222.5456            | 55      | 0.85176  | 126.699   | 0.48471            | 07:35 |
| 222.6353            | 55      | 0.85263  | 126.7     | 0.48471            | 07:40 |
| 222.7251            | 55      | 0.85349  | 126.701   | 0.48471            | 07:45 |
| 222.8149            | 55      | 0.85435  | 126.702   | 0.48471            | 07:50 |
| 222.9046            | 55      | 0.85522  | 126.704   | 0.48471            | 07:55 |
| 222.9944            | 55      | 0.85608  | 126.705   | 0.48471            | 08:00 |
| 223.0842            | 55      | 0.85695  | 126.706   | 0.48471            | 08:05 |
| 223.1739            | 55      | 0.85781  | 126.707   | 0.48471            | 08:10 |
| 223.2637            | 55      | 0.85867  | 126.709   | 0.48471            | 08:15 |
| 223.3535            | 55      | 0.85954  | 126.71    | 0.48471            | 08:20 |
| 223.4432            | 55      | 0.8604   | 126.711   | 0.48471            | 08:25 |
| 223.533             | 55      | 0.86127  | 126.712   | 0.48471            | 08:30 |
| 223.6228            | 55      | 0.86213  | 126.713   | 0.48471            | 08:35 |
| 223.7125            | 55      | 0.86299  | 126.715   | 0.48471            | 08:40 |
| 223.8023            | 55      | 0.86386  | 126.716   | 0.48471            | 08:45 |
| 223.8921            | 55      | 0.86472  | 126.717   | 0.48471            | 08:50 |
| 223.9819            | 55      | 0.86559  | 126.718   | 0.48471            | 08:55 |
| 224.0716            | 55      | 0.86645  | 126.72    | 0.48471            | 09:00 |

| Total Jarak<br>(Km) | Heading | Latitude | Longitude | Kecepatan<br>(m/s) | Waktu |
|---------------------|---------|----------|-----------|--------------------|-------|
| 224.1614            | 55      | 0.86732  | 126.721   | 0.48471            | 09:05 |
| 224.2512            | 55      | 0.86818  | 126.722   | 0.48471            | 09:10 |
| 224.3409            | 55      | 0.86904  | 126.723   | 0.48471            | 09:15 |
| 224.4307            | 55      | 0.86991  | 126.724   | 0.48471            | 09:20 |
| 224.5205            | 55      | 0.87077  | 126.726   | 0.48471            | 09:25 |
| 224.6102            | 55      | 0.87164  | 126.727   | 0.48471            | 09:30 |
| 224.7               | 55      | 0.8725   | 126.728   | 17.9343            | 09:35 |

c. Data AIS Kapal 1 Skenario 1.2a Terduga Melakukan *Transshipment*

| Total Jarak<br>(Km) | Heading<br>(°) | Latitude<br>(°) | Longitude<br>(°) | Kecepatan<br>(m/s) | Jarak 2<br>titik (m) | Waktu |
|---------------------|----------------|-----------------|------------------|--------------------|----------------------|-------|
| 0.9124              | 59             | -1.24992        | 124.1999         | 4.9265             | 1709.232             | 15:40 |
| 1.8248              | 59             | -1.24205        | 124.2128         | 4.9265             | 1555.601             | 15:45 |
| 2.7372              | 59             | -1.23417        | 124.2256         | 4.9265             | 1458.616             | 15:50 |
| 3.6496              | 59             | -1.22629        | 124.2384         | 4.9265             | 1359.021             | 15:55 |
| 4.562               | 59             | -1.21842        | 124.2512         | 4.9265             | 1217.293             | 16:00 |
| 5.4744              | 59             | -1.21054        | 124.2641         | 4.9265             | 1110.205             | 16:05 |
| 6.3868              | 59             | -1.20266        | 124.2769         | 4.9265             | 980.0171             | 16:10 |
| 7.2991              | 59             | -1.19479        | 124.2897         | 4.9265             | 883.921              | 16:15 |
| 8.2115              | 59             | -1.18691        | 124.3025         | 4.9265             | 798.2342             | 16:20 |
| 9.1239              | 59             | -1.17904        | 124.3154         | 4.9265             | 695.3388             | 16:25 |
| 10.036              | 59             | -1.17116        | 124.3282         | 4.9265             | 593.4859             | 16:30 |
| 10.949              | 59             | -1.16328        | 124.341          | 4.9265             | 489.4327             | 16:35 |
| 11.861              | 59             | -1.15541        | 124.3538         | 4.9265             | 332.1194             | 16:40 |
| 12.774              | 59             | -1.14753        | 124.3667         | 4.9265             | 103.8457             | 16:45 |
| 12.831              | 59             | -1.14704        | 124.3675         | 0.3079             | 101.752              | 16:50 |
| 12.888              | 59             | -1.14654        | 124.3683         | 0.3079             | 99.65936             | 16:55 |
| 12.945              | 59             | -1.14605        | 124.3691         | 0.3079             | 97.56786             | 17:00 |
| 13.002              | 59             | -1.14556        | 124.3699         | 0.3079             | 95.47759             | 17:05 |
| 13.059              | 59             | -1.14507        | 124.3707         | 0.3079             | 93.38869             | 17:10 |
| 13.116              | 59             | -1.14458        | 124.3715         | 0.3079             | 91.30128             | 17:15 |
| 13.173              | 59             | -1.14408        | 124.3723         | 0.3079             | 89.2155              | 17:20 |
| 13.23               | 59             | -1.14359        | 124.3731         | 0.3079             | 87.13152             | 17:25 |
| 13.287              | 59             | -1.1431         | 124.3739         | 0.3079             | 85.0495              | 17:30 |
| 13.344              | 59             | -1.14261        | 124.3747         | 0.3079             | 82.96965             | 17:35 |
| 13.401              | 59             | -1.14211        | 124.3755         | 0.3079             | 80.89215             | 17:40 |
| 13.458              | 59             | -1.14162        | 124.3763         | 0.3079             | 78.81726             | 17:45 |
| 13.515              | 59             | -1.14113        | 124.3771         | 0.3079             | 76.74522             | 17:50 |
| 13.572              | 59             | -1.14064        | 124.3779         | 0.3079             | 74.67632             | 17:55 |
| 13.629              | 59             | -1.14014        | 124.3787         | 0.3079             | 72.61088             | 18:00 |
| 13.686              | 59             | -1.13965        | 124.3795         | 4.9265             | 70.54926             | 18:05 |

| Total Jarak (Km) | Heading (°) | Latitude (°) | Longitude (°) | Kecepatan (m/s) | Jarak 2 titik (m) | Waktu |
|------------------|-------------|--------------|---------------|-----------------|-------------------|-------|
| 13.714           | 59          | -1.13941     | 124.3799      | 0.1493          | 66.53748          | 18:10 |
| 13.741           | 59          | -1.13918     | 124.3803      | 0.1493          | 62.52876          | 18:15 |
| 13.769           | 59          | -1.13894     | 124.3807      | 0.1493          | 58.5241           | 18:20 |
| 13.796           | 59          | -1.1387      | 124.381       | 0.1493          | 54.52478          | 18:25 |
| 13.824           | 59          | -1.13846     | 124.3814      | 0.1493          | 50.53249          | 18:30 |
| 13.852           | 59          | -1.13822     | 124.3818      | 0.1493          | 46.54949          | 18:35 |
| 13.879           | 59          | -1.13798     | 124.3822      | 0.1493          | 42.57891          | 18:40 |
| 13.907           | 59          | -1.13774     | 124.3826      | 0.1493          | 38.62511          | 18:45 |
| 13.935           | 59          | -1.1375      | 124.383       | 0.1493          | 34.69445          | 18:50 |
| 13.962           | 59          | -1.13727     | 124.3834      | 0.1493          | 30.7965           | 18:55 |
| 13.99            | 59          | -1.13703     | 124.3838      | 0.1493          | 26.94625          | 19:00 |
| 14.018           | 59          | -1.13679     | 124.3842      | 0.1493          | 23.16841          | 19:05 |
| 14.045           | 59          | -1.13655     | 124.3845      | 0.1493          | 19.50622          | 19:10 |
| 14.073           | 59          | -1.13631     | 124.3849      | 0.1493          | 16.04043          | 19:15 |
| 14.101           | 59          | -1.13607     | 124.3853      | 0.1493          | 12.93161          | 19:20 |
| 14.128           | 59          | -1.13583     | 124.3857      | 0.1493          | 10.50376          | 19:25 |
| 14.156           | 59          | -1.13559     | 124.3861      | 0.1493          | 9.929682          | 19:30 |
| 14.184           | 59          | -1.13536     | 124.3865      | 0.1493          | 9.803776          | 19:35 |
| 14.211           | 59          | -1.13512     | 124.3869      | 0.1493          | 10.143            | 19:40 |
| 14.239           | 59          | -1.13488     | 124.3873      | 0.1493          | 10.90426          | 19:45 |
| 14.267           | 59          | -1.13464     | 124.3877      | 0.1493          | 12.00777          | 19:50 |
| 14.294           | 59          | -1.1344      | 124.388       | 0.1493          | 13.36923          | 19:55 |
| 14.322           | 59          | -1.13416     | 124.3884      | 0.1493          | 14.91837          | 20:00 |
| 14.349           | 59          | -1.13392     | 124.3888      | 0.1493          | 16.60288          | 20:05 |
| 14.377           | 59          | -1.13369     | 124.3892      | 0.1493          | 18.38573          | 20:10 |
| 14.405           | 59          | -1.13345     | 124.3896      | 0.1493          | 20.24108          | 20:15 |
| 14.432           | 59          | -1.13321     | 124.39        | 0.1493          | 22.15084          | 20:20 |
| 14.128           | 59          | -1.13297     | 124.3904      | 0.1493          | 24.10218          | 20:25 |
| 14.156           | 59          | -1.13273     | 124.3908      | 0.1493          | 26.08587          | 20:30 |
| 14.184           | 59          | -1.13249     | 124.3912      | 0.1493          | 28.09515          | 20:35 |
| 14.211           | 59          | -1.13225     | 124.3915      | 0.1493          | 30.12499          | 20:40 |
| 14.239           | 59          | -1.13201     | 124.3919      | 0.1493          | 32.17158          | 20:45 |
| 14.598           | 59          | -1.13178     | 124.3923      | 4.9265          | 34.23198          | 20:50 |
| 15.511           | 59          | -1.1239      | 124.4051      | 4.9265          | 34.2439           | 20:55 |
| 16.423           | 59          | -1.11602     | 124.418       | 4.9265          | 88.51089          | 21:00 |
| 17.335           | 59          | -1.10815     | 124.4308      | 4.9265          | 145.8567          | 21:05 |
| 18.248           | 59          | -1.10027     | 124.4436      | 4.9265          | 203.9854          | 21:10 |
| 19.16            | 59          | -1.09239     | 124.4564      | 4.9265          | 262.5999          | 21:15 |
| 20.073           | 59          | -1.08452     | 124.4693      | 4.9265          | 321.6157          | 21:20 |
| 20.985           | 59          | -1.07664     | 124.4821      | 4.9265          | 380.9987          | 21:25 |
| 21.897           | 59          | -1.06876     | 124.4949      | 4.9265          | 440.7315          | 21:30 |
| 22.81            | 59          | -1.06089     | 124.5078      | 4.9265          | 500.8039          | 21:35 |
| 23.722           | 59          | -1.05301     | 124.5206      | 4.9265          | 561.2089          | 21:40 |
| 24.635           | 59          | -1.04513     | 124.5334      | 4.9265          | 621.9412          | 21:45 |

| Total Jarak (Km) | Heading (°) | Latitude (°) | Longitude (°) | Kecepatan (m/s) | Jarak 2 titik (m) | Waktu |
|------------------|-------------|--------------|---------------|-----------------|-------------------|-------|
| 25.547           | 59          | -1.03726     | 124.5462      | 4.9265          | 682.9965          | 21:50 |
| 26.459           | 59          | -1.02938     | 124.5591      | 4.9265          | 744.3711          | 21:55 |
| 27.372           | 59          | -1.02151     | 124.5719      | 4.9265          | 806.0618          | 22:00 |
| 28.284           | 59          | -1.01363     | 124.5847      | 4.9265          | 868.0654          | 22:05 |
| 29.197           | 59          | -1.00575     | 124.5975      | 4.9265          | 930.379           | 22:10 |
| 30.109           | 59          | -0.99788     | 124.6104      | 4.9265          | 992.9998          | 22:15 |
| 31.021           | 59          | -0.99        | 124.6232      | 4.9265          | 1055.925          | 22:20 |
| 31.934           | 59          | -0.98212     | 124.636       | 4.9265          | 1119.152          | 22:25 |
| 32.846           | 59          | -0.97425     | 124.6488      | 4.9265          | 1096.001          | 22:30 |
| 33.759           | 59          | -0.96637     | 124.6617      | 4.9265          | 904.9468          | 22:35 |
| 34.671           | 59          | -0.95849     | 124.6745      | 4.9265          | 694.1948          | 22:40 |
| 35.583           | 59          | -0.95062     | 124.6873      | 4.9265          | 490.4608          | 22:45 |
| 36.496           | 59          | -0.94274     | 124.7001      | 4.9265          | 246.2155          | 22:50 |
| 37.408           | 59          | -0.93486     | 124.713       | 4.9265          | 251.5038          | 22:55 |
| 38.321           | 59          | -0.92699     | 124.7258      | 4.9265          | 256.8266          | 23:00 |
| 39.233           | 59          | -0.91911     | 124.7386      | 4.9265          | 262.1828          | 23:05 |
| 40.145           | 59          | -0.91123     | 124.7514      | 4.9265          | 267.5712          | 23:10 |
| 41.058           | 59          | -0.90336     | 124.7643      | 4.9265          | 272.9908          | 23:15 |
| 41.97            | 59          | -0.89548     | 124.7771      | 4.9265          | 335.8225          | 23:20 |
| 42.882           | 59          | -0.8876      | 124.7899      | 4.9265          | 400.3749          | 23:25 |
| 43.795           | 59          | -0.87973     | 124.8028      | 4.9265          | 466.0763          | 23:30 |
| 44.707           | 59          | -0.87185     | 124.8156      | 4.9265          | 532.6253          | 23:35 |
| 45.62            | 59          | -0.86398     | 124.8284      | 4.9265          | 599.8487          | 23:40 |
| 46.532           | 59          | -0.8561      | 124.8412      | 4.9265          | 667.6398          | 23:45 |
| 47.444           | 59          | -0.84822     | 124.8541      | 4.9265          | 735.9288          | 23:50 |
| 48.357           | 59          | -0.84035     | 124.8669      | 4.9265          | 804.6678          | 23:55 |
| 49.269           | 59          | -0.83247     | 124.8797      | 4.9265          | 873.8225          | 00:00 |
| 50.182           | 59          | -0.82459     | 124.8925      | 4.9265          | 943.3675          | 00:05 |
| 51.094           | 59          | -0.81672     | 124.9054      | 4.9265          | 1013.283          | 00:10 |
| 52.006           | 59          | -0.80884     | 124.9182      | 4.9265          | 1083.554          | 00:15 |
| 52.919           | 59          | -0.80096     | 124.931       | 4.9265          | 1154.167          | 00:20 |
| 53.831           | 59          | -0.79309     | 124.9438      | 4.9265          | 1164.261          | 00:25 |
| 54.744           | 59          | -0.78521     | 124.9567      | 4.9265          | 1174.355          | 00:30 |
| 55.656           | 59          | -0.77733     | 124.9695      | 4.9265          | 1184.448          | 00:35 |
| 56.568           | 59          | -0.76946     | 124.9823      | 4.9265          | 1194.539          | 00:40 |
| 57.481           | 59          | -0.76158     | 124.9951      | 4.9265          | 1204.626          | 00:45 |
| 58.393           | 59          | -0.7537      | 125.008       | 4.9265          | 1214.709          | 00:50 |
| 59.306           | 59          | -0.74583     | 125.0208      | 4.9265          | 1224.787          | 00:55 |
| 60.218           | 59          | -0.73795     | 125.0336      | 4.9265          | 1234.859          | 01:00 |
| 61.13            | 59          | -0.73007     | 125.0464      | 4.9265          | 1244.923          | 01:05 |
| 62.043           | 59          | -0.7222      | 125.0593      | 4.9265          | 1254.979          | 01:10 |
| 62.955           | 59          | -0.71432     | 125.0721      | 4.9265          | 1265.025          | 01:15 |
| 63.868           | 59          | -0.70645     | 125.0849      | 4.9265          | 1275.061          | 01:20 |
| 64.78            | 59          | -0.69857     | 125.0978      | 4.9265          | 1285.086          | 01:25 |

| Total Jarak (Km) | Heading (°) | Latitude (°) | Longitude (°) | Kecepatan (m/s) | Jarak 2 titik (m) | Waktu |
|------------------|-------------|--------------|---------------|-----------------|-------------------|-------|
| 65.692           | 59          | -0.69069     | 125.1106      | 4.9265          | 1295.098          | 01:30 |
| 66.605           | 59          | -0.68282     | 125.1234      | 4.9265          | 1305.097          | 01:35 |
| 67.517           | 59          | -0.67494     | 125.1362      | 4.9265          | 1315.081          | 01:40 |
| 68.429           | 59          | -0.66706     | 125.1491      | 4.9265          | 1325.05           | 01:45 |
| 69.342           | 59          | -0.65919     | 125.1619      | 4.9265          | 1335.003          | 01:50 |
| 70.254           | 59          | -0.65131     | 125.1747      | 4.9265          | 1344.938          | 01:55 |
| 71.167           | 59          | -0.64343     | 125.1875      | 4.9265          | 1354.855          | 02:00 |
| 72.079           | 59          | -0.63556     | 125.2004      | 4.9265          | 1364.753          | 02:05 |
| 72.991           | 59          | -0.62768     | 125.2132      | 4.9265          | 1374.63           | 02:10 |
| 73.904           | 59          | -0.6198      | 125.226       | 4.9265          | 1384.487          | 02:15 |
| 74.816           | 59          | -0.61193     | 125.2388      | 4.9265          | 1394.32           | 02:20 |
| 75.729           | 59          | -0.60405     | 125.2517      | 4.9265          | 1404.131          | 02:25 |
| 76.641           | 59          | -0.59617     | 125.2645      | 4.9265          | 1413.918          | 02:30 |
| 77.553           | 59          | -0.5883      | 125.2773      | 4.9265          | 1423.68           | 02:35 |
| 78.466           | 59          | -0.58042     | 125.2901      | 4.9265          | 1433.415          | 02:40 |
| 79.378           | 59          | -0.57254     | 125.303       | 4.9265          | 1443.124          | 02:45 |
| 80.291           | 59          | -0.56467     | 125.3158      | 4.9265          | 1452.805          | 02:50 |
| 81.203           | 59          | -0.55679     | 125.3286      | 4.9265          | 1462.457          | 02:55 |
| 82.115           | 59          | -0.54892     | 125.3414      | 4.9265          | 1472.079          | 03:00 |
| 83.028           | 59          | -0.54104     | 125.3543      | 4.9265          | 1481.67           | 03:05 |
| 83.94            | 59          | -0.53316     | 125.3671      | 4.9265          | 1491.23           | 03:10 |
| 84.853           | 59          | -0.52529     | 125.3799      | 4.9265          | 1500.758          | 03:15 |
| 85.765           | 59          | -0.51741     | 125.3928      | 4.9265          | 1510.252          | 03:20 |
| 86.677           | 59          | -0.50953     | 125.4056      | 4.9265          | 1519.711          | 03:25 |
| 87.59            | 59          | -0.50166     | 125.4184      | 4.9265          | 1529.136          | 03:30 |
| 88.502           | 59          | -0.49378     | 125.4312      | 4.9265          | 1538.524          | 03:35 |
| 89.415           | 59          | -0.4859      | 125.4441      | 4.9265          | 1547.875          | 03:40 |
| 90.327           | 59          | -0.47803     | 125.4569      | 4.9265          | 1557.189          | 03:45 |
| 91.239           | 59          | -0.47015     | 125.4697      | 4.9265          | 1566.463          | 03:50 |
| 92.152           | 59          | -0.46227     | 125.4825      | 4.9265          | 1575.698          | 03:55 |
| 93.064           | 59          | -0.4544      | 125.4954      | 4.9265          | 1584.892          | 04:00 |
| 93.976           | 59          | -0.44652     | 125.5082      | 4.9265          | 1594.044          | 04:05 |
| 94.889           | 59          | -0.43864     | 125.521       | 4.9265          | 1603.155          | 04:10 |
| 95.801           | 59          | -0.43077     | 125.5338      | 4.9265          | 1612.221          | 04:15 |
| 96.714           | 59          | -0.42289     | 125.5467      | 4.9265          | 1621.244          | 04:20 |
| 97.626           | 59          | -0.41501     | 125.5595      | 4.9265          | 1630.222          | 04:25 |
| 98.538           | 59          | -0.40714     | 125.5723      | 4.9265          | 1639.154          | 04:30 |
| 99.451           | 59          | -0.39926     | 125.5851      | 4.9265          | 1648.04           | 04:35 |
| 100.36           | 59          | -0.39139     | 125.598       | 4.9265          | 1656.877          | 04:40 |
| 101.28           | 59          | -0.38351     | 125.6108      | 4.9265          | 1665.667          | 04:45 |
| 102.19           | 59          | -0.37563     | 125.6236      | 4.9265          | 1674.407          | 04:50 |
| 103.1            | 59          | -0.36776     | 125.6364      | 4.9265          | 1683.097          | 04:55 |
| 104.01           | 59          | -0.35988     | 125.6493      | 4.9265          | 1691.736          | 05:00 |
| 104.93           | 59          | -0.352       | 125.6621      | 4.9265          | 1700.323          | 05:05 |

| Total Jarak (Km) | Heading (°) | Latitude (°) | Longitude (°) | Kecepatan (m/s) | Jarak 2 titik (m) | Waktu |
|------------------|-------------|--------------|---------------|-----------------|-------------------|-------|
| 105.84           | 59          | -0.34413     | 125.6749      | 4.9265          | 1708.858          | 05:10 |
| 106.75           | 59          | -0.33625     | 125.6878      | 4.9265          | 1717.34           | 05:15 |
| 107.66           | 59          | -0.32837     | 125.7006      | 4.9265          | 1725.767          | 05:20 |
| 108.57           | 59          | -0.3205      | 125.7134      | 4.9265          | 1734.139          | 05:25 |
| 109.49           | 59          | -0.31262     | 125.7262      | 4.9265          | 1742.456          | 05:30 |
| 110.4            | 59          | -0.30474     | 125.7391      | 4.9265          | 1750.716          | 05:35 |
| 111.31           | 59          | -0.29687     | 125.7519      | 4.9265          | 1758.918          | 05:40 |
| 112.22           | 59          | -0.28899     | 125.7647      | 4.9265          | 1767.062          | 05:45 |
| 113.14           | 59          | -0.28111     | 125.7775      | 4.9265          | 1775.147          | 05:50 |
| 114.05           | 59          | -0.27324     | 125.7904      | 4.9265          | 1783.173          | 05:55 |
| 114.96           | 59          | -0.26536     | 125.8032      | 4.9265          | 1791.137          | 06:00 |
| 115.87           | 59          | -0.25749     | 125.816       | 4.9265          | 1799.041          | 06:05 |
| 116.79           | 59          | -0.24961     | 125.8288      | 4.9265          | 1806.882          | 06:10 |
| 117.7            | 59          | -0.24173     | 125.8417      | 4.9265          | 1814.661          | 06:15 |
| 118.61           | 59          | -0.23386     | 125.8545      | 4.9265          | 1822.376          | 06:20 |
| 119.52           | 59          | -0.22598     | 125.8673      | 4.9265          | 1830.026          | 06:25 |
| 120.44           | 59          | -0.2181      | 125.8801      | 4.9265          | 1837.611          | 06:30 |
| 121.35           | 59          | -0.21023     | 125.893       | 4.9265          | 1845.131          | 06:35 |
| 122.26           | 59          | -0.20235     | 125.9058      | 4.9265          | 1852.584          | 06:40 |
| 123.17           | 59          | -0.19447     | 125.9186      | 4.9265          | 1859.969          | 06:45 |
| 124.09           | 59          | -0.1866      | 125.9314      | 4.9265          | 1867.287          | 06:50 |
| 125              | 59          | -0.17872     | 125.9443      | 4.9265          | 1874.536          | 06:55 |
| 125.91           | 59          | -0.17084     | 125.9571      | 4.9265          | 1881.715          | 07:00 |
| 126.82           | 59          | -0.16297     | 125.9699      | 4.9265          | 1888.824          | 07:05 |
| 127.74           | 59          | -0.15509     | 125.9827      | 4.9265          | 1895.863          | 07:10 |
| 128.65           | 59          | -0.14721     | 125.9956      | 4.9265          | 1902.829          | 07:15 |
| 129.56           | 59          | -0.13934     | 126.0084      | 4.9265          | 1909.724          | 07:20 |
| 130.47           | 59          | -0.13146     | 126.0212      | 4.9265          | 1916.545          | 07:25 |
| 131.38           | 59          | -0.12358     | 126.0341      | 4.9265          | 1923.293          | 07:30 |
| 132.3            | 59          | -0.11571     | 126.0469      | 4.9265          | 1929.967          | 07:35 |
| 133.21           | 59          | -0.10783     | 126.0597      | 4.9265          | 1936.566          | 07:40 |
| 134.12           | 59          | -0.09996     | 126.0725      | 4.9265          | 1943.089          | 07:45 |
| 135.03           | 59          | -0.09208     | 126.0854      | 4.9265          | 1949.536          | 07:50 |
| 135.95           | 59          | -0.0842      | 126.0982      | 4.9265          | 1955.906          | 07:55 |
| 136.86           | 59          | -0.07633     | 126.111       | 4.9265          | 1962.199          | 08:00 |
| 137.77           | 59          | -0.06845     | 126.1238      | 4.9265          | 1968.413          | 08:05 |
| 138.68           | 59          | -0.06057     | 126.1367      | 4.9265          | 1974.549          | 08:10 |
| 139.6            | 59          | -0.0527      | 126.1495      | 4.9265          | 1980.605          | 08:15 |
| 140.51           | 59          | -0.04482     | 126.1623      | 4.9265          | 1720.677          | 08:20 |
| 141.42           | 59          | -0.03694     | 126.1751      | 4.9265          | 1443.119          | 08:25 |
| 142.33           | 59          | -0.02907     | 126.188       | 4.9265          | 1162.965          | 08:30 |
| 143.25           | 59          | -0.02119     | 126.2008      | 4.9265          | 892.0346          | 08:35 |
| 144.16           | 59          | -0.01331     | 126.2136      | 4.9265          | 742.6675          | 08:40 |
| 145.07           | 59          | -0.00544     | 126.2264      | 4.9265          | 854.3999          | 08:45 |

| Total Jarak (Km) | Heading (°) | Latitude (°) | Longitude (°) | Kecepatan (m/s) | Jarak 2 titik (m) | Waktu |
|------------------|-------------|--------------|---------------|-----------------|-------------------|-------|
| 145.98           | 59          | 0.002439     | 126.2393      | 4.9265          | 906.7874          | 08:50 |
| 146.9            | 59          | 0.010316     | 126.2521      | 4.9265          | 961.3136          | 08:55 |
| 147.81           | 59          | 0.018192     | 126.2649      | 4.9265          | 1017.636          | 09:00 |
| 148.72           | 59          | 0.026069     | 126.2777      | 4.9265          | 1075.473          | 09:05 |
| 149.63           | 59          | 0.033945     | 126.2906      | 4.9265          | 1134.593          | 09:10 |
| 150.54           | 59          | 0.041822     | 126.3034      | 4.9265          | 1194.807          | 09:15 |
| 151.46           | 59          | 0.049698     | 126.3162      | 4.9265          | 1255.958          | 09:20 |
| 152.37           | 59          | 0.057575     | 126.3291      | 4.9265          | 1317.915          | 09:25 |
| 153.28           | 59          | 0.065451     | 126.3419      | 4.9265          | 1380.569          | 09:30 |
| 154.19           | 59          | 0.073328     | 126.3547      | 4.9265          | 1443.83           | 09:35 |
| 155.11           | 59          | 0.081204     | 126.3675      | 4.9265          | 1507.62           | 09:40 |
| 156.02           | 59          | 0.089081     | 126.3804      | 4.9265          | 1775.201          | 09:45 |
| 156.93           | 59          | 0.096957     | 126.3932      | 4.9265          | 2603.535          | 09:50 |
| 157.84           | 59          | 0.104834     | 126.406       | 4.9265          | 3091.563          | 09:55 |
| 158.76           | 59          | 0.11271      | 126.4188      | 4.9265          | 3471.055          | 10:00 |
| 159.67           | 59          | 0.120587     | 126.4317      | 4.9265          | 3851.3            | 10:05 |
| 160.58           | 59          | 0.128463     | 126.4445      | 4.9265          | 4232.047          | 10:10 |
| 161.49           | 59          | 0.13634      | 126.4573      | 4.9265          | 4613.122          | 10:15 |
| 162.41           | 59          | 0.144216     | 126.4701      | 4.9265          | 4994.398          | 10:20 |
| 163.32           | 59          | 0.152093     | 126.483       | 4.9265          | 5375.783          | 10:25 |
| 164.23           | 59          | 0.159969     | 126.4958      | 4.9265          | 5757.2            | 10:30 |
| 165.14           | 59          | 0.167846     | 126.5086      | 4.9265          | 6138.589          | 10:35 |
| 166.06           | 59          | 0.175722     | 126.5214      | 4.9265          | 6519.895          | 10:40 |
| 166.97           | 59          | 0.183599     | 126.5343      | 4.9265          | 6901.073          | 10:45 |
| 167.88           | 59          | 0.191475     | 126.5471      | 4.9265          | 7282.077          | 10:50 |
| 168.79           | 59          | 0.199352     | 126.5599      | 4.9265          | 5810.076          | 10:55 |
| 169.71           | 59          | 0.207228     | 126.5727      | 4.9265          | 5897.007          | 11:00 |
| 170.62           | 59          | 0.215105     | 126.5856      | 4.9265          | 5983.871          | 11:05 |
| 171.53           | 59          | 0.222981     | 126.5984      | 4.9265          | 6070.654          | 11:10 |
| 172.44           | 59          | 0.230858     | 126.6112      | 4.9265          | 6157.343          | 11:15 |
| 173.35           | 59          | 0.238734     | 126.6241      | 4.9265          | 6243.924          | 11:20 |
| 174.27           | 59          | 0.246611     | 126.6369      | 4.9265          | 6330.384          | 11:25 |
| 175.18           | 59          | 0.254487     | 126.6497      | 4.9265          | 6416.712          | 11:30 |
| 176.09           | 59          | 0.262364     | 126.6625      | 4.9265          | 6502.894          | 11:35 |
| 177              | 59          | 0.27024      | 126.6754      | 4.9265          | 6588.918          | 11:40 |
| 177.92           | 59          | 0.278117     | 126.6882      | 4.9265          | 6674.772          | 11:45 |
| 178.83           | 59          | 0.285993     | 126.701       | 4.9265          | 6760.445          | 11:50 |
| 179.74           | 59          | 0.29387      | 126.7138      | 4.9265          | 6845.923          | 11:55 |
| 180.65           | 59          | 0.301746     | 126.7267      | 4.9265          | 6931.195          | 12:00 |
| 181.57           | 59          | 0.309623     | 126.7395      | 4.9265          | 7016.25           | 12:05 |
| 182.48           | 59          | 0.317499     | 126.7523      | 4.9265          | 7101.075          | 12:10 |
| 183.39           | 59          | 0.325376     | 126.7651      | 4.9265          | 7185.66           | 12:15 |
| 184.3            | 59          | 0.333252     | 126.778       | 4.9265          | 7269.992          | 12:20 |
| 185.22           | 59          | 0.341129     | 126.7908      | 4.9265          | 7354.059          | 12:25 |

| Total Jarak (Km) | Heading (°) | Latitude (°) | Longitude (°) | Kecepatan (m/s) | Jarak 2 titik (m) | Waktu |
|------------------|-------------|--------------|---------------|-----------------|-------------------|-------|
| 186.13           | 59          | 0.349005     | 126.8036      | 4.9265          | 7437.851          | 12:30 |
| 187.04           | 59          | 0.356882     | 126.8164      | 4.9265          | 7521.355          | 12:35 |
| 187.95           | 59          | 0.364758     | 126.8293      | 4.9265          | 7604.559          | 12:40 |
| 188.87           | 59          | 0.372635     | 126.8421      | 4.9265          | 7687.453          | 12:45 |
| 189.78           | 59          | 0.380511     | 126.8549      | 4.9265          | 7770.024          | 12:50 |
| 190.69           | 59          | 0.388388     | 126.8677      | 4.9265          | 7852.26           | 12:55 |
| 191.6            | 59          | 0.396264     | 126.8806      | 4.9265          | 7934.15           | 13:00 |
| 192.51           | 59          | 0.404141     | 126.8934      | 4.9265          | 8015.681          | 13:05 |
| 193.43           | 59          | 0.412017     | 126.9062      | 4.9265          | 8096.842          | 13:10 |
| 194.34           | 59          | 0.419894     | 126.9191      | 4.9265          | 8177.62           | 13:15 |
| 195.25           | 59          | 0.427777     | 126.9319      | 4.9265          | 8258.003          | 13:20 |
| 196.16           | 59          | 0.435647     | 126.9447      | 4.9265          | 8337.978          | 13:25 |
| 197.08           | 59          | 0.443523     | 126.9575      | 4.9265          | 8417.534          | 13:30 |
| 197.99           | 59          | 0.4514       | 126.9704      | 4.9265          | 8496.658          | 13:35 |
| 198.9            | 59          | 0.459276     | 126.9832      | 4.9265          | 8575.337          | 13:40 |
| 199.81           | 59          | 0.467153     | 126.996       | 4.9265          | 8653.558          | 13:45 |
| 200.73           | 59          | 0.475029     | 127.0088      | 4.9265          | 8731.308          | 13:50 |
| 201.64           | 59          | 0.482906     | 127.0217      | 4.9265          | 8808.574          | 13:55 |
| 202.55           | 59          | 0.490782     | 127.0345      | 4.9265          | 8885.343          | 14:00 |
| 203.46           | 59          | 0.498659     | 127.0473      | 4.9265          | 8961.601          | 14:05 |
| 204.38           | 59          | 0.506535     | 127.0601      | 4.9265          | 9037.335          | 14:10 |
| 205.29           | 59          | 0.514412     | 127.073       | 4.9265          | 9112.532          | 14:15 |
| 206.2            | 59          | 0.522288     | 127.0858      | 4.9265          | 9187.176          | 14:20 |
| 207.11           | 59          | 0.530165     | 127.0986      | 4.9265          | 9261.254          | 14:25 |
| 208.03           | 59          | 0.538041     | 127.1114      | 4.9265          | 9334.753          | 14:30 |
| 208.94           | 59          | 0.545918     | 127.1243      | 4.9265          | 9407.656          | 14:35 |
| 209.85           | 59          | 0.553794     | 127.1371      | 4.9265          | 9479.951          | 14:40 |
| 210.76           | 59          | 0.561671     | 127.1499      | 4.9265          | 9551.622          | 14:45 |
| 211.68           | 59          | 0.569547     | 127.1627      | 4.9265          | 9622.654          | 14:50 |
| 212.59           | 59          | 0.577424     | 127.1756      | 4.9265          | 9693.032          | 14:55 |
| 213.5            | 59          | 0.5853       | 127.1884      | 1152.8          | 9762.742          | 15:00 |

d. Data AIS Kapal 2 Skenario 1.2a Terduga Melakukan *Transshipment*

| Total Jarak (Km) | Heading (°) | Latitude (°) | Longitude (°) | Kecepatan (m/s) | Waktu |
|------------------|-------------|--------------|---------------|-----------------|-------|
| 0                | 0           | -1.5084      | 123.6847      | 0               | 15:40 |
| 4.1              | 57          | -1.4715      | 123.744       | 22.138          | 15:45 |
| 7.2              | 60          | -1.4454      | 123.7894      | 16.739          | 15:50 |
| 10.5             | 60          | -1.4193      | 123.8347      | 17.819          | 15:55 |
| 14.2             | 59          | -1.3864      | 123.8883      | 19.978          | 16:00 |
| 17.3             | 59          | -1.3603      | 123.935       | 16.739          | 16:05 |
| 21               | 62          | -1.3315      | 123.9886      | 19.978          | 16:10 |
| 24.4             | 69          | -1.3109      | 124.0422      | 18.359          | 16:15 |

| Total Jarak (Km) | Heading (°) | Latitude (°) | Longitude (°) | Kecepatan (m/s) | Waktu |
|------------------|-------------|--------------|---------------|-----------------|-------|
| 27.7             | 70          | -1.293       | 124.0944      | 17.819          | 16:20 |
| 31               | 70          | -1.2724      | 124.1466      | 17.819          | 16:25 |
| 34.6             | 71          | -1.2532      | 124.2016      | 19.438          | 16:30 |
| 37.7             | 66          | -1.2326      | 124.2497      | 16.739          | 16:35 |
| 41               | 56          | -1.2025      | 124.2952      | 17.819          | 16:40 |
| 45               | 53          | -1.162       | 124.3481      | 21.598          | 16:45 |
| 45.081           | 53          | -1.16118     | 124.3492      | 0.4387          | 16:50 |
| 45.163           | 53          | -1.16037     | 124.3502      | 0.4387          | 16:55 |
| 45.244           | 53          | -1.15955     | 124.3513      | 0.4387          | 17:00 |
| 45.325           | 53          | -1.15874     | 124.3523      | 0.4387          | 17:05 |
| 45.406           | 53          | -1.15792     | 124.3534      | 0.4387          | 17:10 |
| 45.488           | 53          | -1.15711     | 124.3544      | 0.4387          | 17:15 |
| 45.569           | 53          | -1.15629     | 124.3555      | 0.4387          | 17:20 |
| 45.65            | 53          | -1.15548     | 124.3565      | 0.4387          | 17:25 |
| 45.731           | 53          | -1.15466     | 124.3576      | 0.4387          | 17:30 |
| 45.813           | 53          | -1.15384     | 124.3586      | 0.4387          | 17:35 |
| 45.894           | 53          | -1.15303     | 124.3597      | 0.4387          | 17:40 |
| 45.975           | 53          | -1.15221     | 124.3607      | 0.4387          | 17:45 |
| 46.056           | 53          | -1.1514      | 124.3618      | 0.4387          | 17:50 |
| 46.138           | 53          | -1.15058     | 124.3628      | 0.4387          | 17:55 |
| 46.219           | 53          | -1.14977     | 124.3639      | 0.4387          | 18:00 |
| 46.3             | 53          | -1.14895     | 124.365       | 0.4387          | 18:05 |
| 46.381           | 53          | -1.14813     | 124.366       | 0.4387          | 18:10 |
| 46.462           | 53          | -1.14732     | 124.3671      | 0.4387          | 18:15 |
| 46.544           | 53          | -1.1465      | 124.3681      | 0.4387          | 18:20 |
| 46.625           | 53          | -1.14569     | 124.3692      | 0.4387          | 18:25 |
| 46.706           | 53          | -1.14487     | 124.3702      | 0.4387          | 18:30 |
| 46.787           | 53          | -1.14406     | 124.3713      | 0.4387          | 18:35 |
| 46.869           | 53          | -1.14324     | 124.3723      | 0.4387          | 18:40 |
| 46.95            | 53          | -1.14243     | 124.3734      | 0.4387          | 18:45 |
| 47.031           | 53          | -1.14161     | 124.3744      | 0.4387          | 18:50 |
| 47.112           | 53          | -1.14079     | 124.3755      | 0.4387          | 18:55 |
| 47.194           | 53          | -1.13998     | 124.3765      | 0.4387          | 19:00 |
| 47.275           | 53          | -1.13916     | 124.3776      | 0.4387          | 19:05 |
| 47.356           | 53          | -1.13835     | 124.3786      | 0.4387          | 19:10 |
| 47.437           | 53          | -1.13753     | 124.3797      | 0.4387          | 19:15 |
| 47.519           | 53          | -1.13672     | 124.3807      | 0.4387          | 19:20 |
| 47.6             | 52          | -1.1359      | 124.3818      | 0.4387          | 19:25 |
| 47.652           | 52          | -1.13534     | 124.3825      | 0.279           | 19:30 |
| 47.703           | 52          | -1.13478     | 124.3831      | 0.279           | 19:35 |
| 47.755           | 52          | -1.13423     | 124.3838      | 0.279           | 19:40 |
| 47.807           | 52          | -1.13367     | 124.3844      | 0.279           | 19:45 |
| 47.858           | 52          | -1.13311     | 124.3851      | 0.279           | 19:50 |
| 47.91            | 52          | -1.13255     | 124.3857      | 0.279           | 19:55 |

| Total Jarak (Km) | Heading (°) | Latitude (°) | Longitude (°) | Kecepatan (m/s) | Waktu |
|------------------|-------------|--------------|---------------|-----------------|-------|
| 47.962           | 52          | -1.13199     | 124.3864      | 0.279           | 20:00 |
| 48.013           | 52          | -1.13143     | 124.387       | 0.279           | 20:05 |
| 48.065           | 52          | -1.13088     | 124.3877      | 0.279           | 20:10 |
| 48.117           | 52          | -1.13032     | 124.3883      | 0.279           | 20:15 |
| 48.168           | 52          | -1.12976     | 124.389       | 0.279           | 20:20 |
| 48.22            | 52          | -1.1292      | 124.3896      | 0.279           | 20:25 |
| 48.272           | 52          | -1.12864     | 124.3903      | 0.279           | 20:30 |
| 48.323           | 52          | -1.12808     | 124.3909      | 0.279           | 20:35 |
| 48.375           | 52          | -1.12753     | 124.3916      | 0.279           | 20:40 |
| 48.427           | 52          | -1.12697     | 124.3922      | 0.279           | 20:45 |
| 48.478           | 52          | -1.12641     | 124.3929      | 0.279           | 20:50 |
| 48.53            | 52          | -1.12585     | 124.3935      | 0.279           | 20:55 |
| 48.582           | 52          | -1.12529     | 124.3942      | 0.279           | 21:00 |
| 48.633           | 52          | -1.12473     | 124.3948      | 0.279           | 21:05 |
| 48.685           | 52          | -1.12418     | 124.3955      | 0.279           | 21:10 |
| 48.737           | 52          | -1.12362     | 124.3961      | 0.279           | 21:15 |
| 48.788           | 52          | -1.12306     | 124.3968      | 0.279           | 21:20 |
| 48.84            | 52          | -1.1225      | 124.3974      | 0.279           | 21:25 |
| 48.892           | 52          | -1.12194     | 124.3981      | 0.279           | 21:30 |
| 48.943           | 52          | -1.12138     | 124.3987      | 0.279           | 21:35 |
| 48.995           | 52          | -1.12083     | 124.3994      | 0.279           | 21:40 |
| 49.047           | 52          | -1.12027     | 124.4         | 0.279           | 21:45 |
| 49.098           | 52          | -1.11971     | 124.4007      | 0.279           | 21:50 |
| 49.15            | 52          | -1.11915     | 124.4014      | 0.279           | 21:55 |
| 49.202           | 52          | -1.11859     | 124.402       | 0.279           | 22:00 |
| 49.253           | 52          | -1.11803     | 124.4027      | 0.279           | 22:05 |
| 49.305           | 52          | -1.11748     | 124.4033      | 0.279           | 22:10 |
| 49.357           | 52          | -1.11692     | 124.404       | 0.279           | 22:15 |
| 49.408           | 52          | -1.11636     | 124.4046      | 0.279           | 22:20 |
| 49.46            | 52          | -1.1158      | 124.4053      | 0.279           | 22:25 |
| 49.512           | 52          | -1.11524     | 124.4059      | 0.279           | 22:30 |
| 49.563           | 52          | -1.11468     | 124.4066      | 0.279           | 22:35 |
| 49.615           | 52          | -1.11413     | 124.4072      | 0.279           | 22:40 |
| 49.667           | 52          | -1.11357     | 124.4079      | 0.279           | 22:45 |
| 49.718           | 52          | -1.11301     | 124.4085      | 0.279           | 22:50 |
| 49.77            | 52          | -1.11245     | 124.4092      | 0.279           | 22:55 |
| 49.822           | 52          | -1.11189     | 124.4098      | 0.279           | 23:00 |
| 49.873           | 52          | -1.11133     | 124.4105      | 0.279           | 23:05 |
| 49.925           | 52          | -1.11078     | 124.4111      | 0.279           | 23:10 |
| 49.977           | 52          | -1.11022     | 124.4118      | 0.279           | 23:15 |
| 50.028           | 52          | -1.10966     | 124.4124      | 0.279           | 23:20 |
| 50.08            | 52          | -1.1091      | 124.4131      | 0.279           | 23:25 |
| 50.132           | 52          | -1.10854     | 124.4137      | 0.279           | 23:30 |
| 50.183           | 52          | -1.10798     | 124.4144      | 0.279           | 23:35 |

| Total Jarak (Km) | Heading (°) | Latitude (°) | Longitude (°) | Kecepatan (m/s) | Waktu |
|------------------|-------------|--------------|---------------|-----------------|-------|
| 50.235           | 52          | -1.10742     | 124.415       | 0.279           | 23:40 |
| 50.287           | 52          | -1.10687     | 124.4157      | 0.279           | 23:45 |
| 50.338           | 52          | -1.10631     | 124.4163      | 0.279           | 23:50 |
| 50.39            | 52          | -1.10575     | 124.417       | 0.279           | 23:55 |
| 50.442           | 52          | -1.10519     | 124.4176      | 0.279           | 00:00 |
| 50.493           | 52          | -1.10463     | 124.4183      | 0.279           | 00:05 |
| 50.545           | 52          | -1.10407     | 124.4189      | 0.279           | 00:10 |
| 50.597           | 52          | -1.10352     | 124.4196      | 0.279           | 00:15 |
| 50.648           | 52          | -1.10296     | 124.4202      | 0.279           | 00:20 |
| 50.7             | 49          | -1.1024      | 124.4209      | 16.739          | 00:25 |
| 54.3             | 54          | -1.0667      | 124.4697      | 19.438          | 00:30 |
| 58.2             | 52          | -1.0284      | 124.521       | 21.058          | 00:35 |
| 62               | 58          | -0.9945      | 124.5749      | 20.518          | 00:40 |
| 66.4             | 59          | -0.9562      | 124.6379      | 23.758          | 00:45 |
| 67.26            | 59          | -0.94883     | 124.6502      | 4.6458          | 00:50 |
| 68.121           | 59          | -0.94146     | 124.6625      | 4.6458          | 00:55 |
| 68.981           | 59          | -0.93409     | 124.6748      | 4.6458          | 01:00 |
| 69.842           | 59          | -0.92672     | 124.6871      | 4.6458          | 01:05 |
| 70.702           | 59          | -0.91935     | 124.6994      | 4.6458          | 01:10 |
| 70.768           | 59          | -0.91879     | 124.7003      | 0.3574          | 01:15 |
| 70.834           | 59          | -0.91822     | 124.7013      | 0.3574          | 01:20 |
| 70.901           | 59          | -0.91765     | 124.7022      | 0.3574          | 01:25 |
| 70.967           | 59          | -0.91709     | 124.7032      | 0.3574          | 01:30 |
| 71.033           | 59          | -0.91652     | 124.7041      | 0.3574          | 01:35 |
| 71.099           | 59          | -0.91595     | 124.7051      | 0.3574          | 01:40 |
| 71.165           | 59          | -0.91539     | 124.706       | 0.3574          | 01:45 |
| 71.231           | 59          | -0.91482     | 124.7069      | 0.3574          | 01:50 |
| 71.298           | 59          | -0.91425     | 124.7079      | 0.3574          | 01:55 |
| 71.364           | 59          | -0.91368     | 124.7088      | 0.3574          | 02:00 |
| 71.43            | 59          | -0.91312     | 124.7098      | 0.3574          | 02:05 |
| 71.496           | 59          | -0.91255     | 124.7107      | 0.3574          | 02:10 |
| 71.562           | 59          | -0.91198     | 124.7117      | 4.6458          | 02:15 |
| 72.423           | 59          | -0.90461     | 124.724       | 4.6458          | 02:20 |
| 73.283           | 59          | -0.89725     | 124.7363      | 4.6458          | 02:25 |
| 74.144           | 59          | -0.88988     | 124.7486      | 4.6458          | 02:30 |
| 75.004           | 59          | -0.88251     | 124.7609      | 4.6458          | 02:35 |
| 75.864           | 59          | -0.87514     | 124.7732      | 4.6458          | 02:40 |
| 76.725           | 59          | -0.86777     | 124.7855      | 4.6458          | 02:45 |
| 77.585           | 59          | -0.8604      | 124.7977      | 4.6458          | 02:50 |
| 78.446           | 59          | -0.85303     | 124.81        | 4.6458          | 02:55 |
| 79.306           | 59          | -0.84566     | 124.8223      | 4.6458          | 03:00 |
| 80.166           | 59          | -0.83829     | 124.8346      | 4.6458          | 03:05 |
| 81.027           | 59          | -0.83092     | 124.8469      | 4.6458          | 03:10 |
| 81.887           | 59          | -0.82355     | 124.8592      | 4.6458          | 03:15 |

| Total Jarak (Km) | Heading (°) | Latitude (°) | Longitude (°) | Kecepatan (m/s) | Waktu |
|------------------|-------------|--------------|---------------|-----------------|-------|
| 82.748           | 59          | -0.81618     | 124.8715      | 4.6458          | 03:20 |
| 83.608           | 59          | -0.80881     | 124.8838      | 4.6458          | 03:25 |
| 84.468           | 59          | -0.80144     | 124.8961      | 4.6458          | 03:30 |
| 85.329           | 59          | -0.79408     | 124.9084      | 4.6458          | 03:35 |
| 86.189           | 59          | -0.78671     | 124.9207      | 4.6458          | 03:40 |
| 87.05            | 59          | -0.77934     | 124.933       | 4.6458          | 03:45 |
| 87.91            | 59          | -0.77197     | 124.9453      | 4.6458          | 03:50 |
| 88.77            | 59          | -0.7646      | 124.9576      | 4.6458          | 03:55 |
| 89.631           | 59          | -0.75723     | 124.9699      | 4.6458          | 04:00 |
| 90.491           | 59          | -0.74986     | 124.9822      | 4.6458          | 04:05 |
| 91.351           | 59          | -0.74249     | 124.9945      | 4.6458          | 04:10 |
| 92.212           | 59          | -0.73512     | 125.0068      | 4.6458          | 04:15 |
| 93.072           | 59          | -0.72775     | 125.0191      | 4.6458          | 04:20 |
| 93.933           | 59          | -0.72038     | 125.0314      | 4.6458          | 04:25 |
| 94.793           | 59          | -0.71301     | 125.0437      | 4.6458          | 04:30 |
| 95.653           | 59          | -0.70564     | 125.056       | 4.6458          | 04:35 |
| 96.514           | 59          | -0.69827     | 125.0683      | 4.6458          | 04:40 |
| 97.374           | 59          | -0.6909      | 125.0806      | 4.6458          | 04:45 |
| 98.235           | 59          | -0.68354     | 125.0929      | 4.6458          | 04:50 |
| 99.095           | 59          | -0.67617     | 125.1051      | 4.6458          | 04:55 |
| 99.955           | 59          | -0.6688      | 125.1174      | 4.6458          | 05:00 |
| 100.82           | 59          | -0.66143     | 125.1297      | 4.6458          | 05:05 |
| 101.68           | 59          | -0.65406     | 125.142       | 4.6458          | 05:10 |
| 102.54           | 59          | -0.64669     | 125.1543      | 4.6458          | 05:15 |
| 103.4            | 59          | -0.63932     | 125.1666      | 4.6458          | 05:20 |
| 104.26           | 59          | -0.63195     | 125.1789      | 4.6458          | 05:25 |
| 105.12           | 59          | -0.62458     | 125.1912      | 4.6458          | 05:30 |
| 105.98           | 59          | -0.61721     | 125.2035      | 4.6458          | 05:35 |
| 106.84           | 59          | -0.60984     | 125.2158      | 4.6458          | 05:40 |
| 107.7            | 59          | -0.60247     | 125.2281      | 4.6458          | 05:45 |
| 108.56           | 59          | -0.5951      | 125.2404      | 4.6458          | 05:50 |
| 109.42           | 59          | -0.58773     | 125.2527      | 4.6458          | 05:55 |
| 110.28           | 59          | -0.58037     | 125.265       | 4.6458          | 06:00 |
| 111.14           | 59          | -0.573       | 125.2773      | 4.6458          | 06:05 |
| 112              | 59          | -0.56563     | 125.2896      | 4.6458          | 06:10 |
| 112.86           | 59          | -0.55826     | 125.3019      | 4.6458          | 06:15 |
| 113.72           | 59          | -0.55089     | 125.3142      | 4.6458          | 06:20 |
| 114.58           | 59          | -0.54352     | 125.3265      | 4.6458          | 06:25 |
| 115.44           | 59          | -0.53615     | 125.3388      | 4.6458          | 06:30 |
| 116.3            | 59          | -0.52878     | 125.3511      | 4.6458          | 06:35 |
| 117.16           | 59          | -0.52141     | 125.3634      | 4.6458          | 06:40 |
| 118.02           | 59          | -0.51404     | 125.3757      | 4.6458          | 06:45 |
| 118.88           | 59          | -0.50667     | 125.388       | 4.6458          | 06:50 |
| 119.74           | 59          | -0.4993      | 125.4003      | 4.6458          | 06:55 |

| Total Jarak (Km) | Heading (°) | Latitude (°) | Longitude (°) | Kecepatan (m/s) | Waktu |
|------------------|-------------|--------------|---------------|-----------------|-------|
| 120.6            | 59          | -0.49193     | 125.4126      | 4.6458          | 07:00 |
| 121.47           | 59          | -0.48456     | 125.4248      | 4.6458          | 07:05 |
| 122.33           | 59          | -0.4772      | 125.4371      | 4.6458          | 07:10 |
| 123.19           | 59          | -0.46983     | 125.4494      | 4.6458          | 07:15 |
| 124.05           | 59          | -0.46246     | 125.4617      | 4.6458          | 07:20 |
| 124.91           | 59          | -0.45509     | 125.474       | 4.6458          | 07:25 |
| 125.77           | 59          | -0.44772     | 125.4863      | 4.6458          | 07:30 |
| 126.63           | 59          | -0.44035     | 125.4986      | 4.6458          | 07:35 |
| 127.49           | 59          | -0.43298     | 125.5109      | 4.6458          | 07:40 |
| 128.35           | 59          | -0.42561     | 125.5232      | 4.6458          | 07:45 |
| 129.21           | 59          | -0.41824     | 125.5355      | 4.6458          | 07:50 |
| 130.07           | 59          | -0.41087     | 125.5478      | 4.6458          | 07:55 |
| 130.93           | 59          | -0.4035      | 125.5601      | 4.6458          | 08:00 |
| 131.79           | 59          | -0.39613     | 125.5724      | 4.6458          | 08:05 |
| 132.65           | 59          | -0.38876     | 125.5847      | 4.6458          | 08:10 |
| 133.51           | 59          | -0.38139     | 125.597       | 4.6458          | 08:15 |
| 134.37           | 59          | -0.37402     | 125.6093      | 4.6458          | 08:20 |
| 135.23           | 59          | -0.36666     | 125.6216      | 4.6458          | 08:25 |
| 136.09           | 59          | -0.35929     | 125.6339      | 4.6458          | 08:30 |
| 136.95           | 59          | -0.35192     | 125.6462      | 4.6458          | 08:35 |
| 137.81           | 59          | -0.34455     | 125.6585      | 4.6458          | 08:40 |
| 138.67           | 59          | -0.33718     | 125.6708      | 4.6458          | 08:45 |
| 139.53           | 59          | -0.32981     | 125.6831      | 4.6458          | 08:50 |
| 140.39           | 59          | -0.32244     | 125.6954      | 4.6458          | 08:55 |
| 141.25           | 59          | -0.31507     | 125.7077      | 4.6458          | 09:00 |
| 142.11           | 59          | -0.3077      | 125.72        | 4.6458          | 09:05 |
| 142.98           | 59          | -0.30033     | 125.7322      | 4.6458          | 09:10 |
| 143.84           | 59          | -0.29296     | 125.7445      | 4.6458          | 09:15 |
| 144.7            | 59          | -0.28559     | 125.7568      | 4.6458          | 09:20 |
| 145.56           | 59          | -0.27822     | 125.7691      | 4.6458          | 09:25 |
| 146.42           | 59          | -0.27085     | 125.7814      | 4.6458          | 09:30 |
| 147.28           | 59          | -0.26349     | 125.7937      | 4.6458          | 09:35 |
| 148.14           | 59          | -0.25612     | 125.806       | 4.6458          | 09:40 |
| 149              | 59          | -0.24875     | 125.8183      | 4.6458          | 09:45 |
| 149.86           | 59          | -0.24138     | 125.8306      | 4.6458          | 09:50 |
| 150.72           | 59          | -0.23401     | 125.8429      | 4.6458          | 09:55 |
| 151.58           | 59          | -0.22664     | 125.8552      | 4.6458          | 10:00 |
| 152.44           | 59          | -0.21927     | 125.8675      | 4.6458          | 10:05 |
| 153.3            | 59          | -0.2119      | 125.8798      | 469.22          | 10:10 |
| 156.7            | 65          | -0.1881      | 125.9316      | 18.359          | 10:15 |
| 160.3            | 67          | -0.1641      | 125.9866      | 19.438          | 10:20 |
| 164              | 71          | -0.1442      | 126.0457      | 19.978          | 10:25 |
| 168.1            | 78          | -0.1305      | 126.113       | 22.138          | 10:30 |
| 172.1            | 86          | -0.1249      | 126.1798      | 21.598          | 10:35 |

| Total Jarak (Km) | Heading (°) | Latitude (°) | Longitude (°) | Kecepatan (m/s) | Waktu |
|------------------|-------------|--------------|---------------|-----------------|-------|
| 177.2            | 95          | -0.1343      | 126.2637      | 27.538          | 10:40 |
| 177.69           | 95          | -0.13617     | 126.2717      | 2.6507          | 10:45 |
| 178.18           | 95          | -0.13805     | 126.2797      | 2.6507          | 10:50 |
| 178.67           | 95          | -0.13992     | 126.2877      | 2.6507          | 10:55 |
| 179.16           | 95          | -0.14179     | 126.2957      | 2.6507          | 11:00 |
| 179.65           | 95          | -0.14366     | 126.3037      | 2.6507          | 11:05 |
| 180.15           | 95          | -0.14554     | 126.3116      | 2.6507          | 11:10 |
| 180.64           | 95          | -0.14741     | 126.3196      | 2.6507          | 11:15 |
| 181.13           | 95          | -0.14928     | 126.3276      | 2.6507          | 11:20 |
| 181.62           | 95          | -0.15115     | 126.3356      | 2.6507          | 11:25 |
| 182.11           | 95          | -0.15303     | 126.3436      | 2.6507          | 11:30 |
| 182.6            | 104         | -0.1549      | 126.3516      | 29.158          | 11:35 |
| 187.2            | 114         | -0.1865      | 126.4217      | 24.838          | 11:40 |
| 191.4            | 150         | -0.2974      | 126.5016      | 22.678          | 11:45 |
| 195.8            | 161         | -0.3662      | 126.5248      | 23.758          | 11:50 |
| 199.18           | 161         | -0.41853     | 126.5427      | 18.26           | 11:55 |
| 202.56           | 161         | -0.47085     | 126.5607      | 18.26           | 12:00 |
| 205.95           | 161         | -0.52318     | 126.5786      | 18.26           | 12:05 |
| 209.33           | 161         | -0.57551     | 126.5966      | 18.26           | 12:10 |
| 212.71           | 161         | -0.62784     | 126.6145      | 18.26           | 12:15 |
| 216.09           | 161         | -0.68016     | 126.6325      | 18.26           | 12:20 |
| 219.47           | 161         | -0.73249     | 126.6504      | 18.26           | 12:25 |
| 222.85           | 161         | -0.78482     | 126.6684      | 18.26           | 12:30 |
| 226.24           | 161         | -0.83715     | 126.6863      | 18.26           | 12:35 |
| 229.62           | 161         | -0.88947     | 126.7043      | 18.26           | 12:40 |
| 233              | 161         | -0.9418      | 126.7222      | 200.86          | 12:45 |

e. Data AIS Kapal 1 Skenario 1b Tidak Melakukan *Transshipment*

| Total Distance (Km) | Heading (°) | Latitude (°) | Longitude (°) | Kecepatan (m/s) | Jarak 2 titik (m) | Waktu |
|---------------------|-------------|--------------|---------------|-----------------|-------------------|-------|
| 0                   | 79          | -1.1611      | 123.6093      | 19.9784         | 12128.155         | 18:15 |
| 7.6                 | 79          | -1.1487      | 123.6724      | 21.0583         | 11919.214         | 18:20 |
| 11.4                | 77          | -1.135       | 123.7314      | 20.5184         | 11711.675         | 18:25 |
| 15.1                | 73          | -1.1172      | 123.7932      | 19.9784         | 11480.144         | 18:30 |
| 18.9                | 7.1         | -1.0966      | 1223.854      | 20.5184         | 10267.877         | 18:35 |
| 22.5                | 67          | -1.0732      | 123.9072      | 19.4385         | 10991.951         | 18:40 |
| 26.4                | 63          | -1.0471      | 123.9634      | 21.0583         | 10723.189         | 18:45 |
| 30                  | 57          | -1.0114      | 124.0156      | 19.4385         | 10418.387         | 18:50 |
| 33.7                | 53          | -0.9744      | 124.065       | 19.9784         | 10104.429         | 18:55 |
| 37.5                | 47          | -0.9291      | 124.109       | 20.5184         | 9758.7965         | 19:00 |
| 38.20915            | 47          | -0.92105     | 124.1176      | 3.82911         | 9668.4488         | 19:05 |
| 38.9183             | 47          | -0.913       | 124.1262      | 3.82911         | 9577.7002         | 19:10 |
| 39.62745            | 47          | -0.90495     | 124.1348      | 3.82911         | 9486.565          | 19:15 |

| Total Distance (Km) | Heading (°) | Latitude (°) | Longitude (°) | Kecepatan (m/s) | Jarak 2 titik (m) | Waktu |
|---------------------|-------------|--------------|---------------|-----------------|-------------------|-------|
| 40.3366             | 47          | -0.8969      | 124.1434      | 3.82911         | 9395.0573         | 19:20 |
| 41.04575            | 47          | -0.88885     | 124.152       | 3.82911         | 9303.1912         | 19:25 |
| 41.7549             | 47          | -0.8808      | 124.1606      | 3.82911         | 9210.9807         | 19:30 |
| 42.46405            | 47          | -0.87275     | 124.1691      | 3.82911         | 9118.4396         | 19:35 |
| 43.1732             | 47          | -0.8647      | 124.1777      | 3.82911         | 9025.5818         | 19:40 |
| 43.88235            | 47          | -0.85665     | 124.1863      | 3.82911         | 8932.421          | 19:45 |
| 44.5915             | 47          | -0.8486      | 124.1949      | 3.82911         | 8838.971          | 19:50 |
| 45.30065            | 47          | -0.84055     | 124.2035      | 3.82911         | 8745.2455         | 19:55 |
| 46.0098             | 47          | -0.8325      | 124.2121      | 3.82911         | 8651.2582         | 20:00 |
| 46.71895            | 47          | -0.82445     | 124.2207      | 3.82911         | 8557.0228         | 20:05 |
| 47.4281             | 47          | -0.8164      | 124.2293      | 3.82911         | 8462.553          | 20:10 |
| 48.13725            | 47          | -0.80835     | 124.2379      | 3.82911         | 8367.8626         | 20:15 |
| 48.84641            | 47          | -0.80029     | 124.2465      | 3.82911         | 8272.9654         | 20:20 |
| 49.55556            | 47          | -0.79224     | 124.2551      | 3.82911         | 8177.8755         | 20:25 |
| 50.26471            | 47          | -0.78419     | 124.2637      | 3.82911         | 8082.6068         | 20:30 |
| 50.97386            | 47          | -0.77614     | 124.2723      | 3.82911         | 7987.1735         | 20:35 |
| 51.68301            | 47          | -0.76809     | 124.2808      | 3.82911         | 7194.0887         | 20:40 |
| 52.39216            | 47          | -0.76004     | 124.2894      | 3.82911         | 7060.3038         | 20:45 |
| 53.10131            | 47          | -0.75199     | 124.298       | 3.82911         | 6926.9067         | 20:50 |
| 53.81046            | 47          | -0.74394     | 124.3066      | 3.82911         | 6793.9617         | 20:55 |
| 54.51961            | 47          | -0.73589     | 124.3152      | 3.82911         | 6661.537          | 21:00 |
| 55.22876            | 47          | -0.72784     | 124.3238      | 3.82911         | 6529.7049         | 21:05 |
| 55.93791            | 47          | -0.71979     | 124.3324      | 3.82911         | 6398.5421         | 21:10 |
| 56.64706            | 47          | -0.71174     | 124.341       | 3.82911         | 6268.1305         | 21:15 |
| 57.35621            | 47          | -0.70369     | 124.3496      | 3.82911         | 6138.5572         | 21:20 |
| 58.06536            | 47          | -0.69564     | 124.3582      | 3.82911         | 6009.9153         | 21:25 |
| 58.77451            | 47          | -0.68759     | 124.3668      | 3.82911         | 5882.3043         | 21:30 |
| 59.48366            | 47          | -0.67954     | 124.3754      | 3.82911         | 5755.8307         | 21:35 |
| 60.19281            | 47          | -0.67149     | 124.3839      | 3.82911         | 5630.6089         | 21:40 |
| 60.90196            | 47          | -0.66344     | 124.3925      | 3.82911         | 5506.7612         | 21:45 |
| 61.61111            | 47          | -0.65539     | 124.4011      | 3.82911         | 5384.4193         | 21:50 |
| 62.32026            | 47          | -0.64734     | 124.4097      | 3.82911         | 5263.7242         | 21:55 |
| 63.02941            | 47          | -0.63929     | 124.4183      | 3.82911         | 5144.8278         | 22:00 |
| 63.73856            | 47          | -0.63124     | 124.4269      | 3.82911         | 5027.8928         | 22:05 |
| 64.44771            | 47          | -0.62319     | 124.4355      | 3.82911         | 4913.0941         | 22:10 |
| 65.15686            | 47          | -0.61514     | 124.4441      | 3.82911         | 4800.6193         | 22:15 |
| 65.86601            | 47          | -0.60709     | 124.4527      | 3.82911         | 4690.6694         | 22:20 |
| 66.57516            | 47          | -0.59904     | 124.4613      | 3.82911         | 4583.4594         | 22:25 |
| 67.28431            | 47          | -0.59099     | 124.4699      | 3.82911         | 4479.2185         | 22:30 |
| 67.99346            | 47          | -0.58294     | 124.4785      | 3.82911         | 4378.1911         | 22:35 |
| 68.70261            | 47          | -0.57489     | 124.4871      | 3.82911         | 4280.6359         | 22:40 |
| 69.41176            | 47          | -0.56684     | 124.4956      | 3.82911         | 4186.8267         | 22:45 |
| 70.12092            | 47          | -0.55878     | 124.5042      | 3.82911         | 4097.0507         | 22:50 |
| 70.83007            | 47          | -0.55073     | 124.5128      | 3.82911         | 4011.608          | 22:55 |

| Total Distance (Km) | Heading (°) | Latitude (°) | Longitude (°) | Kecepatan (m/s) | Jarak 2 titik (m) | Waktu |
|---------------------|-------------|--------------|---------------|-----------------|-------------------|-------|
| 71.53922            | 47          | -0.54268     | 124.5214      | 3.82911         | 3930.8098         | 23:00 |
| 72.24837            | 47          | -0.53463     | 124.53        | 3.82911         | 3854.9758         | 23:05 |
| 72.95752            | 47          | -0.52658     | 124.5386      | 3.82911         | 3784.4311         | 23:10 |
| 73.66667            | 47          | -0.51853     | 124.5472      | 3.82911         | 3719.5026         | 23:15 |
| 74.37582            | 47          | -0.51048     | 124.5558      | 3.82911         | 3660.5138         | 23:20 |
| 75.08497            | 47          | -0.50243     | 124.5644      | 3.82911         | 3607.7799         | 23:25 |
| 75.79412            | 47          | -0.49438     | 124.573       | 3.82911         | 3561.6012         | 23:30 |
| 76.50327            | 47          | -0.48633     | 124.5816      | 3.82911         | 3522.2571         | 23:35 |
| 77.21242            | 47          | -0.47828     | 124.5902      | 3.82911         | 3489.9988         | 23:40 |
| 77.92157            | 47          | -0.47023     | 124.5988      | 3.82911         | 3465.043          | 23:45 |
| 78.63072            | 47          | -0.46218     | 124.6073      | 3.82911         | 3447.5658         | 23:50 |
| 79.33987            | 47          | -0.45413     | 124.6159      | 3.82911         | 3437.6974         | 23:55 |
| 80.04902            | 47          | -0.44608     | 124.6245      | 3.82911         | 3435.5182         | 00:00 |
| 80.75817            | 47          | -0.43803     | 124.6331      | 3.82911         | 3441.0559         | 00:05 |
| 81.46732            | 47          | -0.42998     | 124.6417      | 3.82911         | 3454.2854         | 00:10 |
| 82.17647            | 47          | -0.42193     | 124.6503      | 3.82911         | 3475.1292         | 00:15 |
| 82.88562            | 47          | -0.41388     | 124.6589      | 3.82911         | 3503.4603         | 00:20 |
| 83.59477            | 47          | -0.40583     | 124.6675      | 3.82911         | 3539.1065         | 00:25 |
| 84.30392            | 47          | -0.39778     | 124.6761      | 3.82911         | 3753.9082         | 00:30 |
| 85.01307            | 47          | -0.38973     | 124.6847      | 3.82911         | 4110.017          | 00:35 |
| 85.72222            | 47          | -0.38168     | 124.6933      | 3.82911         | 4487.8197         | 00:40 |
| 86.43137            | 47          | -0.37363     | 124.7019      | 3.82911         | 4597.6656         | 00:45 |
| 87.14052            | 47          | -0.36558     | 124.7105      | 3.82911         | 4710.6397         | 00:50 |
| 87.84967            | 47          | -0.35753     | 124.719       | 3.82911         | 4826.5309         | 00:55 |
| 88.55882            | 47          | -0.34948     | 124.7276      | 3.82911         | 4945.1413         | 01:00 |
| 89.26797            | 47          | -0.34143     | 124.7362      | 3.82911         | 5066.2865         | 01:05 |
| 89.97712            | 47          | -0.33338     | 124.7448      | 3.82911         | 5189.7945         | 01:10 |
| 90.68627            | 47          | -0.32533     | 124.7534      | 3.82911         | 5315.5052         | 01:15 |
| 91.39542            | 47          | -0.31728     | 124.762       | 3.82911         | 5443.2699         | 01:20 |
| 92.10458            | 47          | -0.30922     | 124.7706      | 3.82911         | 5572.9504         | 01:25 |
| 92.81373            | 47          | -0.30117     | 124.7792      | 3.82911         | 5704.4185         | 01:30 |
| 93.52288            | 47          | -0.29312     | 124.7878      | 3.82911         | 5837.5551         | 01:35 |
| 94.23203            | 47          | -0.28507     | 124.7964      | 3.82911         | 5972.2496         | 01:40 |
| 94.94118            | 47          | -0.27702     | 124.805       | 3.82911         | 6108.3994         | 01:45 |
| 95.65033            | 47          | -0.26897     | 124.8136      | 3.82911         | 6245.909          | 01:50 |
| 96.35948            | 47          | -0.26092     | 124.8221      | 3.82911         | 6384.69           | 01:55 |
| 97.06863            | 47          | -0.25287     | 124.8307      | 3.82911         | 6524.6599         | 02:00 |
| 97.77778            | 47          | -0.24482     | 124.8393      | 3.82911         | 6665.7419         | 02:05 |
| 98.48693            | 47          | -0.23677     | 124.8479      | 3.82911         | 6807.8646         | 02:10 |
| 99.19608            | 47          | -0.22872     | 124.8565      | 3.82911         | 6950.9615         | 02:15 |
| 99.90523            | 47          | -0.22067     | 124.8651      | 3.82911         | 7094.9703         | 02:20 |
| 100.6144            | 47          | -0.21262     | 124.8737      | 3.82911         | 7239.8329         | 02:25 |
| 101.3235            | 47          | -0.20457     | 124.8823      | 3.82911         | 7385.495          | 02:30 |
| 102.0327            | 47          | -0.19652     | 124.8909      | 3.82911         | 7531.9057         | 02:35 |

| Total Distance (Km) | Heading (°) | Latitude (°) | Longitude (°) | Kecepatan (m/s) | Jarak 2 titik (m) | Waktu |
|---------------------|-------------|--------------|---------------|-----------------|-------------------|-------|
| 102.7418            | 47          | -0.18847     | 124.8995      | 3.82911         | 7679.0174         | 02:40 |
| 103.451             | 47          | -0.18042     | 124.9081      | 3.82911         | 7826.7852         | 02:45 |
| 104.1601            | 47          | -0.17237     | 124.9167      | 3.82911         | 7975.167          | 02:50 |
| 104.8693            | 47          | -0.16432     | 124.9253      | 3.82911         | 8124.1233         | 02:55 |
| 105.5784            | 47          | -0.15627     | 124.9338      | 3.82911         | 8273.6166         | 03:00 |
| 106.2876            | 47          | -0.14822     | 124.9424      | 3.82911         | 8423.6118         | 03:05 |
| 106.9967            | 47          | -0.14017     | 124.951       | 3.82911         | 8574.0756         | 03:10 |
| 107.7059            | 47          | -0.13212     | 124.9596      | 3.82911         | 8724.9763         | 03:15 |
| 108.415             | 47          | -0.12407     | 124.9682      | 3.82911         | 8876.2842         | 03:20 |
| 109.1242            | 47          | -0.11602     | 124.9768      | 3.82911         | 9027.9709         | 03:25 |
| 109.8333            | 47          | -0.10797     | 124.9854      | 3.82911         | 9180.0094         | 03:30 |
| 110.5425            | 47          | -0.09992     | 124.994       | 3.82911         | 9332.374          | 03:35 |
| 111.2516            | 47          | -0.09187     | 125.0026      | 3.82911         | 9485.0402         | 03:40 |
| 111.9608            | 47          | -0.08382     | 125.0112      | 3.82911         | 9637.9847         | 03:45 |
| 112.6699            | 47          | -0.07577     | 125.0198      | 3.82911         | 9791.1851         | 03:50 |
| 113.3791            | 47          | -0.06772     | 125.0284      | 3.82911         | 9944.62           | 03:55 |
| 114.0882            | 47          | -0.05966     | 125.037       | 3.82911         | 10098.269         | 04:00 |
| 114.7974            | 47          | -0.05161     | 125.0455      | 3.82911         | 10252.112         | 04:05 |
| 115.5065            | 47          | -0.04356     | 125.0541      | 3.82911         | 10406.13          | 04:10 |
| 116.2157            | 47          | -0.03551     | 125.0627      | 3.82911         | 10560.304         | 04:15 |
| 116.9248            | 47          | -0.02746     | 125.0713      | 3.82911         | 10714.618         | 04:20 |
| 117.634             | 47          | -0.01941     | 125.0799      | 3.82911         | 10869.054         | 04:25 |
| 118.3431            | 47          | -0.01136     | 125.0885      | 3.82911         | 11023.595         | 04:30 |
| 119.0523            | 47          | -0.00331     | 125.0971      | 3.82911         | 11178.225         | 04:35 |
| 119.7614            | 47          | 0.004738     | 125.1057      | 3.82911         | 11332.928         | 04:40 |
| 120.4706            | 47          | 0.012788     | 125.1143      | 3.82911         | 11487.69          | 04:45 |
| 121.1797            | 47          | 0.020839     | 125.1229      | 3.82911         | 11642.494         | 04:50 |
| 121.8889            | 47          | 0.028889     | 125.1315      | 3.82911         | 11797.327         | 04:55 |
| 122.598             | 47          | 0.036939     | 125.1401      | 3.82911         | 11952.175         | 05:00 |
| 123.3072            | 47          | 0.04499      | 125.1487      | 3.82911         | 12107.022         | 05:05 |
| 124.0163            | 47          | 0.05304      | 125.1572      | 3.82911         | 12261.856         | 05:10 |
| 124.7255            | 47          | 0.06109      | 125.1658      | 3.82911         | 12416.663         | 05:15 |
| 125.4346            | 47          | 0.069141     | 125.1744      | 3.82911         | 12571.428         | 05:20 |
| 126.1438            | 47          | 0.077191     | 125.183       | 3.82911         | 12726.14          | 05:25 |
| 126.8529            | 47          | 0.085241     | 125.1916      | 3.82911         | 12880.785         | 05:30 |
| 127.5621            | 47          | 0.093292     | 125.2002      | 3.82911         | 13035.349         | 05:35 |
| 128.2712            | 47          | 0.101342     | 125.2088      | 3.82911         | 13189.819         | 05:40 |
| 128.9804            | 47          | 0.109392     | 125.2174      | 3.82911         | 13344.183         | 05:45 |
| 129.6895            | 47          | 0.117442     | 125.226       | 3.82911         | 13498.428         | 05:50 |
| 130.3987            | 47          | 0.125493     | 125.2346      | 3.82911         | 13652.539         | 05:55 |
| 131.1078            | 47          | 0.133543     | 125.2432      | 3.82911         | 13806.505         | 06:00 |
| 131.817             | 47          | 0.141593     | 125.2518      | 3.82911         | 13960.312         | 06:05 |
| 132.5261            | 47          | 0.149644     | 125.2603      | 3.82911         | 14113.947         | 06:10 |
| 133.2353            | 47          | 0.157694     | 125.2689      | 3.82911         | 14267.395         | 06:15 |

| Total Distance (Km) | Heading (°) | Latitude (°) | Longitude (°) | Kecepatan (m/s) | Jarak 2 titik (m) | Waktu |
|---------------------|-------------|--------------|---------------|-----------------|-------------------|-------|
| 133.9444            | 47          | 0.165744     | 125.2775      | 3.82911         | 14420.643         | 06:20 |
| 134.6536            | 47          | 0.173795     | 125.2861      | 3.82911         | 2122.152          | 06:25 |
| 135.3627            | 47          | 0.181845     | 125.2947      | 3.82911         | 2131.9463         | 06:30 |
| 136.0719            | 47          | 0.189895     | 125.3033      | 3.82911         | 2147.0353         | 06:35 |
| 136.781             | 47          | 0.197946     | 125.3119      | 3.82911         | 2167.2912         | 06:40 |
| 137.4902            | 47          | 0.205996     | 125.3205      | 3.82911         | 2192.5531         | 06:45 |
| 138.1993            | 47          | 0.214046     | 125.3291      | 3.82911         | 2222.632          | 06:50 |
| 138.9085            | 47          | 0.222097     | 125.3377      | 3.82911         | 2257.3164         | 06:55 |
| 139.6176            | 47          | 0.230147     | 125.3463      | 3.82911         | 2296.3785         | 07:00 |
| 140.3268            | 47          | 0.238197     | 125.3549      | 3.82911         | 2339.5791         | 07:05 |
| 141.0359            | 47          | 0.246248     | 125.3635      | 3.82911         | 2386.6736         | 07:10 |
| 141.7451            | 47          | 0.254298     | 125.372       | 3.82911         | 2437.4158         | 07:15 |
| 142.4542            | 47          | 0.262348     | 125.3806      | 3.82911         | 2491.562          | 07:20 |
| 143.1634            | 47          | 0.270399     | 125.3892      | 3.82911         | 2548.8743         | 07:25 |
| 143.8725            | 47          | 0.278449     | 125.3978      | 3.82911         | 2609.1226         | 07:30 |
| 144.5817            | 47          | 0.286499     | 125.4064      | 3.82911         | 2672.0869         | 07:35 |
| 145.2908            | 47          | 0.29455      | 125.415       | 3.82911         | 2737.5579         | 07:40 |
| 146                 | 47          | 0.3026       | 125.4236      | 586.393         | 2805.3382         | 07:45 |
| 148.8               | 49          | 0.3386       | 125.4644      | 15.1188         | 3041.0222         | 07:50 |
| 153                 | 51          | 0.3841       | 125.5193      | 22.6782         | 3373.9394         | 07:55 |
| 158.5               | 57          | 0.4357       | 125.5958      | 29.6976         | 3848.0399         | 08:00 |
| 164.1               | 69          | 0.4659       | 125.6836      | 30.2376         | 4387.4651         | 08:05 |
| 168.6               | 73          | 0.4879       | 125.755       | 24.2981         | 4827.1073         | 08:10 |
| 173                 | 77          | 0.5044       | 125.8264      | 23.7581         | 5261.4267         | 08:15 |
| 177.1               | 74          | 0.5236       | 125.895       | 22.1382         | 5674.5886         | 08:20 |
| 181.1               | 78          | 0.5373       | 125.9582      | 21.5983         | 6053.6381         | 08:25 |
| 185.5               | 75          | 0.5565       | 126.0296      | 23.7581         | 6470.1214         | 08:30 |
| 189.5588            | 75          | 0.573818     | 126.0949      | 21.9159         | 7635.4239         | 08:35 |
| 193.6176            | 75          | 0.591135     | 126.1602      | 21.9159         | 8061.3321         | 08:40 |
| 197.6765            | 75          | 0.608453     | 126.2255      | 21.9159         | 8478.8646         | 08:45 |
| 201.7353            | 75          | 0.625771     | 126.2908      | 21.9159         | 8887.1686         | 08:50 |
| 205.7941            | 75          | 0.643088     | 126.3562      | 21.9159         | 9285.3069         | 08:55 |
| 209.8529            | 75          | 0.660406     | 126.4215      | 21.9159         | 9672.2503         | 09:00 |
| 213.9118            | 75          | 0.677724     | 126.4868      | 21.9159         | 10046.87          | 09:05 |
| 217.9706            | 75          | 0.695041     | 126.5521      | 21.9159         | 10407.935         | 09:10 |
| 222.0294            | 75          | 0.712359     | 126.6174      | 21.9159         | 10754.102         | 09:15 |
| 226.0882            | 75          | 0.729676     | 126.6827      | 21.9159         | 11083.927         | 09:20 |
| 230.1471            | 75          | 0.746994     | 126.748       | 21.9159         | 11395.862         | 09:25 |
| 234.2059            | 75          | 0.764312     | 126.8133      | 21.9159         | 11688.275         | 09:30 |
| 238.2647            | 75          | 0.781629     | 126.8787      | 21.9159         | 11959.471         | 09:35 |
| 242.3235            | 75          | 0.798947     | 126.944       | 21.9159         | 12207.729         | 09:40 |
| 246.3824            | 75          | 0.816265     | 127.0093      | 21.9159         | 12431.349         | 09:45 |
| 250.4412            | 75          | 0.833582     | 127.0746      | 21.9159         | 12628.715         | 09:50 |
| 254.5               | 75          | 0.8509       | 127.1399      | 372.57          | 12798.367         | 09:55 |

f. Data AIS Kapal 2 Skenario 1b Tidak Melakukan *Transshipment*

| Total Distance (Km) | Heading (°) | Latitude (°) | Longitude (°) | Kecepatan (m/s) | Waktu |
|---------------------|-------------|--------------|---------------|-----------------|-------|
| 150.5               | 241         | 0.4215       | 125.0585      | 812.635         | 06:05 |
| 150.8483            | 237         | 0.418366     | 125.0536      | 1.88054         | 06:10 |
| 151.1966            | 237         | 0.415231     | 125.0488      | 1.88054         | 06:15 |
| 151.5448            | 237         | 0.412097     | 125.0439      | 1.88054         | 06:20 |
| 151.8931            | 237         | 0.408962     | 125.0391      | 1.88054         | 06:25 |
| 152.2414            | 237         | 0.405828     | 125.0342      | 1.88054         | 06:30 |
| 152.5897            | 237         | 0.402693     | 125.0293      | 1.88054         | 06:35 |
| 152.9379            | 237         | 0.399559     | 125.0245      | 1.88054         | 06:40 |
| 153.2862            | 237         | 0.396424     | 125.0196      | 1.88054         | 06:45 |
| 153.6345            | 237         | 0.39329      | 125.0148      | 1.88054         | 06:50 |
| 153.9828            | 237         | 0.390155     | 125.0099      | 1.88054         | 06:55 |
| 154.331             | 237         | 0.387021     | 125.0051      | 1.88054         | 07:00 |
| 154.6793            | 237         | 0.383886     | 125.0002      | 1.88054         | 07:05 |
| 155.0276            | 237         | 0.380752     | 124.9953      | 1.88054         | 07:10 |
| 155.3759            | 237         | 0.377617     | 124.9905      | 1.88054         | 07:15 |
| 155.7241            | 237         | 0.374483     | 124.9856      | 1.88054         | 07:20 |
| 156.0724            | 237         | 0.371348     | 124.9808      | 1.88054         | 07:25 |
| 156.4207            | 237         | 0.368214     | 124.9759      | 1.88054         | 07:30 |
| 156.769             | 237         | 0.365079     | 124.971       | 1.88054         | 07:35 |
| 157.1172            | 237         | 0.361945     | 124.9662      | 1.88054         | 07:40 |
| 157.4655            | 237         | 0.35881      | 124.9613      | 1.88054         | 07:45 |
| 157.8138            | 237         | 0.355676     | 124.9565      | 1.88054         | 07:50 |
| 158.1621            | 237         | 0.352541     | 124.9516      | 1.88054         | 07:55 |
| 158.5103            | 237         | 0.349407     | 124.9468      | 1.88054         | 08:00 |
| 158.8586            | 237         | 0.346272     | 124.9419      | 1.88054         | 08:05 |
| 159.2069            | 237         | 0.343138     | 124.937       | 1.88054         | 08:10 |
| 159.5552            | 237         | 0.340003     | 124.9322      | 1.88054         | 08:15 |
| 159.9034            | 237         | 0.336869     | 124.9273      | 1.88054         | 08:20 |
| 160.2517            | 237         | 0.333734     | 124.9225      | 1.88054         | 08:25 |
| 160.6               | 237         | 0.3306       | 124.9176      | 54.5357         | 08:30 |
| 168.6               | 235         | 0.2537       | 124.8078      | 43.1966         | 08:35 |
| 169.4578            | 243         | 0.247164     | 124.7951      | 4.63163         | 08:40 |
| 170.3156            | 243         | 0.240629     | 124.7824      | 4.63163         | 08:45 |
| 171.1733            | 243         | 0.234093     | 124.7696      | 4.63163         | 08:50 |
| 172.0311            | 243         | 0.227558     | 124.7569      | 4.63163         | 08:55 |
| 172.8889            | 243         | 0.221022     | 124.7442      | 4.63163         | 09:00 |
| 173.7467            | 243         | 0.214487     | 124.7315      | 4.63163         | 09:05 |
| 174.6044            | 243         | 0.207951     | 124.7188      | 4.63163         | 09:10 |
| 175.4622            | 243         | 0.201416     | 124.7061      | 4.63163         | 09:15 |
| 176.32              | 243         | 0.19488      | 124.6933      | 4.63163         | 09:20 |
| 177.1778            | 243         | 0.188344     | 124.6806      | 4.63163         | 09:25 |
| 178.0356            | 243         | 0.181809     | 124.6679      | 4.63163         | 09:30 |

| Total Distance (Km) | Heading (°) | Latitude (°) | Longitude (°) | Kecepatan (m/s) | Waktu |
|---------------------|-------------|--------------|---------------|-----------------|-------|
| 178.8933            | 243         | 0.175273     | 124.6552      | 4.63163         | 09:35 |
| 179.7511            | 243         | 0.168738     | 124.6425      | 4.63163         | 09:40 |
| 180.6089            | 243         | 0.162202     | 124.6298      | 4.63163         | 09:45 |
| 181.4667            | 243         | 0.155667     | 124.617       | 4.63163         | 09:50 |
| 182.3244            | 243         | 0.149131     | 124.6043      | 4.63163         | 09:55 |
| 183.1822            | 243         | 0.142596     | 124.5916      | 4.63163         | 10:00 |
| 184.04              | 243         | 0.13606      | 124.5789      | 4.63163         | 10:05 |
| 184.8978            | 243         | 0.129524     | 124.5662      | 4.63163         | 10:10 |
| 185.7556            | 243         | 0.122989     | 124.5534      | 4.63163         | 10:15 |
| 186.6133            | 243         | 0.116453     | 124.5407      | 4.63163         | 10:20 |
| 187.4711            | 243         | 0.109918     | 124.528       | 4.63163         | 10:25 |
| 188.3289            | 243         | 0.103382     | 124.5153      | 4.63163         | 10:30 |
| 189.1867            | 243         | 0.096847     | 124.5026      | 4.63163         | 10:35 |
| 190.0444            | 243         | 0.090311     | 124.4899      | 4.63163         | 10:40 |
| 190.9022            | 243         | 0.083776     | 124.4771      | 4.63163         | 10:45 |
| 191.76              | 243         | 0.07724      | 124.4644      | 4.63163         | 10:50 |
| 192.6178            | 243         | 0.070704     | 124.4517      | 4.63163         | 10:55 |
| 193.4756            | 243         | 0.064169     | 124.439       | 4.63163         | 11:00 |
| 194.3333            | 243         | 0.057633     | 124.4263      | 4.63163         | 11:05 |
| 195.1911            | 243         | 0.051098     | 124.4135      | 4.63163         | 11:10 |
| 196.0489            | 243         | 0.044562     | 124.4008      | 4.63163         | 11:15 |
| 196.9067            | 243         | 0.038027     | 124.3881      | 4.63163         | 11:20 |
| 197.7644            | 243         | 0.031491     | 124.3754      | 4.63163         | 11:25 |
| 198.6222            | 243         | 0.024956     | 124.3627      | 4.63163         | 11:30 |
| 199.48              | 243         | 0.01842      | 124.35        | 4.63163         | 11:35 |
| 200.3378            | 243         | 0.011884     | 124.3372      | 4.63163         | 11:40 |
| 201.1956            | 243         | 0.005349     | 124.3245      | 4.63163         | 11:45 |
| 202.0533            | 243         | -0.00119     | 124.3118      | 4.63163         | 11:50 |
| 202.9111            | 243         | -0.00772     | 124.2991      | 4.63163         | 11:55 |
| 203.7689            | 243         | -0.01426     | 124.2864      | 4.63163         | 12:00 |
| 204.6267            | 243         | -0.02079     | 124.2737      | 4.63163         | 12:05 |
| 205.4844            | 243         | -0.02733     | 124.2609      | 4.63163         | 12:10 |
| 206.3422            | 243         | -0.03386     | 124.2482      | 4.63163         | 12:15 |
| 207.2               | 243         | -0.0404      | 124.2355      | 208.423         | 12:20 |
| 211.2               | 248         | -0.065       | 124.1735      | 21.5983         | 12:25 |
| 216.4               | 251         | -0.0939      | 124.0911      | 28.0778         | 12:30 |
| 220.6               | 260         | -0.1063      | 124.0218      | 22.6782         | 12:35 |
| 221.4909            | 260         | -0.10889     | 124.0072      | 4.81053         | 12:40 |
| 222.3818            | 260         | -0.11148     | 123.9927      | 4.81053         | 12:45 |
| 223.2727            | 260         | -0.11407     | 123.9781      | 4.81053         | 12:50 |
| 224.1636            | 260         | -0.11665     | 123.9635      | 4.81053         | 12:55 |
| 225.0545            | 260         | -0.11924     | 123.9489      | 4.81053         | 13:00 |
| 225.9455            | 260         | -0.12183     | 123.9344      | 4.81053         | 13:05 |
| 226.8364            | 260         | -0.12442     | 123.9198      | 4.81053         | 13:10 |

| Total Distance (Km) | Heading (°) | Latitude (°) | Longitude (°) | Kecepatan (m/s) | Waktu |
|---------------------|-------------|--------------|---------------|-----------------|-------|
| 227.7273            | 260         | -0.12701     | 123.9052      | 4.81053         | 13:15 |
| 228.6182            | 260         | -0.1296      | 123.8906      | 4.81053         | 13:20 |
| 229.5091            | 260         | -0.13219     | 123.8761      | 4.81053         | 13:25 |
| 230.4               | 260         | -0.13478     | 123.8615      | 4.81053         | 13:30 |
| 231.2909            | 260         | -0.13736     | 123.8469      | 4.81053         | 13:35 |
| 232.1818            | 260         | -0.13995     | 123.8323      | 4.81053         | 13:40 |
| 233.0727            | 260         | -0.14254     | 123.8178      | 4.81053         | 13:45 |
| 233.9636            | 260         | -0.14513     | 123.8032      | 4.81053         | 13:50 |
| 234.8545            | 260         | -0.14772     | 123.7886      | 4.81053         | 13:55 |
| 235.7455            | 260         | -0.15031     | 123.774       | 4.81053         | 14:00 |
| 236.6364            | 260         | -0.1529      | 123.7595      | 4.81053         | 14:05 |
| 237.5273            | 260         | -0.15548     | 123.7449      | 4.81053         | 14:10 |
| 238.4182            | 260         | -0.15807     | 123.7303      | 4.81053         | 14:15 |
| 239.3091            | 260         | -0.16066     | 123.7157      | 4.81053         | 14:20 |
| 240.2               | 260         | -0.16325     | 123.7012      | 4.81053         | 14:25 |
| 241.0909            | 260         | -0.16584     | 123.6866      | 4.81053         | 14:30 |
| 241.9818            | 260         | -0.16843     | 123.672       | 4.81053         | 14:35 |
| 242.8727            | 260         | -0.17102     | 123.6575      | 4.81053         | 14:40 |
| 243.7636            | 260         | -0.1736      | 123.6429      | 4.81053         | 14:45 |
| 244.6545            | 260         | -0.17619     | 123.6283      | 4.81053         | 14:50 |
| 245.5455            | 260         | -0.17878     | 123.6137      | 4.81053         | 14:55 |
| 246.4364            | 260         | -0.18137     | 123.5992      | 4.81053         | 15:00 |
| 247.3273            | 260         | -0.18396     | 123.5846      | 4.81053         | 15:05 |
| 248.2182            | 260         | -0.18655     | 123.57        | 4.81053         | 15:10 |
| 249.1091            | 260         | -0.18914     | 123.5554      | 4.81053         | 15:15 |
| 250                 | 260         | -0.19173     | 123.5409      | 4.81053         | 15:20 |
| 250.8909            | 260         | -0.19431     | 123.5263      | 4.81053         | 15:25 |
| 251.7818            | 260         | -0.1969      | 123.5117      | 4.81053         | 15:30 |
| 252.6727            | 260         | -0.19949     | 123.4971      | 4.81053         | 15:35 |
| 253.5636            | 260         | -0.20208     | 123.4826      | 4.81053         | 15:40 |
| 254.4545            | 260         | -0.20467     | 123.468       | 4.81053         | 15:45 |
| 255.3455            | 260         | -0.20726     | 123.4534      | 4.81053         | 15:50 |
| 256.2364            | 260         | -0.20985     | 123.4388      | 4.81053         | 15:55 |
| 257.1273            | 260         | -0.21243     | 123.4243      | 4.81053         | 16:00 |
| 258.0182            | 260         | -0.21502     | 123.4097      | 4.81053         | 16:05 |
| 258.9091            | 260         | -0.21761     | 123.3951      | 4.81053         | 16:10 |
| 259.8               | 260         | -0.2202      | 123.3806      | 4.81053         | 16:15 |
| 260.6909            | 260         | -0.22279     | 123.366       | 4.81053         | 16:20 |
| 261.5818            | 260         | -0.22538     | 123.3514      | 4.81053         | 16:25 |
| 262.4727            | 260         | -0.22797     | 123.3368      | 4.81053         | 16:30 |
| 263.3636            | 260         | -0.23055     | 123.3223      | 4.81053         | 16:35 |
| 264.2545            | 260         | -0.23314     | 123.3077      | 4.81053         | 16:40 |
| 265.1455            | 260         | -0.23573     | 123.2931      | 4.81053         | 16:45 |
| 266.0364            | 260         | -0.23832     | 123.2785      | 4.81053         | 16:50 |

| Total Distance (Km) | Heading (°) | Latitude (°) | Longitude (°) | Kecepatan (m/s) | Waktu |
|---------------------|-------------|--------------|---------------|-----------------|-------|
| 266.9273            | 260         | -0.24091     | 123.264       | 4.81053         | 16:55 |
| 267.8182            | 260         | -0.2435      | 123.2494      | 4.81053         | 17:00 |
| 268.7091            | 260         | -0.24609     | 123.2348      | 4.81053         | 17:05 |
| 269.6               | 260         | -0.24868     | 123.2202      | 4.81053         | 17:10 |
| 270.4909            | 260         | -0.25126     | 123.2057      | 4.81053         | 17:15 |
| 271.3818            | 260         | -0.25385     | 123.1911      | 4.81053         | 17:20 |
| 272.2727            | 260         | -0.25644     | 123.1765      | 4.81053         | 17:25 |
| 273.1636            | 260         | -0.25903     | 123.1619      | 4.81053         | 17:30 |
| 274.0545            | 260         | -0.26162     | 123.1474      | 4.81053         | 17:35 |
| 274.9455            | 260         | -0.26421     | 123.1328      | 4.81053         | 17:40 |
| 275.8364            | 260         | -0.2668      | 123.1182      | 4.81053         | 17:45 |
| 276.7273            | 260         | -0.26938     | 123.1036      | 4.81053         | 17:50 |
| 277.6182            | 260         | -0.27197     | 123.0891      | 4.81053         | 17:55 |
| 278.5091            | 260         | -0.27456     | 123.0745      | 4.81053         | 18:00 |
| 279.4               | 260         | -0.27715     | 123.0599      | 4.81053         | 18:05 |
| 280.2909            | 260         | -0.27974     | 123.0454      | 4.81053         | 18:10 |
| 281.1818            | 260         | -0.28233     | 123.0308      | 4.81053         | 18:15 |
| 282.0727            | 260         | -0.28492     | 123.0162      | 4.81053         | 18:20 |
| 282.9636            | 260         | -0.2875      | 123.0016      | 4.81053         | 18:25 |
| 283.8545            | 260         | -0.29009     | 122.9871      | 4.81053         | 18:30 |
| 284.7455            | 260         | -0.29268     | 122.9725      | 4.81053         | 18:35 |
| 285.6364            | 260         | -0.29527     | 122.9579      | 4.81053         | 18:40 |
| 286.5273            | 260         | -0.29786     | 122.9433      | 4.81053         | 18:45 |
| 287.4182            | 260         | -0.30045     | 122.9288      | 4.81053         | 18:50 |
| 288.3091            | 260         | -0.30304     | 122.9142      | 4.81053         | 18:55 |
| 289.2               | 260         | -0.30563     | 122.8996      | 4.81053         | 19:00 |
| 290.0909            | 260         | -0.30821     | 122.885       | 4.81053         | 19:05 |
| 290.9818            | 260         | -0.3108      | 122.8705      | 4.81053         | 19:10 |
| 291.8727            | 260         | -0.31339     | 122.8559      | 4.81053         | 19:15 |
| 292.7636            | 260         | -0.31598     | 122.8413      | 4.81053         | 19:20 |
| 293.6545            | 260         | -0.31857     | 122.8267      | 4.81053         | 19:25 |
| 294.5455            | 260         | -0.32116     | 122.8122      | 4.81053         | 19:30 |
| 295.4364            | 260         | -0.32375     | 122.7976      | 4.81053         | 19:35 |
| 296.3273            | 260         | -0.32633     | 122.783       | 4.81053         | 19:40 |
| 297.2182            | 260         | -0.32892     | 122.7684      | 4.81053         | 19:45 |
| 298.1091            | 260         | -0.33151     | 122.7539      | 4.81053         | 19:50 |
| 299                 | 260         | -0.3341      | 122.7393      | 422.246         | 19:55 |
| 303.3               | 265         | -0.3446      | 122.6678      | 23.2182         | 20:00 |
| 308                 | 267         | -0.3487      | 122.5903      | 25.378          | 20:05 |
| 312.7               | 269         | -0.3507      | 122.5107      | 25.378          | 20:10 |

B. *Rules Fuzzy Type 2*

```

myIT2FLS.add_rule([("delD", Near), ("delHead", OT),("delV", Small),("delT",
Short)], [("Result", NonTrans)])

myIT2FLS.add_rule([("delD", Near), ("delHead", OT),("delV", Small),("delT",
Long)], [("Result", Trans)])

myIT2FLS.add_rule([("delD", Near), ("delHead", OT),("delV", Big),("delT", Short)],
[("Result", NonTrans)])

myIT2FLS.add_rule([("delD", Near), ("delHead", OT),("delV", Big),("delT", long)],
[("Result", NonTrans)])

myIT2FLS.add_rule([("delD", Near), ("delHead", C),("delV", Small),("delT", Short)],
[("Result", NonTrans)])

myIT2FLS.add_rule([("delD", Near), ("delHead", C),("delV", Small),("delT", Long)],
[("Result", Trans)])

myIT2FLS.add_rule([("delD", Near), ("delHead", C),("delV", Big),("delT", Short)],
[("Result", NonTrans)])

myIT2FLS.add_rule([("delD", Near), ("delHead", C),("delV", Big),("delT", Long)],
[("Result", NonTrans)])

myIT2FLS.add_rule([("delD", Near), ("delHead", HO),("delV", Small),("delT",
Short)], [("Result", NonTrans)])

myIT2FLS.add_rule([("delD", Near), ("delHead", HO),("delV", Small),("delT",
Long)], [("Result", Trans)])

myIT2FLS.add_rule([("delD", Near), ("delHead", HO),("delV", Big),("delT", Short)],
[("Result", NonTrans)])

myIT2FLS.add_rule([("delD", Near), ("delHead", HO),("delV", Big),("delT", Long)],
[("Result", NonTrans)])

myIT2FLS.add_rule([("delD", Medium), ("delHead", OT),("delV", Small),("delT",
Short)], [("Result", NonTrans)])

myIT2FLS.add_rule([("delD", Medium), ("delHead", OT),("delV", Small),("delT",
Long)], [("Result", Trans)])

myIT2FLS.add_rule([("delD", Medium), ("delHead", OT),("delV", Big),("delT",
Short)], [("Result", NonTrans)])

myIT2FLS.add_rule([("delD", Medium), ("delHead", OT),("delV", Big),("delT",
Long)], [("Result", NonTrans)])

```

```

myIT2FLS.add_rule([("delD", Medium), ("delHead", C), ("delV", Small), ("delT", Short)], [("Result", NonTrans)])
myIT2FLS.add_rule([("delD", Medium), ("delHead", C), ("delV", Small), ("delT", Long)], [("Result", Trans)])
myIT2FLS.add_rule([("delD", Medium), ("delHead", C), ("delV", Big), ("delT", Short)], [("Result", NonTrans)])
myIT2FLS.add_rule([("delD", Medium), ("delHead", C), ("delV", Big), ("delT", Long)], [("Result", NonTrans)])
myIT2FLS.add_rule([("delD", Medium), ("delHead", HO), ("delV", Small), ("delT", Short)], [("Result", NonTrans)])
myIT2FLS.add_rule([("delD", Medium), ("delHead", HO), ("delV", Small), ("delT", Long)], [("Result", Trans)])
myIT2FLS.add_rule([("delD", Medium), ("delHead", HO), ("delV", Big), ("delT", Short)], [("Result", NonTrans)])
myIT2FLS.add_rule([("delD", Medium), ("delHead", HO), ("delV", Big), ("delT", Long)], [("Result", NonTrans)])
myIT2FLS.add_rule([("delD", Far), ("delHead", OT), ("delV", Small), ("delT", Short)], [("Result", NonTrans)])
myIT2FLS.add_rule([("delD", Far), ("delHead", OT), ("delV", Small), ("delT", Long)], [("Result", NonTrans)])
myIT2FLS.add_rule([("delD", Far), ("delHead", OT), ("delV", Big), ("delT", Short)], [("Result", NonTrans)])
myIT2FLS.add_rule([("delD", Far), ("delHead", OT), ("delV", Big), ("delT", Long)], [("Result", NonTrans)])
myIT2FLS.add_rule([("delD", Far), ("delHead", C), ("delV", Small), ("delT", Short)], [("Result", NonTrans)])
myIT2FLS.add_rule([("delD", Far), ("delHead", C), ("delV", Small), ("delT", Long)], [("Result", NonTrans)])
myIT2FLS.add_rule([("delD", Far), ("delHead", C), ("delV", Big), ("delT", Short)], [("Result", NonTrans)])
myIT2FLS.add_rule([("delD", Far), ("delHead", C), ("delV", Big), ("delT", Long)], [("Result", NonTrans)])
myIT2FLS.add_rule([("delD", Far), ("delHead", HO), ("delV", Small), ("delT", Short)], [("Result", NonTrans)])

```

```

myIT2FLS.add_rule([("delD", Far), ("delHead", HO),("delV", Small),("delT", Long)],
[("Result", NonTrans)])
myIT2FLS.add_rule([("delD", Far), ("delHead", HO),("delV", Big),("delT", Short)],
[("Result", NonTrans)])
myIT2FLS.add_rule([("delD", Far), ("delHead", HO),("delV", Big),("delT", Long)],
[("Result", NonTrans)])

```

### C. Source Code Python

#### g. Source code Sub-sistem Losses data

```

import numpy as np
import pandas as pd

from datetime import datetime

from google.colab import drive
drive.mount('/content/drive')

df = pd.read_csv('/content/drive/MyDrive/datanor/banggail.csv')
)
total_rows=len(df.axes[0]) #Axes of 0 is for a row
total_cols=len(df.axes[1]) #Axes of 0 is for a column
print("Jumlah data AIS tercatat : "+str(total_rows))

dataraw = df
dataraw = dataraw.values
dataraw

isLost = False
for i in range(len(dataraw) - 1):
    nowDate = datetime.strptime(dataraw[i][12]," %H:%M:%S")
    nextDate = datetime.strptime(dataraw[i + 1][12]," %H:%M:%S")
    span = nextDate - nowDate
    if int(span.total_seconds()) >= 7200:
        print(f"Lost contact in {int(span.total_seconds())} seconds, Data index at : {i} - {i + 1}")
        isLost = True

if isLost == False:
    print("There is No Lost Contact Detected")

```

#### h. Source code Sub-sistem Prediktor

```

# Recurrent Neural network
# Prediktor for predicting missing longitude and latitude
position data of illegal transhipment ships

```

```

# Part 1 - Data Preprocessing
# Importing the libraries

```

lx

```
import numpy as np
import pandas as pd
import random
import tensorflow as tf
from google.colab import drive
drive.mount('/content/drive')

# Fix random seed for reproducibility
seed = 1
np.random.seed = seed
random.seed = seed
tf.random.set_seed = seed

# Importing the training set
dataset_train = pd.read_csv('/content/drive/MyDrive/datanor/hamaherafull.csv')
training_set = dataset_train.iloc[0:round(len(dataset_train) * 0.75) - 1, 1:5].values

# Feature Scaling with Normalization
from sklearn.preprocessing import MinMaxScaler
sc = MinMaxScaler(feature_range = (0, 1))
training_set_scaled = sc.fit_transform(training_set)

# Creating a data structure with 5 timesteps and 2 output
X_train = []
y_train = []
for i in range(5, round(len(dataset_train) * 0.75) - 1):
    X_train.append(training_set_scaled[i-5:i, 0:4])
    y_train.append(training_set_scaled[i, 0:4])
X_train, y_train = np.array(X_train), np.array(y_train)
#print(X_train)

# Reshaping
X_train = np.reshape(X_train, (X_train.shape[0], X_train.shape[1], 4))

# Part 2 - Building the RNN
```

```
# Importing the Keras libraries and packages
from keras.models import Sequential
from keras.layers import Dense
from keras.layers import LSTM
from keras.layers import Dropout
from tensorflow.keras.optimizers import Adam

# Initialising the RNN
regressor = Sequential()

# Adding the input layer, the first LSTM layer and some Dropout regularisation
regressor.add(LSTM(units = 25, return_sequences = False,
input_shape = (X_train.shape[1], 4)))
regressor.add(Dropout(0.2))

# Adding the output layer
regressor.add(Dense(units = 4))

# Compiling the RNN
opt = Adam(learning_rate = 0.005)
regressor.compile(optimizer = opt, loss = 'mean_squared_error')

# Fitting the RNN to the Training set
history = regressor.fit(X_train, y_train, epochs = 1000, batch_size = 5)

# Part 3 - Making the predictions and validating the results
dataset_test = pd.read_csv('/content/drive/MyDrive/datanor/sis
kal2.csv')
actual_data = dataset_test.iloc[round(len(dataset_train) * 0.75) + 1:len(dataset_train), 1:5].values

# Input Data
inputs = dataset_test.iloc[round(len(dataset_train) * 0.75) - 4 : len(dataset_train), 1:5].values
inputs = sc.transform(inputs)
```

```

X_test = []
for i in range(5, (len(dataset_train) - (round(len(dataset_train) * 0.75) + 1) + 5)):
    X_test.append(inputs[i-5:i, 0:4])
X_test = np.array(X_test)
X_test = np.reshape(X_test, (X_test.shape[0], X_test.shape[1],
4))
predicted_longlat_trans = regressor.predict(X_test)
predicted_longlat_trans = sc.inverse_transform(predicted_longlat_trans)

predictedRNN = regressor.predict(X_test)
predictedRNN = sc.inverse_transform(predictedRNN)
predictedLati = predictedRNN[:, 0:1]
predictedLongi = predictedRNN[:, 1:2]
predictedSOG = predictedRNN[:, 2:3]
predictedCOG = predictedRNN[:, 3:4]
#print(predictedLati)

# Evaluating
import math
from sklearn.metrics import mean_squared_error
rmselati = math.sqrt(mean_squared_error(actual_data[:, 0:1],
predictedLati))
rmselongi = math.sqrt(mean_squared_error(actual_data[:, 1:2],
predictedLongi))
rmseSOG = math.sqrt(mean_squared_error(actual_data[:, 2:3],
predictedSOG))
rmseCOG = math.sqrt(mean_squared_error(actual_data[:, 3:4],
predictedCOG))
mape_longlat = np.abs((actual_data - predictedRNN) / actual_data).mean(axis=0) * 100
print(mape_longlat)
print('RMSE Latitude =', rmselati)
print('RMSE Longitude =', rmselongi)
print('RMSE Speed =', rmseSOG)
print('RMSE Heading =', rmseCOG)

```

```

# Create a xlsx
!pip install XlsxWriter
import xlsxwriter
workbook = xlsxwriter.Workbook('HasilPredikvar6_siskall.xlsx')

worksheet = workbook.add_worksheet()

row=0
col=0

for Long, Lat, SOG, COG in (predicted_longlat_trans):
    worksheet.write(row,col, Long)
    worksheet.write(row,col+1, Lat)
    worksheet.write(row,col+2, SOG)
    worksheet.write(row,col+3, COG)
    row += 1

workbook.close()

```

i. *Source code Sub-sistem Identifikasi*

```

!pip install pyit2fls
from pyit2fls import Mamdani, rtri_mf, ltri_mf, IT2FS ,IT2FLS,
trapezoid_mf, tri_mf, IT2FS_plot, min_t_norm, max_s_norm,
TR_plot, crisp
from numpy import linspace, meshgrid, zeros
from mpl_toolkits import mplot3d
import matplotlib.pyplot as plt
from matplotlib import cm
from matplotlib.ticker import LinearLocator,
FormatStrFormatter
import pandas as pd

from google.colab import drive
drive.mount('/content/drive')

# delD Membership function

```

```

domain_delD = linspace(-
1, 100, 5500) # Domain is defined as discrete space in the Int
erval [0, 55] divided to 5500 parts.

Near = IT2FS(domain_delD,
              trapezoid_mf, [-1, 0.5, 13, 15, 1],
              trapezoid_mf, [1, 1.5, 11, 13, 0.8])

Medium = IT2FS(domain_delD,
                 tri_mf, [13, 16, 19, 1],
                 tri_mf, [15, 16, 17, 0.8])

Far = IT2FS(domain_delD,
              trapezoid_mf, [17, 19, 2499, 2500, 1],
              trapezoid_mf, [19, 21, 2100, 2200, 0.8])

IT2FS_plot(Near, Medium, Far, legends=["Near", "Medium", "Far"],
], filename="delD")

# delHead Membership function

domain_delHead = linspace(-6, 191, 19200)

OT = IT2FS(domain_delHead,
            trapezoid_mf, [-6, -5, 5, 6, 1],
            tri_mf, [-3, 0, 3, 1])

C = IT2FS(domain_delHead,
            trapezoid_mf, [6, 7, 173, 174, 1],
            trapezoid_mf, [9, 10, 170, 171, 1])

HO = IT2FS(domain_delHead,
            trapezoid_mf, [174, 175, 185, 191, 1],
            tri_mf, [177, 180, 183, 1])

IT2FS_plot(OT, C, HO, legends=["OT", "C", "HO"], filename="del
Head")

# delV Membership function
domain_delV = linspace(0, 6, 500)

Small = IT2FS(domain_delV,
               trapezoid_mf, [0, 0.1, 0.5, 0.6, 1],
               tri_mf, [0.1, 0.3, 0.5, 1])

```

```

Big = IT2FS(domain_delV,
             trapezoid_mf, [0.5, 4, 5.99, 6, 1],
             tri_mf, [0.55, 5, 5.5, 1])
IT2FS_plot(Small, Big, legends=["Small", "Big"], filename="delV")

# delT Membership function

domain_delt = linspace(0, 120, 30000)

Short = IT2FS(domain_delt,
               trapezoid_mf, [0, 0.1, 59.9, 60, 1],
               tri_mf, [20, 30, 40, 1])
Long = IT2FS(domain_delt,
              trapezoid_mf, [59.5, 90, 119.9, 120, 1],
              tri_mf, [70, 100, 110, 1])
IT2FS_plot(Short, Long, legends=["Short", "Long"], filename="delt")

# IdentificationResult Membership function

domain_IdentificationResult = linspace(0, 100, 10000)

NonTrans = IT2FS(domain_IdentificationResult,
                  tri_mf, [0, 0.01, 50, 1],
                  tri_mf, [0, 0.01, 40, 1])
Trans = IT2FS(domain_IdentificationResult,
               tri_mf, [50, 99.99, 100, 1],
               tri_mf, [60, 99.99, 99, 1])
IT2FS_plot(NonTrans, Trans, legends=["NonTrans", "Trans"], filename="IdentificationResult")

# An Interval Type 2 Fuzzy Logic System is created. The variables and output variables are defined. As it can be seen, the system has 3 input and 1 output
myIT2FLS = IT2FLS()
myIT2FLS.add_input_variable("delD")
myIT2FLS.add_input_variable("delHead")

```

```

myIT2FLS.add_input_variable("delV")
myIT2FLS.add_input_variable("delT")
myIT2FLS.add_output_variable("Result")
# Now we are going to add the fuzzy IF-THEN rules.
# There are some rules to add:
#1
myIT2FLS.add_rule([(("delD", Near), ("delHead", OT), ("delV", Small), ("delT", Short)], [("Result", NonTrans)]))
#2
myIT2FLS.add_rule([(("delD", Near), ("delHead", OT), ("delV", Small), ("delT", Long)], [("Result", Trans)]))
#3
myIT2FLS.add_rule([(("delD", Near), ("delHead", OT), ("delV", Big), ("delT", Short)], [("Result", NonTrans)]))
#4
myIT2FLS.add_rule([(("delD", Near), ("delHead", OT), ("delV", Big), ("delT", Long)], [("Result", NonTrans)]))
#5
myIT2FLS.add_rule([(("delD", Near), ("delHead", C), ("delV", Small), ("delT", Short)], [("Result", NonTrans)]))
#6
myIT2FLS.add_rule([(("delD", Near), ("delHead", C), ("delV", Small), ("delT", Long)], [("Result", Trans)]))
#7
myIT2FLS.add_rule([(("delD", Near), ("delHead", C), ("delV", Big), ("delT", Short)], [("Result", NonTrans)]))
#8
myIT2FLS.add_rule([(("delD", Near), ("delHead", C), ("delV", Big), ("delT", Long)], [("Result", NonTrans)]))
#9
myIT2FLS.add_rule([(("delD", Near), ("delHead", HO), ("delV", Small), ("delT", Short)], [("Result", NonTrans)]))
#10
myIT2FLS.add_rule([(("delD", Near), ("delHead", HO), ("delV", Small), ("delT", Long)], [("Result", Trans)]))
#11
myIT2FLS.add_rule([(("delD", Near), ("delHead", HO), ("delV", Big), ("delT", Short)], [("Result", NonTrans)])]

```

```

#12
myIT2FLS.add_rule([("delD", Near), ("delHead", HO), ("delV", Bi
g), ("delT", Long)], [("Result", NonTrans)])
#13
myIT2FLS.add_rule([("delD", Medium), ("delHead", OT), ("delV", 
Small), ("delT", Short)], [("Result", NonTrans)])
#14
myIT2FLS.add_rule([("delD", Medium), ("delHead", OT), ("delV", 
Small), ("delT", Long)], [("Result", Trans)])
#15
myIT2FLS.add_rule([("delD", Medium), ("delHead", OT), ("delV", 
Big), ("delT", Short)], [("Result", NonTrans)])
#16
myIT2FLS.add_rule([("delD", Medium), ("delHead", OT), ("delV", 
Big), ("delT", Long)], [("Result", NonTrans)])
#17
myIT2FLS.add_rule([("delD", Medium), ("delHead", C), ("delV", S
mall), ("delT", Short)], [("Result", NonTrans)])
#18
myIT2FLS.add_rule([("delD", Medium), ("delHead", C), ("delV", S
mall), ("delT", Long)], [("Result", Trans)])
#19
myIT2FLS.add_rule([("delD", Medium), ("delHead", C), ("delV", B
ig), ("delT", Short)], [("Result", NonTrans)])
#20
myIT2FLS.add_rule([("delD", Medium), ("delHead", C), ("delV", B
ig), ("delT", Long)], [("Result", NonTrans)])
#21
myIT2FLS.add_rule([("delD", Medium), ("delHead", HO), ("delV", 
Small), ("delT", Short)], [("Result", NonTrans)])
#22
myIT2FLS.add_rule([("delD", Medium), ("delHead", HO), ("delV", 
Small), ("delT", Long)], [("Result", Trans)])
#23
myIT2FLS.add_rule([("delD", Medium), ("delHead", HO), ("delV", 
Big), ("delT", Short)], [("Result", NonTrans)])
#24

```

```

myIT2FLS.add_rule([("delD", Medium), ("delHead", HO), ("delV",
Big), ("delT", Long)], [("Result", NonTrans)])
#25

myIT2FLS.add_rule([("delD", Far), ("delHead", OT), ("delV", Sma
ll), ("delT", Short)], [("Result", NonTrans)])
#26

myIT2FLS.add_rule([("delD", Far), ("delHead", OT), ("delV", Sma
ll), ("delT", Long)], [("Result", NonTrans)])
#27

myIT2FLS.add_rule([("delD", Far), ("delHead", OT), ("delV", Big
), ("delT", Short)], [("Result", NonTrans)])
#28

myIT2FLS.add_rule([("delD", Far), ("delHead", OT), ("delV", Big
), ("delT", Long)], [("Result", NonTrans)])
#29

myIT2FLS.add_rule([("delD", Far), ("delHead", C), ("delV", Smal
l), ("delT", Short)], [("Result", NonTrans)])
#30

myIT2FLS.add_rule([("delD", Far), ("delHead", C), ("delV", Smal
l), ("delT", Long)], [("Result", NonTrans)])
#31

myIT2FLS.add_rule([("delD", Far), ("delHead", C), ("delV", Big)
, ("delT", Short)], [("Result", NonTrans)])
#32

myIT2FLS.add_rule([("delD", Far), ("delHead", C), ("delV", Big)
, ("delT", Long)], [("Result", NonTrans)])
#33

myIT2FLS.add_rule([("delD", Far), ("delHead", HO), ("delV", Sma
ll), ("delT", Short)], [("Result", NonTrans)])
#34

myIT2FLS.add_rule([("delD", Far), ("delHead", HO), ("delV", Sma
ll), ("delT", Long)], [("Result", NonTrans)])
#35

myIT2FLS.add_rule([("delD", Far), ("delHead", HO), ("delV", Big
), ("delT", Short)], [("Result", NonTrans)])
#36

myIT2FLS.add_rule([("delD", Far), ("delHead", HO), ("delV", Big
), ("delT", Long)], [("Result", NonTrans)])

```

```
it2out, tr = myIT2FLS.evaluate({"delD":13.51661, "delHead": 1,
    "delV": 0.413779, "delT": 65}, min_t_norm, max_s_norm, domain
_IdentificationResult, method= "Centroid", algorithm= "EKM")

# Here the output IT2FS and their type reduced versions are pl
otted.

# The crisp output is also calculated and printed.
it2out["Result"].plot(filename="Data 1")
TR_plot(domain_IdentificationResult, tr["Result"], filename="D
ata 1")
print((crisp(tr["Result"])))
```

*Halaman ini sengaja dikosongkan*

## BIODATA PENULIS



Nama penulis Norisa Nurfadila, dilahirkan di Tangerang, 15 November 1999. Penulis adalah anak ketiga dari Bambang S dan Wahyuningsih. Penulis telah menyelesaikan pendidikan SD di SDN Sukadamai 3 Kota Bogor pada tahun 2012, pendidikan SMP di SMPN 5 Kota Bogor pada tahun 2005, pendidikan SMA di SMAN 2 Kota Bogor pada tahun 2018, dan telah menyelesaikan pendidikan S1 di Departemen Teknik Fisika Institut Teknologi Sepuluh November Surabaya pada tahun 2022. Penulis menjadi mahasiswa ITS melalui jalur SNMPTN yang disertai dengan beberapa sertifikat kejuaraan yaitu Juara 1, Best Poster, dan Best Maket di lomba *Smart Innovation of Writing, Engineering Physics Week* 2017 yang penulis raih saat masih kelas 2 SMA. Selama masa perkuliahan, penulis aktif dalam berbagai kegiatan kemahasiswaan termasuk diantaranya organisasi-organisasi mahasiswa seperti asisten di Laboratorium Instrumentasi, Kontrol, dan Optimisasi, anggota Dewan Perwakilan Angkatan, serta ITS *Digital Marketing Camp* II. Penulis juga aktif dalam kegiatan pengembangan bakat mahasiswa seperti menuntaskan seluruh kagiatan latihan keterampilan dasar yang wajib dari ITS, Sekolah Kepemimpinan HMTF, LKMM-TD, dan menjadi pembicara pada LKMW-TD 2020. Selain aktif dalam kegiatan di dalam kampus, penulis juga merupakan seorang santri di Pondok Pesantren Pelajar dan Mahasiswa Subulussalam selama masa perkuliahan. Bidang minat yang diambil oleh penulis untuk menyelesaikan penelitian Tugas Akhir yaitu bidang minat Sistem Tertanam dan Siber-Fisik. Pada Juli 2022, penulis telah menyelesaikan tugas akhir dengan judul "**Pengembangan Integrasi Sistem Pengambilan Keputusan Berbasis Data AIS untuk Pemodelan Pelanggaran Transshipment pada Kapal Menggunakan Fuzzy Tipe 2**". Penulis sangat terbuka pada kritik dan saran dari pembaca. Pembaca dapat menghubungi penulis melalui email: norisadifasa@gmail.com.